

158 | Juli 1965

SCHRIFTENREIHE SCHIFFBAU

Cheung Hun Kim

**Über den Einfluß nichtlinearer Effekte
auf hydrodynamische Kräfte bei
erzwungenen Tauchbewegungen
prismatischer Körper**

INSTITUT FÜR SCHIFFBAU DER UNIVERSITÄT HAMBURG

Über den Einfluß nichtlinearer Effekte auf hydro-
dynamische Kräfte bei erzwungenen Tauchbewegungen
prismatischer Körper.

Der Fakultät für Maschinenwesen
der Technischen Hochschule Hannover
vorgelegte und genehmigte Dissertation des
Cheung Hun K I M

Hauptreferent Prof. Dr.-Ing. Otto G r i m
Korreferent Prof. Dr.-Ing. Kurt W e n d e l

Juli 1965

INHALTSVERZEICHNIS

	Seite
Allgemeine Einleitung	1
1. Grimsches komplexes Potential für die Tauchbewegung	4
1.1. Beschreibung	4
1.2. Komplexes Potential für die lineare Tauchbewegung	4
1.3. Teilkomponenten des Geschwindigkeitspotentials und der Stromfunktion	6
2. Eine genauere Lösung für Keilformen in Tauchbewegung mit endlicher Amplitude wenn $v \rightarrow 0$	10
2.1. Einleitung	10
2.2. Komplexes Potential	10
2.3. Darstellung der Keilform in Tauchbewegung	12
2.4. Bestimmung der Koeffizienten	12
2.5. Hydrodynamische Kräfte	15
2.5.1. Geschwindigkeitspotential	15
2.5.2. Hydrodynamischer Druck	16
2.5.3. Hydrodynamische Kräfte	17
2.6. Numerische Beispiele	21
2.6.1. Beschreibung der Modelle	21
2.6.2. Hydrodynamische Kräfte im linearen Fall	23
2.6.3. Hydrodynamische Kräfte im nicht linearen Fall	24

Seite

2.6.4.	Hydrodynamische Druckverteilung	27
2.6.5.	Diskussion	27

Bilder 2.3 - 2.11

3.	Annähernde numerische Lösung für die nicht lineare Tauchbewegung für kleine v	28
3.1.	Einleitung	28
3.2.	Komplexes Potential	28
3.3.	Hydrodynamische Kräfte	31
3.4.	Numerische Lösung	33
3.4.1.	Darstellung des Profils	33
3.4.2.	Bestimmung der unbekannten Koeffizien- ten	33
3.4.3.	Hydrodynamische Kräfte	35
3.4.4.	Fehlerkontrolle	36
3.5.	Darstellung der Ergebnisse	37
3.5.1.	$(A_{os}) \frac{\pi}{B}$	37
3.5.2.	C und A	37
3.5.3.	$\frac{K_{inst}}{\rho \cdot g \cdot c \cdot B}$	38

Bilder 3.3 - 3.10

4.	Berücksichtigung der nicht linearen Glieder in der Bedingung an der frei- en Oberfläche	39
4.1.	Einleitung	39
4.2.	Korrekturpotential $\phi^{(2)}$	39
4.3.	Annäherung der Iterationsformel (4)	40
4.4.	Lösung für $\phi^{(2)}$	45

	Seite
4.5 Asymptotische Werte der Integrale	50
4.6. Hydrodynamische Kräfte	53
4.7. Diskussion	54
Bilder 4.2. - 4.14	
5. Zusammenfassung und Ausblick	57
SCHRIFTTUM	58
VERZEICHNIS DER VERWENDETEN SYMBOLE	59
ANHANG A (zu Kapitel 3 und 4)	
ANHANG B (zu Kapitel 4)	

Allgemeine Einleitung.

Untersucht wird das Problem eines teilweise eingetauchten horizontalen Zylinders, welcher erzwungene harmonische Tauchbewegungen ausführt.

Diese Bewegung erzeugt eine Störung der freien Wasseroberfläche, welche in großer Entfernung vom Körper als ablaufende Welle erscheint.

Wir fragen nach den hydrodynamischen Drücken an der Körperoberfläche und damit nach den Kräften, welche zur Erhaltung der Schwingung erforderlich sind.

Wenn die Amplitude der Schwingung im Vergleich zur Breite des Körpers infinitesimal ist, wird das Problem in üblicher Weise unter den linearisierten Voraussetzungen gelöst.

Im Folgenden wird diese Lösung durch Erfassung nicht linearer Einflüsse auf den Fall endlicher Amplituden ausgedehnt.

Für die Lösung des linearen Problems waren die folgenden drei Linearisierungen erforderlich:

- 1) Linearisierung der Randbedingung an der freien Wasseroberfläche,
- 2) Erfüllung der Randbedingung an der Körperoberfläche in Ruhelage, d.h. lineare Randbedingung an der Körperoberfläche,
- 3) Näherungsverfahren für den hydrodynamischen Druck durch die Vernachlässigung des quadratischen Gliedes der Druckgleichung.

Entsprechend den obigen Linearisierungen sollen im Problem der nicht linearen Tauchbewegung folgende Nichtlinearitäten berücksichtigt werden:

- 1) Erfüllung der Randbedingung an der freien Oberfläche und Berücksichtigung des Gliedes zweiter Ordnung,
- 2) die Randbedingung an der Körperoberfläche ist nicht in Ruhelage, sondern in einigen davon abweichenden tatsächlichen Positionen der Körperoberfläche zu erfüllen,
- 3) für die Kraftberechnung ist nicht nur das lineare Glied, sondern auch das quadratische Glied des Druckes zu berücksichtigen.

Da die vorhandene Arbeit hauptsächlich von dem Beitrag von Grim über lineare Tauchbewegung abhängig ist, wurde das Grimsche komplexe Potential für die lineare Tauchbewegung im ersten Kapitel eingesetzt.

In Kapitel 2 wird eine genauere Lösung für Keilformen in Tauchbewegung endlicher Amplituden für den Grenzfall verschwindender Frequenz der Schwingung behandelt. Diese asymptotische Lösung soll als Kontrolle für unsere Rechnungen im Fall endlicher Frequenz dienen. Für diesen Fall spielen die nicht linearen Glieder in der Randbedingung an der freien Wasseroberfläche keine Rolle; diese Randbedingung bleibt einfach zu erfüllen. An der Körperoberfläche muß jedoch die exakte Randbedingung erfüllt werden. Die hydrodynamischen Drücke und die Kräfte für verschiedene Keilformen, Frequenzen und Amplituden wurden berechnet und aufgetragen.

In Kapitel 3 haben wir eine angenäherte Lösung numerisch ausgeführt. Ebenso wie in Kapitel 2 wurde die Randbe-

dingung an der freien Wasseroberfläche nur in linearisierter Form erfüllt. Die Randbedingung an der Körperoberfläche wurde an einigen vorgegebenen Punkten der Körperoberfläche zu verschiedenen vorgegebenen Zeitpunkten während einer Periode erfüllt. Für die Quellstärken wurden neben der Grundschwingung noch zwei Komponenten hoher Frequenz berechnet. Für den Grenzfall verschwindender Frequenz ergab sich eine gute Übereinstimmung mit den in Kapitel 2 erhaltenen Ergebnissen.

In Kapitel 4 wurde die Erfüllung der nicht linearen Randbedingung an der freien Wasseroberfläche durch eine Iteration verbessert. Das Geschwindigkeitspotential zweiter Ordnung erfüllt eine inhomogene Randbedingung, deren rechte Seite durch das Potential erster Ordnung bestimmt wird. Die Beiträge des Potentials zweiter Ordnung zu den hydrodynamischen Kräften waren sehr gering.

1. Grimsches komplexes Potential für die Tauchbewegung.

1.1. Beschreibung

Grim hat die auf die zweidimensionalen tauchbewegenden Körper wirkenden hydrodynamischen Kräfte in glattem Wasser berechnet. [1], [2], [3], [4]

Das Ziel des Problems ist es, die erzeugenden Kräfte, welche für die Tauchbewegung gebraucht werden, zu berechnen.

Das in [4] entwickelte Potential konvergiert sehr gut im Gebiet der niedrigen Frequenzen, welche in der Praxis besonders wichtig sind.

Eine für hohe Frequenzen eingeführte Entwicklung des komplexen Potentials konvergiert sehr gut auch im ganzen Bereich der Frequenz.

Wir verwenden das Potential für das nicht lineare Problem der Tauchbewegung.

1.2. Komplexes Potential für die lineare Tauchbewegung.

Der Ursprung des Koordinatensystems liegt in Bezug auf die Mittel- bzw. Ruhelage in der Wasserlinie und in der Profilmitte. Die x-Achse liegt horizontal, die y-Achse vertikal nach unten.

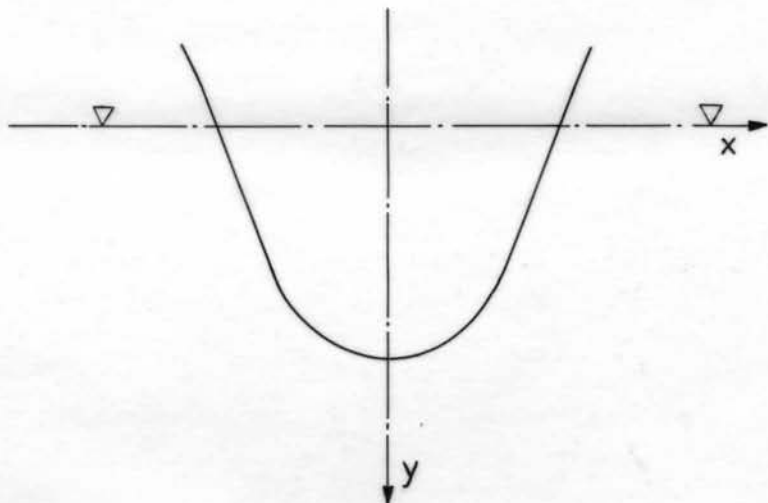


Bild 1.1

Dieses Koordinatensystem wird den ganzen Bericht hindurch benutzt.

Das Potential lautet:

$$\Phi + i\Psi = U e^{i\omega t} \left[A_0 \lim_{\mu \rightarrow 0} \int_0^\infty \frac{e^{ik(x+iy)}}{k-\nu+i\mu} dk + \sum_{n=1}^{\infty} A_n \int_0^\infty k^{z(n-1)} (k+\nu) e^{ik(x+iy)} dk \right]$$

wobei U die Amplitude der Schwingungsgeschwindigkeit, ω die Kreisfrequenz der Schwingung, $\nu = \frac{\omega^2}{g}$ die Wellenzahl der erzeugten Oberflächenwellen und A_0 und A_n die Unbekannte bezeichnet.
Geschwindigkeitspotential und Stromfunktion sind

$$\phi = \operatorname{Re} [\Phi], \quad \psi = \operatorname{Re} [\Psi]$$

ϕ und ψ erfüllen je die Kontinuitätsbedingung und die linearisierte Bedingung an der freien Wasseroberfläche. Die Bedingung am Profilrand lautet:

$$\psi_{\text{ist}} = U x \cdot \cos \omega t$$

Die Koeffizienten A werden durch die Erfüllung der Bedingung am Profilrand, d. h.

$$\psi = \psi_{\text{ist}}$$

bestimmt werden. Diese Koeffizienten sind komplexe Zahlen.

1.3. Teilkomponenten des Geschwindigkeitspotentials
und der Stromfunktion.

Geschwindigkeitspotential ϕ und Stromfunktion ψ
können in der Form der unendlichen Reihe der Teil-
potentiale und Teilstromfunktionen wie folgt entwickelt
werden:

$$\phi = U \sum_{n=0}^{\infty} \left\{ \left[(A_n)_r (\phi_n)_r - (A_n)_i (\phi_n)_i \right] \cos \omega t - \left[(A_n)_i (\phi_n)_r + (A_n)_r (\phi_n)_i \right] \sin \omega t \right\},$$

$$\psi = U \sum_{n=0}^{\infty} \left\{ \left[(A_n)_r (\psi_n)_r - (A_n)_i (\psi_n)_i \right] \cos \omega t - \left[(A_n)_i (\psi_n)_r + (A_n)_r (\psi_n)_i \right] \sin \omega t \right\},$$

wobei r den realen und i den imaginären Teil be-
zeichnet.

Die Teilkomponenten $(\phi_n)_r$ und $(\phi_n)_i$ bzw. $(\psi_n)_r$ und $(\psi_n)_i$ werden in folgenden Formen dargestellt:

$$\phi_o = (\phi_o)_r + i(\phi_o)_i = \lim_{\mu \rightarrow 0} \int_0^\infty \frac{e^{-ky} \cos(kx)}{k-\nu+i\mu} dk$$

$$\psi_o = (\psi_o)_r + i(\psi_o)_i = \lim_{\mu \rightarrow 0} \int_0^\infty \frac{e^{-ky} \sin(kx)}{k-\nu+i\mu} dk ,$$

$$\begin{aligned} \phi_n &= (\phi_n)_r + i \cdot 0 = \operatorname{Re} \left[\int_0^\infty k^{2(n-1)} (k+\nu) e^{ik(x+iy)} dk \right] \\ &= \operatorname{Re} \left[\frac{1}{(x+iy)^{2n}} - \frac{i\nu}{(x+iy)^{2n-1}(2n-1)} \right] \end{aligned}$$

$$\begin{aligned} \psi_n &= (\psi_n)_r + i \cdot 0 = \operatorname{Im} \left[\int_0^\infty k^{2(n-1)} (k+\nu) e^{ik(x+iy)} dk \right] \\ &= \operatorname{Im} \left[\frac{1}{(x+iy)^{2n}} - \frac{i\nu}{(x+iy)^{2n-1}(2n-1)} \right] \end{aligned}$$

wobei $n = 1, 2, 3, \dots$

Das sogenannte Wellenquellpotential

$$\phi_o + i\psi_o = \lim_{\mu \rightarrow 0} \int_0^\infty \frac{e^{-ky} e^{ikx}}{k-\nu+i\mu} dk$$

kann durch folgende Formeln explizite dargestellt werden:

Wenn $\nu \sqrt{x^2 + y^2}$ klein ist,

$$\begin{aligned} (\phi_o)_r &= e^{-\nu y} \cdot \cos(\nu x) \cdot \left\{ -\ln(1.781 \cdot \nu \sqrt{x^2 + y^2}) \right. \\ &\quad \left. - \sum_{n=1}^{\infty} \frac{(\nu \sqrt{x^2 + y^2})^n \cdot \cos(n\theta)}{n \cdot n!} \right\} \\ &+ e^{-\nu y} \cdot \sin(\nu x) \cdot \left\{ - \sum_{n=1}^{\infty} \frac{(\nu \sqrt{x^2 + y^2})^n \sin(n\theta)}{n \cdot n!} - \operatorname{arctg} \frac{x}{y} \right\}, \end{aligned}$$

$$(\phi_o)_i = -\pi e^{-\nu y} \cdot \cos(\nu x),$$

$$\begin{aligned} (\psi_o)_r &= e^{-\nu y} \cdot \cos(\nu x) \cdot \left\{ \sum_{n=1}^{\infty} \frac{(\nu \sqrt{x^2 + y^2})^n \sin(n\theta)}{n \cdot n!} + \operatorname{arctg} \frac{x}{y} \right\} \\ &+ e^{-\nu y} \cdot \sin \nu x \left\{ -\ln(1.781 \nu \sqrt{x^2 + y^2}) - \right. \\ &\quad \left. \sum_{n=1}^{\infty} \frac{(\nu \sqrt{x^2 + y^2})^n \cdot \cos(n\theta)}{n \cdot n!} \right\}, \end{aligned}$$

$$(\psi_o)_i = -\pi e^{-\nu y} \cdot \sin(\nu x),$$

wobei $\theta = \operatorname{arctg} \frac{x}{y}$.

Wenn $\nu \sqrt{x^2 + y^2}$ groß ist,

$$(\phi_o)_r = -\frac{i}{2} \sum_{n=1}^{\infty} \frac{(n-1)!}{\nu^n} \left\{ \frac{(y+ix)^n + (y-ix)^n}{(y^2 + x^2)^n} \right\} - \pi e^{-\nu y} \cdot \text{sign}(x) \cdot \sin(\nu |x|),$$

$$(\phi_o)_i = -\pi e^{-\nu y} \cdot \cos(\nu x),$$

$$(\psi_o)_r = \frac{i}{2} \sum_{n=1}^{\infty} \frac{(n-1)!}{\nu^n} \left\{ \frac{(y+ix)^n - (y-ix)^n}{(y^2 + x^2)^n} \right\} + \pi e^{-\nu y} \cdot \text{sign}(x) \cdot \cos(\nu x),$$

$$(\psi_o)_i = -\pi e^{-\nu y} \cdot \sin(\nu x).$$

Das als Quellpotential höherer Ordnung bekannte Potential $(\phi_n + i\psi_n)$ für $n = 1, 2, 3, \dots$, wird in Polarkoordinaten wie folgt angegeben:

$$\phi_n + i\psi_n = \frac{e^{-i2n\varphi}}{r^{2n}} - \frac{i\nu e^{-i(2n-1)\varphi}}{(2n-1)r^{2n-1}}$$

wobei $\varphi = \arctg \frac{y}{x}$, $r = \sqrt{x^2 + y^2}$

2. Eine genauere Lösung für Keilformen in Tauchbewegung mit endlicher Amplitude wenn $v \rightarrow 0$.

2.1. Einleitung.

Um das Problem mathematisch zu vereinfachen, wählt man die keilförmigen Profile. Man erwartet, daß die asymptotische Lösung ($v \rightarrow 0$), als eine gewisse helfende Kontrolle, für die annähernde Lösung ($v \neq 0$) gebraucht werden kann.

2.2. Komplexes Potential.

Wenn v gegen Null geht, wird das Grimsche komplexe Potential für die lineare Tauchbewegung in folgender Form dargestellt:

$$\Phi + i\Psi = Ue^{i\omega t} \left\{ A_0 \left[-\ln(\gamma v \sqrt{x+iy}) - i\pi \right] + \sum_{n=1}^{\infty} A_n \frac{1}{(x+iy)^{2n}} \right\}$$

wobei γ die Eulersche Konstante bzw. 1,781 ist.

Um die nicht lineare Randbedingung an der Körperoberfläche zu erfüllen, nimmt man die folgende Form als das komplexe Potential an:

$$\begin{aligned} \Phi + i\Psi = U & \left\{ e^{i\omega t} A_{o1} \left[-\ln(\gamma v \sqrt{x+iy}) - i\pi \right] + e^{i2\omega t} A_{o2} \left[-\ln(4\gamma v \sqrt{x+iy}) - i\pi \right] \right. \\ & \left. + \sum_{n=1}^{\infty} F_n(t) \cdot A_n \frac{1}{(x+iy)^{2n}} \right\} \end{aligned}$$

worin A_{o1} , A_{o2} , $F_n(t)$ und A_n die Unbekannten bedeuten.

Das obige Potential erfüllt die Bedingung der Kontinuität und die linearisierte Randbedingung an der freien Oberfläche. In diesem Fall werden Geschwindigkeitspotential und Stromfunktion in die folgenden Formen gebracht:

$$\phi = U \operatorname{Re} \left\{ e^{i\omega t} A_{o1} \left[(\phi_{o1})_r + i (\phi_{o1})_i \right] + e^{i2\omega t} A_{o2} \left[(\phi_{o2})_r + i (\phi_{o2})_i \right] \right.$$

$$\left. + \sum_{n=1}^{\infty} F_n(t) \cdot A_n \cdot \left(\frac{1}{(x+iy)^{2n}} \right)_r \right\}, \quad (1)$$

$$\psi = U \operatorname{Re} \left\{ e^{i\omega t} A_{o1} \left[(\psi_{o1})_r + i (\psi_{o1})_i \right] + e^{i2\omega t} A_{o2} \left[(\psi_{o2})_r + i (\psi_{o2})_i \right] \right.$$

$$\left. + \sum_{n=1}^{\infty} F_n(t) \cdot A_n \cdot \left(\frac{1}{(x+iy)^{2n}} \right)_i \right\}, \quad (2)$$

wobei die Teilkomponenten der Funktionen im Polarkoordinatensystem wie folgt geschrieben werden:

$$(\phi_{o1})_r = -\ln(\gamma v r)$$

$$(\phi_{o1})_i = -\pi$$

$$(\phi_{o2})_r = -\ln(4\gamma vr)$$

$$(\phi_{o2})_i = -\pi$$

$$(\psi_{o1})_r = -\theta$$

$$(\psi_{o1})_i = 0$$

$$(\psi_{o2})_r = -\theta$$

$$(\psi_{o2})_i = 0$$

$$\left(\frac{1}{(x+iy)^{2n}} \right)_r = \frac{\cos(2n\theta)}{r^{2n}}$$

$$\left(\frac{1}{(x+iy)^{2n}} \right)_i = -\frac{\sin(2n\theta)}{r^{2n}}$$

$$r = \sqrt{x^2 + y^2}$$

$$\theta = \arctg \frac{y}{x}$$

2.3. Darstellung der Keilform in Tauchbewegung.

Unser Problem ist symmetrisch um die Achse y vorausgesetzt, d.h., man nimmt die Darstellung des Profils in der folgenden Form an:

$$y = -ax + b + c \cdot \cos(\omega t), \quad (3)$$

wobei

a Verhältnis von Tiefgang in der Mittellage und Halbbreite

b Tiefgang in der Mittellage

c Amplitude der Tauchbewegung bezeichnet.

Somit schreibt man die Randbedingung an dem Profil wie folgt:

$$\psi_{\text{ist}} = -U \cdot x \cdot \sin(\omega t) \quad (4)$$

Für unseren Zweck stellt man die Gleichungen (3) und (4) im Polarkoordinatensystem dar:

$$r_p = \frac{b + c \cdot \cos(\omega t)}{\sin \theta + a \cos \theta} \quad (3)'$$

$$\psi_{\text{ist}} = -U r_p \cdot \cos(\theta) \cdot \sin(\omega t) \quad (4)'$$

2.4. Bestimmung der Koeffizienten.

Durch die Gegenüberstellung von ψ und ψ_{ist} bestimmt man die unbekannten Koeffizienten A_n , d.h.

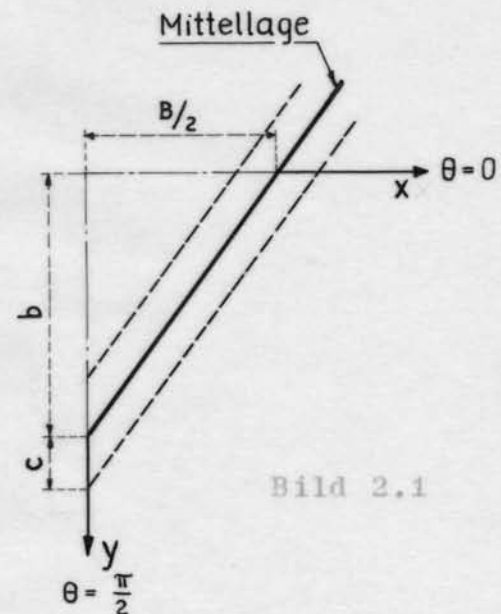


Bild 2.1

$$\psi = \psi_{\text{ist}} \quad (5)$$

1). Am Punkt $\theta = \frac{\pi}{2}$ des Profilrandes muß (auch aus Gründen der Symmetrie) die Stromfunktion gleich Null sein. Die Beziehung (5) wird erfüllt werden, wenn man zu $(\psi_{o1})_r$ und $(\psi_{o2})_r$ die Konstante $\frac{\pi}{2}$ addiert. Die neuen Stromfunktionen sollen jetzt wie folgt festgestellt werden:

$$(\psi_{o1})_r = \frac{\pi}{2} - \theta, \quad (\psi_{o2})_r = \frac{\pi}{2} - \theta$$

2). Am Punkt $\theta = 0$ des Profilrandes.

Durch die Erfüllung von Gleichung (5) errechnet man die Unbekannten A_{o1} und A_{o2} wie folgt:

$$A_{o1} = \frac{2b}{\pi a} i, \quad A_{o2} = \frac{c}{\pi a} i,$$

3). Am beliebigen Punkt θ lautet die Gleichung (5):

$$\begin{aligned} & \sum_{n=1}^{\infty} A_n \cdot (\sin \theta + a \cdot \cos \theta)^{2n} \cdot \sin(2n\theta) \frac{F_n(t)}{(b + c \cdot \cos(\omega t))^{2n}} \\ &= \left\{ \frac{\cos \theta}{\sin \theta + a \cos \theta} - \frac{1}{a} \left(1 - \frac{2}{\pi} \theta \right) \right\} \cdot \left\{ (b + c \cdot \cos \omega t) \cdot \sin(\omega t) \right\} \end{aligned}$$

Daraus erhält man die zwei Beziehungen:

$$F_n(t) = (b + c \cdot \cos(\omega t))^{2n+1} \cdot \sin(\omega t)$$

und

$$\sum_{n=1}^{\infty} A_n (\sin \theta + a \cdot \cos \theta)^{2n+1} \cdot \sin(2n\theta) = \cos \theta - \frac{1}{a} \left(1 - \frac{2}{\pi} \theta \right) (\sin \theta + a \cos \theta)$$

Da auch die rechte Seite dieser Gleichung für $\theta = 0$ und $\theta = \frac{\pi}{2}$ verschwindet, wird auch sie in eine Reihe gerader Sinus-Funktionen verwandelt. Die Entwicklung wird nach N Gliedern abgebrochen.

Nun braucht man nur die Koeffizienten A_n zu bestimmen. Von der Reihenentwicklung der beiden Seiten in der Form der geraden Sinus-Funktionen $\sin(2m\theta)$ erhält man A_n in folgender Weise:

$$(\sin \theta + a \cdot \cos \theta)^{2n+1} \sin(2n\theta) = \sum_{m=1}^N B_{mn} \cdot \sin(2m\theta)$$

und

$$\cos \theta - \frac{1}{a} \left(1 - \frac{2}{\pi} \theta \right) (\sin \theta + a \cdot \cos \theta) = \sum_{m=1}^N C_m \sin(2m\theta)$$

wobei

$$B_{mn} = \frac{4}{\pi} \int_0^{\frac{\pi}{2}} (\sin \theta + a \cdot \cos \theta)^{2n+1} \sin(2n\theta) \cdot \sin(2m\theta) \cdot d\theta$$

$$C_m = \frac{4}{\pi} \int_0^{\frac{\pi}{2}} \left\{ \cos \theta - \frac{1}{a} \left(1 - \frac{2}{\pi} \theta \right) (\sin \theta + a \cdot \cos \theta) \right\} \sin(2m\theta) d\theta$$

Damit erhält man das lineare Gleichungssystem

$$\sum_{m=1}^N \sum_{n=1}^N A_n B_{mn} = \sum_{m=1}^N C_m$$

durch welches man A_n bestimmen kann.

Die oberen Integrationen ergeben sich in den folgenden Formen:

$$B_{mn} = - \left(\frac{1}{\pi} \cdot \frac{1}{2^{2n-5}} \cdot m \cdot n \cdot (a^2 + 1)^{\frac{2n+1}{2}} \right) \cdot \sum_{k=0}^n \left\{ \binom{2n+1}{k} \cdot \right. \\ \left. \cdot \left[(-1)^{m-k} \cdot \cos[(2n+1-2k)\arctg \frac{1}{a}] + \sin[(2n+1-2k)\arctg \frac{1}{a}] \right] \cdot \right. \\ \left. \cdot \left[\frac{(2n+1-2k)}{((4n-2k+1)^2 - 4m^2)((2k-1)^2 - 4m^2)} \right] \right\}$$

und

$$C_m = \frac{8}{\pi^2} \left[\left((-1)^{m+1} - \frac{1}{a} \right) \frac{4m}{(4m^2 - 1)^2} \right]$$

2.5. Hydrodynamische Kräfte.

2.5.1. Geschwindigkeitspotential.

Durch Einsatz der bisher errechneten Koeffizienten in die Beziehung (1) erhält man das Geschwindigkeitspotential, das die Randbedingung an der Körperoberfläche erfüllt.

$$\begin{aligned}\phi = U & \left\{ \frac{2b}{\pi a} \ln(\gamma v r) \cdot \sin(\omega t) + \frac{c}{\pi a} \ln(4 \gamma v r) \cdot \sin 2(\omega t) + 2 \left(\frac{b}{a} \right) \cdot \cos(\omega t) + \frac{c}{a} \cdot \cos(2\omega t) \right. \\ & + A_1 \cdot (b + c \cdot \cos(\omega t))^3 \cdot \sin(\omega t) \cdot \frac{\cos(2\theta)}{r^2} \\ & + A_2 \cdot (b + c \cdot \cos(\omega t))^5 \cdot \sin(\omega t) \cdot \frac{\cos(4\theta)}{r^4} \\ & + A_3 \cdot (b + c \cdot \cos(\omega t))^7 \cdot \sin(\omega t) \cdot \frac{\cos(6\theta)}{r^6} \\ & + A_4 \cdot (b + c \cdot \cos(\omega t))^9 \cdot \sin(\omega t) \cdot \frac{\cos(8\theta)}{r^8} \\ & \left. + \dots \dots \right\}\end{aligned}$$

oder

$$\begin{aligned}\phi = U & \left\{ \frac{B}{\pi} \ln(\gamma v r) \cdot \sin(\omega t) + \frac{1}{2} \frac{B}{\pi} \left(\frac{c}{b} \right) \cdot \ln(4 \gamma v r) \cdot \sin(2\omega t) \right. \\ & + B \cos(\omega t) + \frac{B}{2} \left(\frac{c}{b} \right) \cdot \cos(2\omega t) \\ & + A_1 \cdot (b + c \cdot \cos(\omega t))^3 \cdot \sin(\omega t) \cdot \frac{\cos(2\theta)}{r^2} \\ & + A_2 \cdot (b + c \cdot \cos(\omega t))^5 \cdot \sin(\omega t) \cdot \frac{\cos(4\theta)}{r^4} \\ & + A_3 \cdot (b + c \cdot \cos(\omega t))^7 \cdot \sin(\omega t) \cdot \frac{\cos(6\theta)}{r^6} \\ & + A_4 \cdot (b + c \cdot \cos(\omega t))^9 \cdot \sin(\omega t) \cdot \frac{\cos(8\theta)}{r^8} \\ & \left. + \dots \dots \right\}\end{aligned}$$

2.5.2. Hydrodynamischer Druck.

Die beiden Glieder des hydrodynamischen Druckes in der Druckgleichung bzw.

$$p = \rho \frac{\partial \phi}{\partial t} - \frac{1}{2} \rho (\nabla \phi)^2 = \rho \frac{\partial \phi}{\partial t} - \frac{1}{2} \rho \left\{ \left(\frac{\partial \phi}{\partial r} \right)^2 + \left(\frac{1}{r} \frac{\partial \phi}{\partial \theta} \right)^2 \right\}$$

werden berücksichtigt.

$$\begin{aligned} 1) \quad \rho \frac{\partial \phi}{\partial t}_{\text{Rand}} &= \rho U \omega \left\{ \frac{B}{\pi} \ln(\gamma v r_p) \cdot \cos(\omega t) + \frac{B}{\pi} \left(\frac{c}{b} \right) \ln(4 \gamma v r_p) \cdot \cos(2\omega t) \right. \\ &\quad - B \sin(\omega t) - B \left(\frac{c}{b} \right) \cdot \sin(2\omega t) \\ &\quad + A_1 \cos(2\theta) (\sin \theta + a \cdot \cos \theta)^2 \left[-3c \cdot \sin^2(\omega t) + (b+c \cdot \cos \omega t) \cdot \cos(\omega t) \right] \\ &\quad + A_2 \cos(4\theta) (\sin \theta + a \cdot \cos \theta)^4 \left[-5c \cdot \sin^2(\omega t) + (b+c \cdot \cos \omega t) \cdot \cos(\omega t) \right] \\ &\quad + A_3 \cos(6\theta) (\sin \theta + a \cdot \cos \theta)^6 \left[-7c \cdot \sin^2(\omega t) + (b+c \cdot \cos \omega t) \cdot \cos(\omega t) \right] \\ &\quad + A_4 \cos(8\theta) (\sin \theta + a \cdot \cos \theta)^8 \left[-9c \cdot \sin^2(\omega t) + (b+c \cdot \cos \omega t) \cdot \cos(\omega t) \right] \\ &\quad \left. + \dots \dots \right\} \end{aligned}$$

$$\begin{aligned} 2) \quad - \frac{1}{2} \rho \left\{ \left(\frac{\partial \phi}{\partial r} \right)^2 + \left(\frac{1}{r} \frac{\partial \phi}{\partial \theta} \right)^2 \right\}_{\text{Rand}} &= \\ = - \frac{1}{2} \rho U^2 \left\{ \left[\frac{B^2}{\pi^2} \frac{\sin^2(\omega t)}{(b+c \cdot \cos \omega t)^2} + \frac{B^2}{\pi^2} \left(\frac{c}{b} \right) \frac{\sin(\omega t) \cdot \sin(2\omega t)}{(b+c \cdot \cos \omega t)^2} + \frac{1}{4} \frac{B^2}{\pi^2} \left(\frac{c}{b} \right)^2 \frac{\sin^2(\omega t)}{(b+c \cdot \cos \omega t)^2} \right] \cdot \right. \\ &\quad \left. \cdot (\sin \theta + a \cdot \cos \theta)^2 \right. \\ &\quad - 4 A_1 \left[\frac{B}{\pi} \frac{\sin^2(\omega t)}{(b+c \cdot \cos \omega t)} + \frac{1}{2} \frac{B}{\pi} \left(\frac{c}{b} \right) \frac{\sin(\omega t) \cdot \sin(2\omega t)}{(b+c \cdot \cos \omega t)} \right] \cdot \cos(2\theta) \cdot (\sin \theta + a \cdot \cos \theta)^4 \\ &\quad - 8 A_2 \left[\right. \left. \frac{B}{\pi} \frac{\sin^2(\omega t)}{(b+c \cdot \cos \omega t)} + \frac{1}{2} \frac{B}{\pi} \left(\frac{c}{b} \right) \frac{\sin(\omega t) \cdot \sin(2\omega t)}{(b+c \cdot \cos \omega t)} \right] \cdot \cos(4\theta) \cdot (\sin \theta + a \cdot \cos \theta)^6 \\ &\quad - 12 A_3 \left[\right. \left. \frac{B}{\pi} \frac{\sin^2(\omega t)}{(b+c \cdot \cos \omega t)} + \frac{1}{2} \frac{B}{\pi} \left(\frac{c}{b} \right) \frac{\sin(\omega t) \cdot \sin(2\omega t)}{(b+c \cdot \cos \omega t)} \right] \cdot \cos(6\theta) \cdot (\sin \theta + a \cdot \cos \theta)^8 \\ &\quad - 16 A_4 \left[\right. \left. \frac{B}{\pi} \frac{\sin^2(\omega t)}{(b+c \cdot \cos \omega t)} + \frac{1}{2} \frac{B}{\pi} \left(\frac{c}{b} \right) \frac{\sin(\omega t) \cdot \sin(2\omega t)}{(b+c \cdot \cos \omega t)} \right] \cdot \cos(8\theta) \cdot (\sin \theta + a \cdot \cos \theta)^{10} \\ &\quad \left. + \dots \dots \right\} \end{aligned}$$

2.5.3. Hydrodynamische Kräfte.

Man integriert die hydrodynamischen Drücke entlang des Profils zu einem beliebigen Zeitpunkt und definiert wie folgt:

$$K_{\text{instationär}} = \rho \int_{\text{Rand}} \frac{\partial \phi}{\partial t} ds$$

und

$$K_{\text{quasistationär}} = -\frac{1}{2} \rho \int_{\text{Rand}} (\nabla \phi)^2 ds$$

Da $x = r_p \cdot \cos \theta$ und $dx = -\frac{b+c \cdot \cos(\omega t)}{(\sin \theta + a \cdot \cos \theta)^2} d\theta$, folgt

$$\rho \int_{\text{Rand}} \frac{\partial \phi}{\partial t} ds = 2 \rho \int_0^{\frac{\pi}{2}} \frac{\partial \phi}{\partial t} dx = 2 \rho \int_0^{\frac{\pi}{2}} \frac{\partial \phi}{\partial t}_{\text{Rand}} \frac{b+c \cdot \cos(\omega t)}{(\sin \theta + a \cdot \cos \theta)^2} d\theta$$

und in gleicher Weise

$$-\frac{1}{2} \rho \int_{\text{Rand}} (\nabla \phi)^2 ds = -\rho \int_0^{\frac{\pi}{2}} (\nabla \phi)_{\text{Rand}}^2 \frac{b+c \cdot \cos(\omega t)}{(\sin \theta + a \cdot \cos \theta)^2} d\theta$$

1). K_{inst} :

$$\begin{aligned} K_{\text{inst}} &= \rho U \omega \left\{ \left[\frac{2B}{\pi} \ln [\gamma v (b+c \cdot \cos \omega t)] \cos(\omega t) \cdot (b+c \cdot \cos \omega t) \right. \right. \\ &\quad + \frac{2B}{\pi} \left(\frac{c}{b} \right) \cdot \ln [4 \gamma v (b+c \cdot \cos \omega t)] \cos(2\omega t) \cdot (b+c \cdot \cos \omega t) \\ &\quad - 2B \sin(\omega t) \cdot (b+c \cdot \cos \omega t) \\ &\quad \left. \left. - 2B \left(\frac{c}{b} \right) \cdot \sin(2\omega t) (b+c \cdot \cos \omega t) \right] \cdot \int_0^{\frac{\pi}{2}} \frac{d\theta}{(\sin \theta + a \cdot \cos \theta)^2} \right. \\ &\quad \left. - \left[\frac{2B}{\pi} \cdot \cos(\omega t) (b+c \cdot \cos \omega t) \right. \right. \\ &\quad \left. \left. + \frac{2B}{\pi} \cdot \left(\frac{c}{b} \right) \cdot \cos(2\omega t) (b+c \cdot \cos \omega t) \right] \cdot \int_0^{\frac{\pi}{2}} \frac{\ln(\sin \theta + a \cdot \cos \theta)}{(\sin \theta + a \cdot \cos \theta)^2} d\theta \right\} \end{aligned}$$

$$\begin{aligned}
 & + A_1 (b+c \cdot \cos \omega t) \left[-3c \cdot \sin^2 \omega t + (b+c \cdot \cos \omega t) \cdot \cos \omega t \right] \cdot \int_0^{\frac{\pi}{2}} \cos(2\theta) d\theta \\
 & + A_2 (b+c \cdot \cos \omega t) \left[-5c \cdot \sin^2 \omega t + (b+c \cdot \cos \omega t) \cdot \cos \omega t \right] \cdot \int_0^{\frac{\pi}{2}} \cos(4\theta) (\sin \theta + a \cos \theta)^2 d\theta \\
 & + A_3 (b+c \cdot \cos \omega t) \left[-7c \cdot \sin^2 \omega t + (b+c \cdot \cos \omega t) \cdot \cos \omega t \right] \cdot \int_0^{\frac{\pi}{2}} \cos(6\theta) (\sin \theta + a \cos \theta)^4 d\theta \\
 & + A_4 (b+c \cdot \cos \omega t) \left[-9c \cdot \sin^2 \omega t + (b+c \cdot \cos \omega t) \cdot \cos \omega t \right] \cdot \int_0^{\frac{\pi}{2}} \cos(8\theta) (\sin \theta + a \cos \theta)^6 d\theta
 \end{aligned}$$

wobei die Integrationen wie folgt lauten:

$$S_1 = \int_0^{\frac{\pi}{2}} \frac{d\theta}{(\sin \theta + a \cos \theta)^2} = \frac{1}{a}$$

$$S_2 = \int_0^{\frac{\pi}{2}} \frac{\ln(\sin \theta + a \cdot \cos \theta)}{(\sin \theta + a \cdot \cos \theta)^2} d\theta$$

$$= \frac{a}{1+a^2} \ln \left[\sqrt{1+a^2} \cdot \sin(\arctg \frac{1}{a}) \right]$$

$$+ \frac{1}{a(1+a^2)} \cdot \ln \left[\sqrt{1+a^2} \cdot \cos(\arctg \frac{1}{a}) \right]$$

$$+ \frac{1}{1+a^2} \left(a + \frac{1}{a} - \frac{\pi}{2} \right) ,$$

$$\int_0^{\frac{\pi}{2}} \cos(2\theta) d\theta = 0 ,$$

$$S_3 = \int_0^{\frac{\pi}{2}} \cos(4\theta) \cdot (\sin \theta + a \cos \theta)^2 d\theta = -\frac{a}{3} ,$$

$$S_4 = \int_0^{\frac{\pi}{2}} \cos(6\theta) \cdot (\sin \theta + a \cos \theta)^4 d\theta = \frac{1}{5} a (1-a^2) ,$$

$$S_5 = \int_0^{\frac{\pi}{2}} \cos(8\theta) \cdot (\sin \theta + a \cos \theta)^6 d\theta = \frac{1}{7} a (-1+a^2-a^4) ,$$

Die numerischen Rechnungen zeigen, daß die Entwicklung über n bis $N = 4$ abgebrochen werden kann,

Man setzt S_1, S_2, S_3, S_4, S_5 in die Gleichung von K_{inst} ein und entwickelt sie in den trigonometrischen Reihen bis zur dritten Ordnung (d.h. die Abhängigkeit von der Zeit t ist durch trigonometrische Funktionen dargestellt und diese Reihe ist bei der Kreisfrequenz 3ω abgebrochen). Diese Reihe wird in der folgenden Form dargestellt:

$$\begin{aligned}
 K_{inst} = & \rho U \omega \left\{ \frac{B}{\pi} \left[S_1 \left(c \cdot \ln(b \gamma v) + c + \frac{1}{8} c \left(\frac{c}{b} \right)^2 + \frac{1}{6} c \left(\frac{c}{b} \right)^4 \right) - \frac{B}{\pi} \cdot S_2 \cdot c \right. \right. \\
 & - \frac{1}{2} bc \cdot (3A_2 S_3 + 5A_3 S_4 + 7A_4 S_5) \Big] \\
 & + \left[\frac{B}{\pi} S_1 \left(2b \cdot \ln(b \gamma v) + c \left(\frac{c}{b} \right) \ln(4 \gamma v b) + \frac{7}{4} c \cdot \left(\frac{c}{b} \right) + \frac{1}{4} c \left(\frac{c}{b} \right)^3 \right) \right. \\
 & - \frac{B}{\pi} S_2 \left(2b + c \cdot \left(\frac{c}{b} \right) \right) + b^2 (A_2 S_3 + A_3 S_4 + A_4 S_5) \\
 & \left. \left. - \frac{1}{2} c^2 (A_2 S_3 + 2A_3 S_4 + 3A_4 S_5) \right] \cdot \cos(\omega t) \right. \\
 & - \left[BS_1 \left(2b + c \left(\frac{c}{b} \right) \right) \right] \cdot \sin(\omega t) \\
 & + \left[\frac{B}{\pi} S_1 \left(c \cdot \ln(b \gamma v) + 2c \cdot \ln(4b \gamma v) + c + \frac{1}{3} c \left(\frac{c}{b} \right)^2 + \frac{7}{24} c \left(\frac{c}{b} \right)^4 \right) \right. \\
 & - \frac{B}{\pi} S_2 (3c) + \frac{1}{2} bc (7A_2 S_3 + 9A_3 S_4 + 11A_4 S_5) \Big] \cdot \cos(2\omega t) \\
 & - \left[BS_1 (3c) \right] \cdot \sin(2\omega t) \\
 & + \left[\frac{B}{\pi} S_1 \left(c \cdot \left(\frac{c}{b} \right) \ln(4b \gamma v) + \frac{5}{4} c \left(\frac{c}{b} \right) + \frac{1}{12} c \left(\frac{c}{b} \right)^3 \right) \right. \\
 & - \frac{B}{\pi} S_2 \left(c \cdot \left(\frac{c}{b} \right) \right) + \frac{1}{2} c^2 (3A_2 S_3 + 4A_3 S_4 + 5A_4 S_5) \Big] \cos(3\omega t) \\
 & \left. - \left[BS_1 \left(c \cdot \left(\frac{c}{b} \right) \right) \right] \sin(3\omega t) \right\}
 \end{aligned}$$

K_{quasi} :

Auf die gleiche Weise erhält man die zweite Kraft.

$$\begin{aligned}
 K_{\text{quasi}} = & - \rho U^2 B \left\{ \left[\frac{1}{\pi a} \left(\frac{1}{2} - \frac{3}{4} \left(\frac{c}{b} \right)^3 + \frac{3}{4} \left(\frac{c}{b} \right)^4 + \frac{5}{128} \left(\frac{c}{b} \right)^6 \right) \right. \right. \\
 & + \left[\frac{1}{\pi a} \left(\frac{1}{4} \left(\frac{c}{b} \right) + \frac{5}{32} \left(\frac{c}{b} \right)^3 + \frac{5}{64} \left(\frac{c}{b} \right)^5 \right) - \frac{S}{\pi} \left(\frac{c}{b} \right) \right] \cos(\omega t) \\
 & + \left[\frac{1}{\pi a} \left(-\frac{1}{2} + \frac{1}{32} \left(\frac{c}{b} \right)^6 \right) + \frac{2S}{\pi} \right] \cos(2\omega t) \\
 & \left. \left. + \left[\frac{1}{\pi a} \left(-\frac{1}{4} \left(\frac{c}{b} \right) - \frac{1}{64} \left(\frac{c}{b} \right)^5 \right) + \frac{S}{\pi} \left(\frac{c}{b} \right) \right] \cos(3\omega t) \right\}
 \end{aligned}$$

wobei $S = A_1 J_1 + 2A_2 J_2 + 3A_3 J_3 + 4A_4 J_4$ und
 J_1, J_2, J_3 und J_4 folgende Integration darstellen:

$$\begin{aligned}
 J_1 &= \int_0^{\frac{\pi}{2}} \cos(2\theta) \cdot (\sin \theta + a \cdot \cos \theta)^2 d\theta = \frac{\pi}{4} (a^2 - 1) , \\
 J_2 &= \int_0^{\frac{\pi}{2}} \cos(4\theta) \cdot (\sin \theta + a \cdot \cos \theta)^4 d\theta \\
 &= -\frac{1}{3} (a + a^3) + \frac{\pi}{32} (1 - 6a^2 + a^4) , \\
 J_3 &= \int_0^{\frac{\pi}{2}} \cos(6\theta) \cdot (\sin \theta + a \cdot \cos \theta)^6 d\theta \\
 &= \frac{3}{10} (a - a^5) + \frac{\pi}{128} (-1 + 15a^2 - 15a^4 + a^6) , \\
 J_4 &= \int_0^{\frac{\pi}{2}} \cos(8\theta) \cdot (\sin \theta + a \cdot \cos \theta)^8 d\theta \\
 &= \frac{1}{5} (a^3 + a^5) - \frac{23}{105} (a + a^7) + \frac{\pi}{512} (1 - 28a^2 + 70a^4 - 28a^6 + a^8)
 \end{aligned}$$

2.6. Numerische Beispiele.

2.6.1. Beschreibung der Modelle.

Durch die Feststellung der Breiten der Modelle in den mittleren Positionen und auch durch die Variierung der Keilwinkel erhält man verschiedene Modelle mit dem gleichen Völligkeitskoeffizient. Man wählt drei Modelle und stellt sie in der Tabelle wie folgt dar:

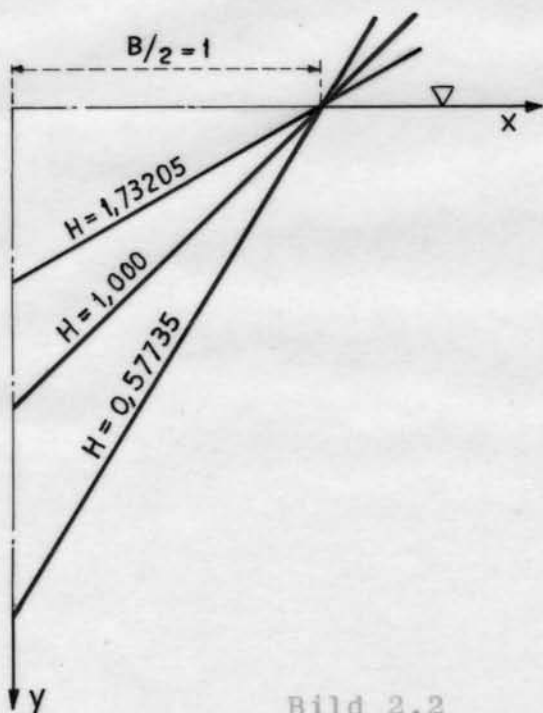


Bild 2.2

α	H	β
0,57735	1,73205	0,5
1,0000	1,0000	0,5
1,73205	0,57735	0,5

Die berechneten Werte der Koeffizienten A_n und der Integrationen S und J für die Modelle sind in folgenden Tafeln angegeben:

H	1,73205	1,0000	0,57735
A_{o1}	$\frac{B}{\pi} i$	"	"
A_{o2}	$\frac{c \cdot H}{b} \cdot \frac{B}{\pi} i$	"	"
A_1	- 0,2912	0	- 0,0390
A_2	- 0,1877	- 0,0184	0,0084
A_3	- 0,1091	0	- 0,0011
A_4	- 0,0605	- 0,0021	0,0003
S_1	1,73205	1,0000	0,57735
S_2	- 0,1604	0,2146	0,2638
S_3	- 0,1924	- 0,3333	- 0,5773
S_4	0,0769	0	- 0,6928
S_5	- 0,0641	- 0,1429	- 1,7320
L	0,0316	0,0064	- 0,0046
J_1	- 0,5235	0	1,5708
J_2	- 0,3437	- 1,0592	- 3,0946
J_3	0,2119	0	- 5,7247
J_4	- 0,1368	- 0,3674	- 11,0877
S	0,2449	0,0416	- 0,1076

wobei

$$L = A_2 S_3 + A_3 S_4 + A_4 S_5 ,$$

$$S = A_1 J_1 + 2 A_2 J_2 + 3 A_3 J_3 + 4 A_4 J_4$$

2.6.2. Hydrodynamische Kräfte im linearen Fall.

Da im linearen Fall die Amplitude c gleich Null ist, lautet die Kraft wie folgt:

$$K = \rho U \omega B^2 \left[\frac{1}{\pi} \ln \left(\frac{B}{2} \alpha \gamma v \right) - \frac{S_2 a}{\pi} + \frac{a^2}{4} L \right] \cos(\omega t) - \rho U \omega B^2 \sin(\omega t)$$

Man setzt den dimensionslosen Frequenzparameter $F = \frac{v \cdot B}{2}$ in diese Beziehung, somit

$$K = \rho U \omega B^2 \left[\frac{1}{\pi} \ln F + \frac{1}{\pi} \ln(\alpha \gamma) - \frac{S_2 a}{\pi} + \frac{a^2}{4} L \right] \cos(\omega t) - \rho U \omega B^2 \sin(\omega t)$$

Da Geschwindigkeit und Beschleunigung des Körpers je $-U \sin(\omega t)$ und $-U \omega \cos(\omega t)$ sind, werden hydrodynamische Masse m'' und Dämpfungskoeffizient N wie folgt dargestellt:

$$m'' = -\rho B^2 \left[\frac{1}{\pi} \ln F + \frac{1}{\pi} \ln(\alpha \gamma) - \frac{S_2 a}{\pi} + \frac{a^2}{4} L \right],$$

$$N = \rho \omega B^2$$

Somit werden Koeffizient der hydrodynamischen Masse C und Amplitudenverhältnis von der ablaufenden Welle und der Tauchbewegung \bar{A} wie folgt angegeben:

$$C = -\frac{8}{\pi^2} \cdot \ln F - \frac{8}{\pi} \left[\frac{1}{\pi} \ln(\alpha \gamma) - \frac{S_2 a}{\pi} + \frac{a^2}{4} L \right]$$

$$\bar{A} = B \cdot v = 2F$$

Die errechneten Werte von C und \bar{A} werden in Bild 2.3 aufgetragen.

Der dimensionslose Kraftkoeffizient $\frac{K}{\rho \cdot g \cdot c \cdot B}$ für die Modelle von $H = 1,73205$ und $H = 0,57735$ an den Frequenzen $F = 0,01$ und $0,04$ lautet wie folgt:

H	$\left(\frac{K}{\rho \cdot g \cdot c \cdot B} \right) F = 0,01$
1,73 205	$- 0,0285 \cos(\omega t) - 0,02 \sin(\omega t)$
0,57735	$- 0,0251 \cos(\omega t) - 0,02 \sin(\omega t)$

H	$\left(\frac{K}{\rho \cdot g \cdot c \cdot B} \right) F = 0,04$
1,73 205	$- 0,0787 \cos(\omega t) - 0,08 \sin(\omega t)$
0,57735	$- 0,0651 \cos(\omega t) - 0,08 \sin(\omega t)$

siehe Bild 2.4. und 2.5.

2.6.3. Hydrodynamische Kräfte im nicht linearen Fall.

Im nicht linearen Fall wird angesetzt:

$$\begin{aligned} \frac{K_{inst}}{\rho \cdot g \cdot c \cdot B} &= x_0 + x_1 \cos(\omega t) + x_2 \sin(\omega t) \\ &\quad + x_3 \cos(2\omega t) + x_4 \sin(2\omega t) \\ &\quad + x_5 \cos(3\omega t) + x_6 \sin(3\omega t), \end{aligned}$$

$$\begin{aligned} \frac{K_{quasi}}{\rho \cdot g \cdot c \cdot B} &= x'_0 + x'_1 \cos(\omega t) \\ &\quad + x'_3 \cos(2\omega t) \\ &\quad + x'_5 \cos(3\omega t) \end{aligned}$$

$$\begin{aligned} \frac{K}{\rho \cdot g \cdot c \cdot B} &= (x_0 + x'_0) + (x_1 + x'_1) \cos(\omega t) + x_2 \sin(\omega t) \\ &\quad + (x_3 + x'_3) \cos(2\omega t) + x_4 \sin(2\omega t) \\ &\quad + (x_5 + x'_5) \cos(3\omega t) + x_6 \sin(3\omega t) \end{aligned}$$

Die berechneten Koeffizienten x und x' werden in folgender Tabelle angegeben und die Kraftkoeffizienten in Bild 2.4. bis 2.9. aufgetragen.

c = 0,2

F	H	α_0	α_1	α_2	α_3	α_4	α_5	α_6
0,01	1,73205	-0,0038	-0,0290	-0,0211	-0,0105	-0,0103	-0,0006	-0,0012
	1,0000	-0,0020	-0,0271	-0,0203	-0,0056	-0,0060	-0,0001	-0,0003
	0,57735	-0,0010	-0,0245	-0,0201	-0,0029	-0,0034	-0,0000	-0,0001
0,04	1,73205	-0,0092	-0,0786	-0,0847	-0,0239	-0,0415	-0,0006	-0,0047
	1,0000	-0,0047	-0,0724	-0,0815	-0,0120	-0,0240	-0,0000	-0,0015
	0,57735	-0,0022	-0,0650	-0,0805	-0,0058	-0,0138	-0,0000	-0,0005

c = 0,4

F	H	α_0	α_1	α_2	α_3	α_4	α_5	α_6
0,01	1,73205	-0,0075	-0,0304	-0,0247	-0,0207	-0,0207	-0,0027	-0,0047
	1,0000	-0,0041	-0,0275	-0,0215	-0,0112	-0,0120	-0,0008	-0,0015
	0,57735	-0,0020	-0,0246	-0,0205	-0,0058	-0,0069	-0,0002	-0,0005
0,04	1,73205	-0,0178	-0,0777	-0,0991	-0,0462	-0,0831	-0,0024	-0,0191
	1,0000	-0,0094	-0,0719	-0,0863	-0,0239	-0,0480	-0,0003	-0,0063
	0,57735	-0,0044	-0,0647	-0,0821	-0,0115	-0,0277	-0,0000	-0,0021

c = 0,2

F	H	α'_0	α'_1	α'_3	α'_5
0,01	1,73205	-0,0002	-0,0000	+0,0002	+0,0000
	1,0000	-0,0002	-0,0000	+0,0002	+0,0000
	0,57735	-0,0003	-0,0000	+0,0003	+0,0000
0,04	1,73205	-0,0008	-0,0002	+0,0009	+0,0001
	1,0000	-0,0010	-0,0001	+0,0010	+0,0001
	0,57735	-0,0012	-0,0000	+0,0012	+0,0000

c = 0,4

F	H	α'_0	α'_1	α'_3	α'_5
0,01	1,73205	-0,0003	-0,0003	+0,0004	+0,0001
	1,0000	-0,0005	-0,0001	+0,0005	+0,0001
	0,57735	-0,0006	-0,0000	+0,0006	+0,0000
0,04	1,73205	-0,0013	-0,0012	+0,0018	+0,0006
	1,0000	-0,0019	-0,0004	+0,0021	+0,0004
	0,57735	-0,0025	-0,0003	+0,0025	+0,0003

$c = 0,2$

F	H	$\alpha_0 + \alpha'_0$	$\alpha_1 + \alpha'_1$	α_2	$\alpha_3 + \alpha'_3$	α_4	$\alpha_5 + \alpha'_5$	α_6
0,01	1,73205	-0,0040	-0,0290	-0,0211	-0,0103	-0,0103	-0,0006	-0,0012
	1,0000	-0,0022	-0,0271	-0,0203	-0,0054	-0,0060	-0,0001	-0,0003
	0,57735	-0,0013	-0,0245	-0,0201	-0,0026	-0,0034	-0,0000	-0,0001
0,04	1,73205	-0,0100	-0,0788	-0,0847	-0,0230	-0,0415	-0,0005	-0,0047
	1,0000	-0,0057	-0,0725	-0,0815	-0,0110	-0,0240	+0,0001	-0,0015
	0,57735	-0,0034	-0,0650	-0,0805	-0,0046	-0,0138	-0,0000	-0,0005

$c = 0,4$

F	H	$\alpha_0 + \alpha'_0$	$\alpha_1 + \alpha'_1$	α_2	$\alpha_3 + \alpha'_3$	α_4	$\alpha_5 + \alpha'_5$	α_6
0,01	1,73205	-0,0078	-0,0307	-0,0247	-0,0203	-0,0207	-0,0026	-0,0047
	1,0000	-0,0046	-0,0276	-0,0215	-0,0107	-0,0120	-0,0007	-0,0015
	0,57735	-0,0026	-0,0246	-0,0205	-0,0052	-0,0069	-0,0002	-0,0005
0,04	1,73205	-0,0191	-0,0789	-0,0991	-0,0444	-0,0831	-0,0018	-0,0191
	1,0000	-0,0113	-0,0723	-0,0863	-0,0217	-0,0480	+0,0001	-0,0063
	0,57735	-0,0069	-0,0650	-0,0821	-0,0090	-0,0277	0,0003	-0,0021

2.6.4. Hydrodynamische Druckverteilung.

Im linearen Fall wird der dimensionslose Druckkoeffizient in folgender Form dargestellt:

$$\left(\frac{P}{\rho g c} \right)_{\text{Rand}} = v \left[\frac{B}{\pi} \ln(b/v) - \frac{B}{\pi} \ln(\sin \theta + a \cos \theta) \right. \\ + A_1 b \cdot \cos(2\theta) \cdot (\sin \theta + a \cdot \cos \theta)^2 \\ + A_2 b \cdot \cos(4\theta) \cdot (\sin \theta + a \cdot \cos \theta)^4 \\ + A_3 b \cdot \cos(6\theta) \cdot (\sin \theta + a \cdot \cos \theta)^6 \\ + A_4 b \cdot \cos(8\theta) \cdot (\sin \theta + a \cdot \cos \theta)^8 \left. \right] \cos(\omega t) \\ + v \cdot B \cdot \sin(\omega t)$$

wobei C die Amplitude der Schwingung bezeichnet.

Im nichtlinearen Fall wird die rechte Seite abhängig von der Amplitude.

Man berechnet die Druckverteilungen $\frac{P_{\text{inst}}}{\rho g c}$ am Profilrand des Modells von $H = 1,73205$ in zwei momentanen Positionen d.h. $\omega t = \frac{3}{2}\pi$ und $\frac{7}{4}\pi$. Für die fünf Punkte des Profils $\theta = 0, \frac{\pi}{6}, \frac{\pi}{4}, \frac{\pi}{3}$ und $\frac{\pi}{2}$, für die Frequenz 0,04 und für die Amplitude 0,4 sind die Drücke errechnet und in Bild 2.10. und 2.11. aufgetragen worden.

2.6.5. Diskussion.

- 1) Da der Koeffizient $\frac{K_{\text{quasi}}}{\rho \cdot g \cdot c \cdot B}$ im Vergleich mit dem Koeffizienten $\frac{K_{\text{inst}}}{\rho \cdot g \cdot c \cdot B}$ sehr gering ist, kann er im asymptotischen Falle vernachlässigt werden. Wesentlich ist, daß das Vorzeichen des Koeffizienten $\frac{K_{\text{quasi}}}{\rho \cdot g \cdot c \cdot B}$ immer minus ist. Das positive Vorzeichen in Bild 2.9. ist durch das Abbrechen nach einer begrenzten Zahl von Gliedern der trigonometrischen Reihe verursacht.
- 2) Durch die Druckverteilung an einigen Punkten der Körperoberfläche zu den Zeitpunkten $\omega t = \frac{3}{2}\pi, \frac{7}{4}\pi$ (Bild 2.10. u. 2.11.) wird bewiesen, daß die in

2.6.4. Hydrodynamische Druckverteilung.

Im linearen Fall wird der dimensionslose Druckkoeffizient in folgender Form dargestellt:

$$\left(\frac{P}{\rho g c} \right)_{\text{Rand}} = v \left[\frac{B}{\pi} \ln(b/v) - \frac{B}{\pi} \ln(\sin \theta + a \cos \theta) \right. \\ + A_1 b \cdot \cos(2\theta) \cdot (\sin \theta + a \cdot \cos \theta)^2 \\ + A_2 b \cdot \cos(4\theta) \cdot (\sin \theta + a \cdot \cos \theta)^4 \\ + A_3 b \cdot \cos(6\theta) \cdot (\sin \theta + a \cdot \cos \theta)^6 \\ + A_4 b \cdot \cos(8\theta) \cdot (\sin \theta + a \cdot \cos \theta)^8 \left. \right] \cos(\omega t) \\ + v \cdot B \cdot \sin(\omega t)$$

wobei C die Amplitude der Schwingung bezeichnet.

Im nichtlinearen Fall wird die rechte Seite abhängig von der Amplitude.

Man berechnet die Druckverteilungen $\frac{P_{\text{inst}}}{\rho g c}$ am Profilrand des Modells von $H = 1,73205$ in zwei momentanen Positionen d.h. $\omega t = \frac{3}{2}\pi$ und $\frac{7}{4}\pi$. Für die fünf Punkte des Profils $\theta = 0, \frac{\pi}{6}, \frac{\pi}{4}, \frac{\pi}{3}$ und $\frac{\pi}{2}$, für die Frequenz 0,04 und für die Amplitude 0,4 sind die Drücke errechnet und in Bild 2.10. und 2.11. aufgetragen worden.

2.6.5. Diskussion.

- 1) Da der Koeffizient $\frac{K_{\text{quasi}}}{\rho \cdot g \cdot c \cdot B}$ im Vergleich mit dem Koeffizienten $\frac{K_{\text{inst}}}{\rho \cdot g \cdot c \cdot B}$ sehr gering ist, kann er im asymptotischen Falle vernachlässigt werden. Wesentlich ist, daß das Vorzeichen des Koeffizienten $\frac{K_{\text{quasi}}}{\rho \cdot g \cdot c \cdot B}$ immer minus ist. Das positive Vorzeichen in Bild 2.9. ist durch das Abbrechen nach einer begrenzten Zahl von Gliedern der trigonometrischen Reihe verursacht.
- 2) Durch die Druckverteilung an einigen Punkten der Körperoberfläche zu den Zeitpunkten $\omega t = \frac{3}{2}\pi, \frac{7}{4}\pi$ (Bild 2.10. u. 2.11.) wird bewiesen, daß die in den Bildern 2.4. bis 2.9. aufgetragenen Kraftkoeffi-

2.6.4. Hydrodynamische Druckverteilung.

Im linearen Fall wird der dimensionslose Druckkoeffizient in folgender Form dargestellt:

$$\left(\frac{P}{\rho g c} \right)_{\text{Rand}} = v \left[\frac{B}{\pi} \ln(b/v) - \frac{B}{\pi} \ln(\sin \theta + a \cos \theta) \right. \\ + A_1 b \cdot \cos(2\theta) \cdot (\sin \theta + a \cdot \cos \theta)^2 \\ + A_2 b \cdot \cos(4\theta) \cdot (\sin \theta + a \cdot \cos \theta)^4 \\ + A_3 b \cdot \cos(6\theta) \cdot (\sin \theta + a \cdot \cos \theta)^6 \\ + A_4 b \cdot \cos(8\theta) \cdot (\sin \theta + a \cdot \cos \theta)^8 \left. \right] \cos(\omega t) \\ + v \cdot B \cdot \sin(\omega t)$$

wobei C die Amplitude der Schwingung bezeichnet.

Im nichtlinearen Fall wird die rechte Seite abhängig von der Amplitude.

Man berechnet die Druckverteilungen $\frac{P_{\text{inst}}}{\rho g c}$ am Profilrand des Modells von $H = 1,73205$ in zwei momentanen Positionen d.h. $\omega t = \frac{3}{2}\pi$ und $\frac{7}{4}\pi$. Für die fünf Punkte des Profils $\theta = 0, \frac{\pi}{6}, \frac{\pi}{4}, \frac{\pi}{3}$ und $\frac{\pi}{2}$, für die Frequenz 0,04 und für die Amplitude 0,4 sind die Drücke errechnet und in Bild 2.10. und 2.11. aufgetragen worden.

2.6.5. Diskussion.

- 1) Da der Koeffizient $\frac{K_{\text{quasi}}}{\rho \cdot g \cdot c \cdot B}$ im Vergleich mit dem Koeffizienten $\frac{K_{\text{inst}}}{\rho \cdot g \cdot c \cdot B}$ sehr gering ist, kann er im asymptotischen Falle vernachlässigt werden. Wesentlich ist, daß das Vorzeichen des Koeffizienten $\frac{K_{\text{quasi}}}{\rho \cdot g \cdot c \cdot B}$ immer minus ist. Das positive Vorzeichen in Bild 2.9. ist durch das Abbrechen nach einer begrenzten Zahl von Gliedern der trigonometrischen Reihe verursacht.
- 2) Durch die Druckverteilung an einigen Punkten der Körperoberfläche zu den Zeitpunkten $\omega t = \frac{3}{2}\pi, \frac{7}{4}\pi$ (Bild 2.10. u. 2.11.) wird bewiesen, daß die in den Bildern 2.4. bis 2.9. aufgetragenen Kraftkoeffizienten richtig sind.

Bild 2.3.
Koeffizient der hydrodynamischen Masse C
und Amplitudenverhältnis \bar{A}

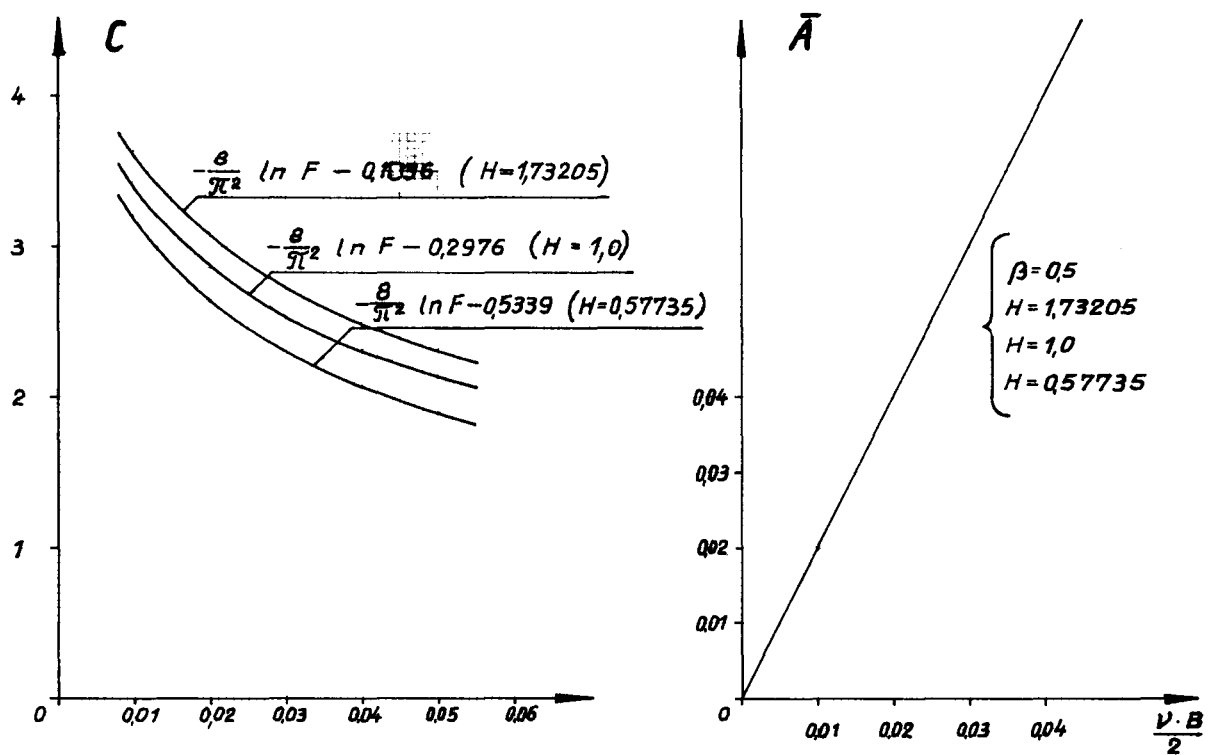
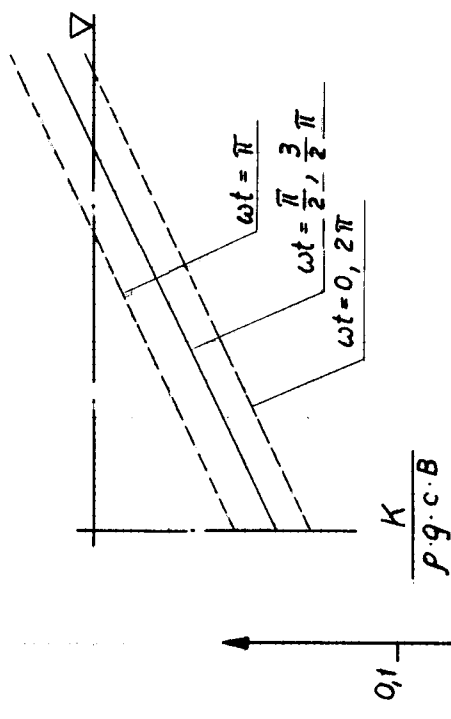


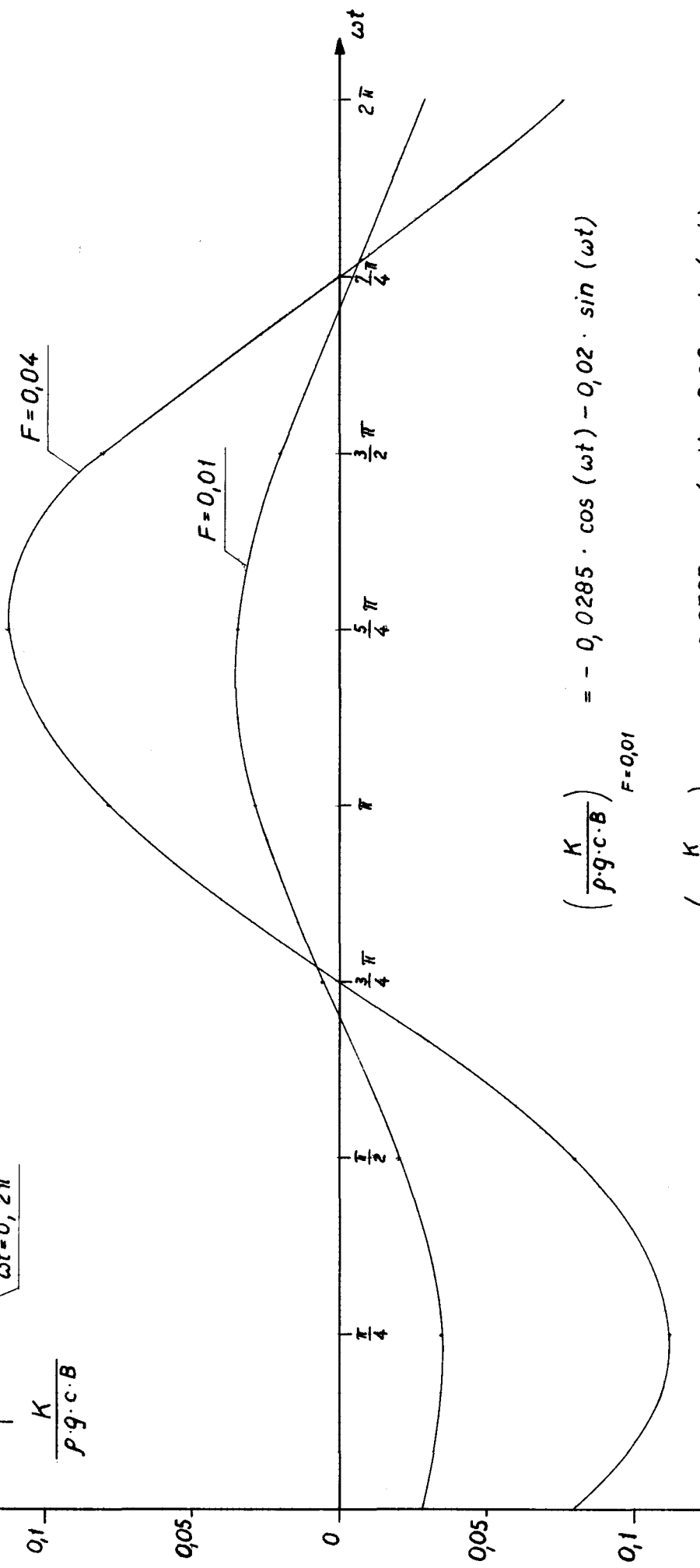
Bild 2.4.

Kraftkoeffizient
im linearen Fall



$$\beta = 0,5$$

$$H = 1,73 \cdot 205$$



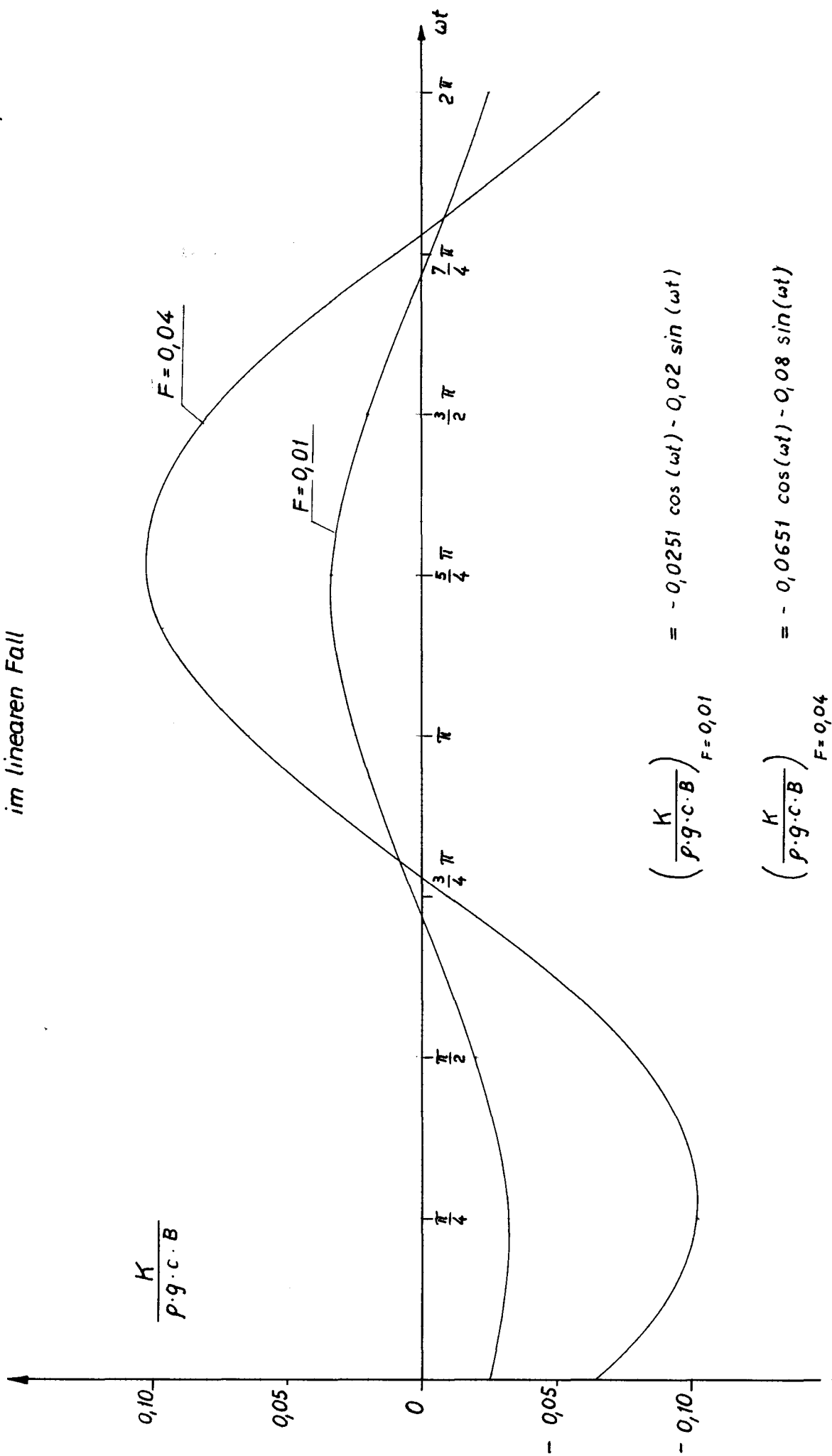
$$\left(\frac{K}{\rho \cdot g \cdot c \cdot B} \right)_{F=0,01} = -0,0285 \cdot \cos(\omega t) - 0,02 \cdot \sin(\omega t)$$

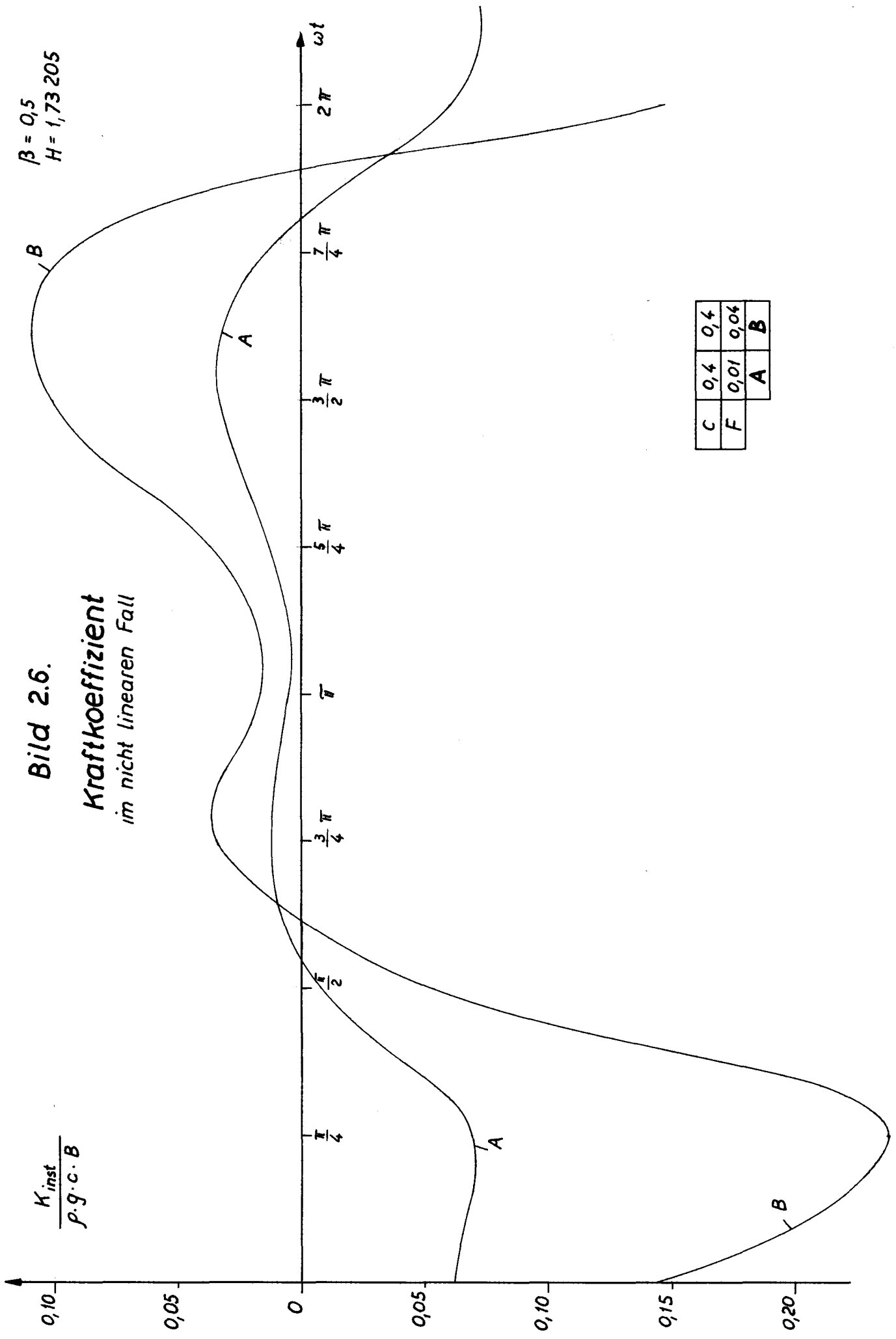
$$\left(\frac{K}{\rho \cdot g \cdot c \cdot B} \right)_{F=0,04} = -0,0787 \cdot \cos(\omega t) - 0,08 \cdot \sin(\omega t)$$

Bild 2.5.

Kraftkoeffizient
im linearen Fall

$$\begin{aligned}\beta &= 0,5 \\ H &= 0,57735\end{aligned}$$





$$\beta = 0,5$$

$$H = 1,73205$$

Bild 2.7.
Kraftkoeffizient
im nicht linearen Fall

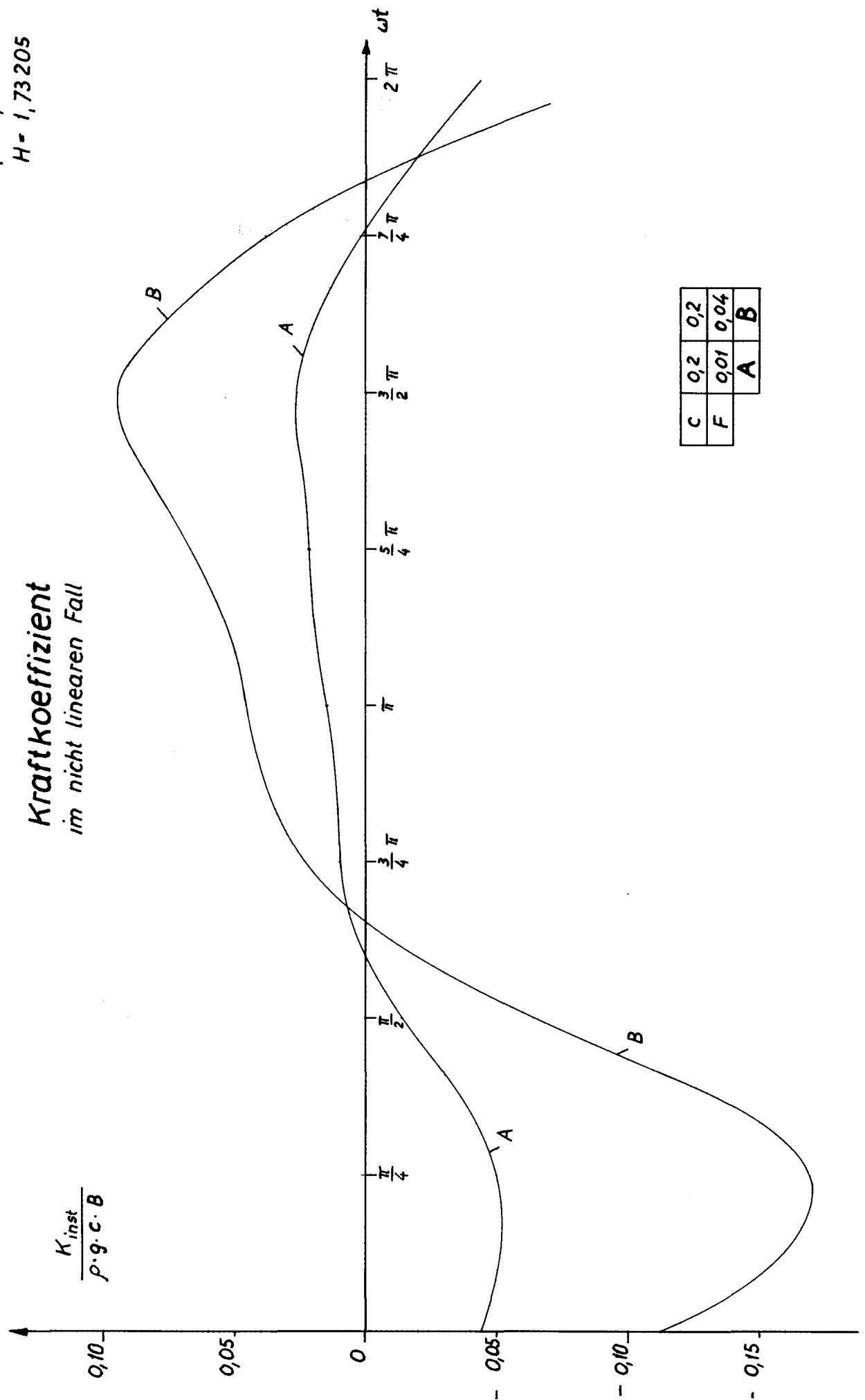


Bild 2.8.
Kraftkoeffizient
im nicht linearen Fall

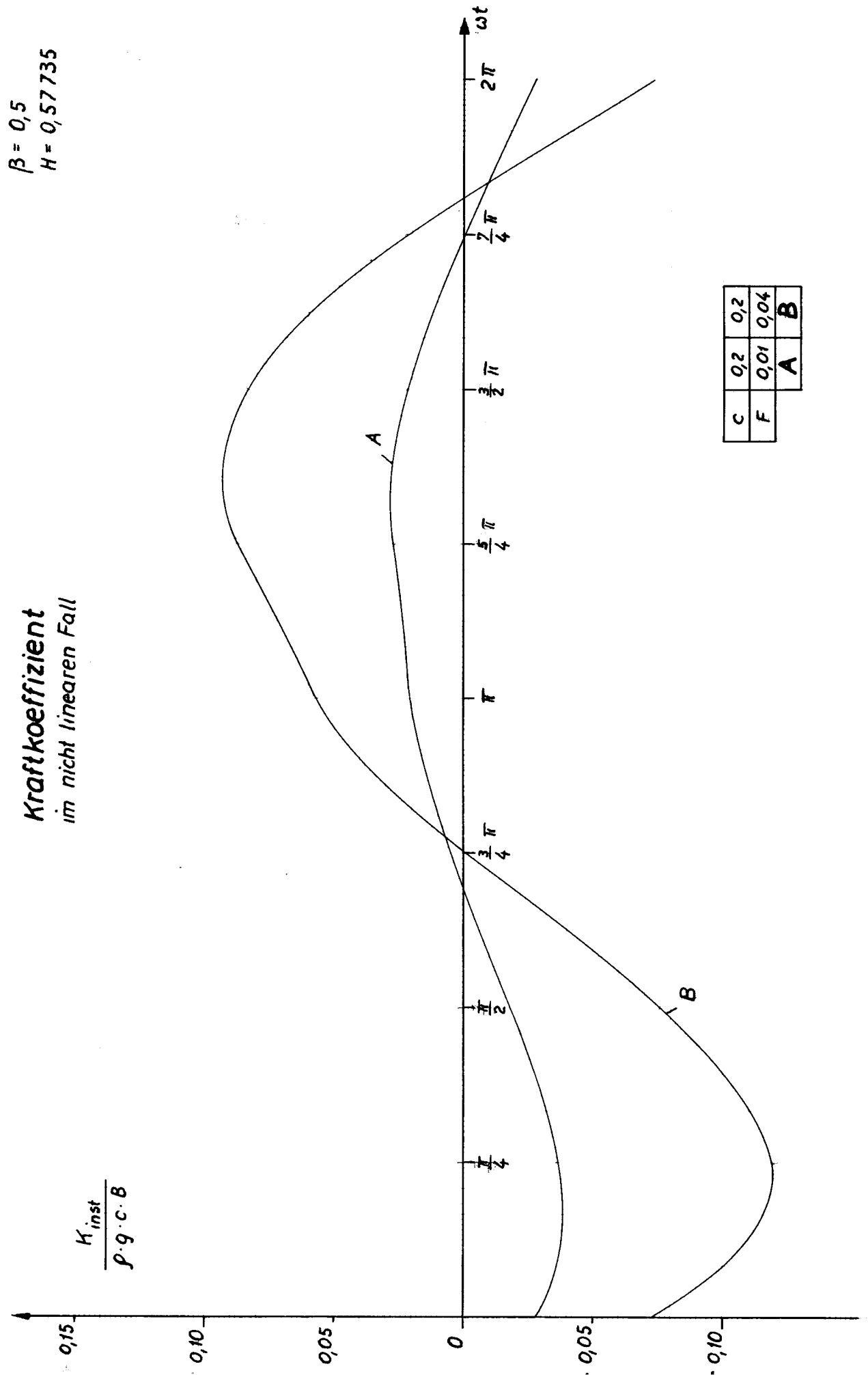


Bild 2.9.

Kraftkoeffizient
im nicht linearen Fall

$$\frac{K_{\text{quasi}}}{\rho \cdot g \cdot c \cdot B}$$

$$\beta = 0,5$$

<i>H</i>	0,57735	1,73205
<i>C</i>	0,2	0,4
<i>F</i>	0,01	0,04
A	B	C
D	E	

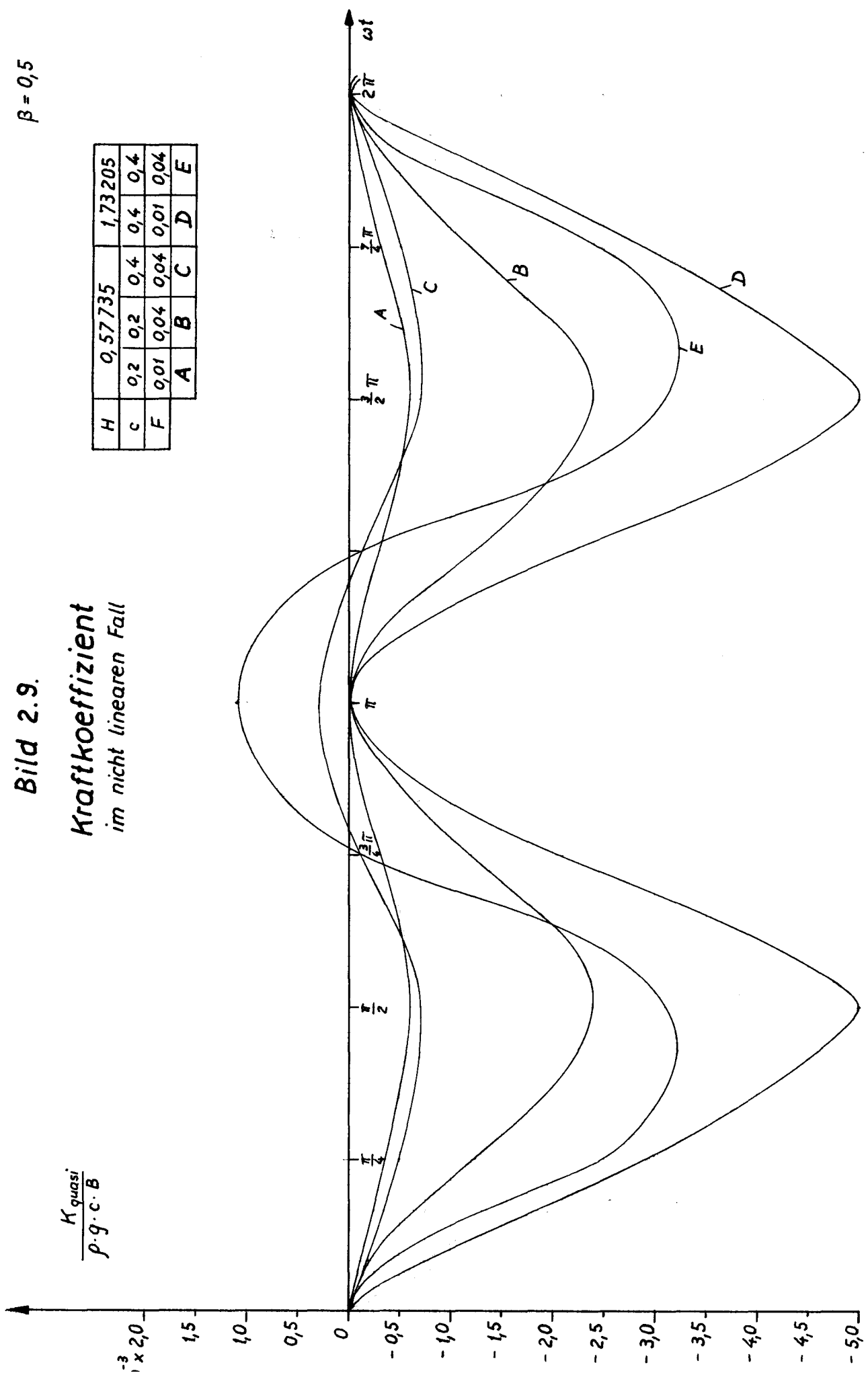


Bild 2.10.

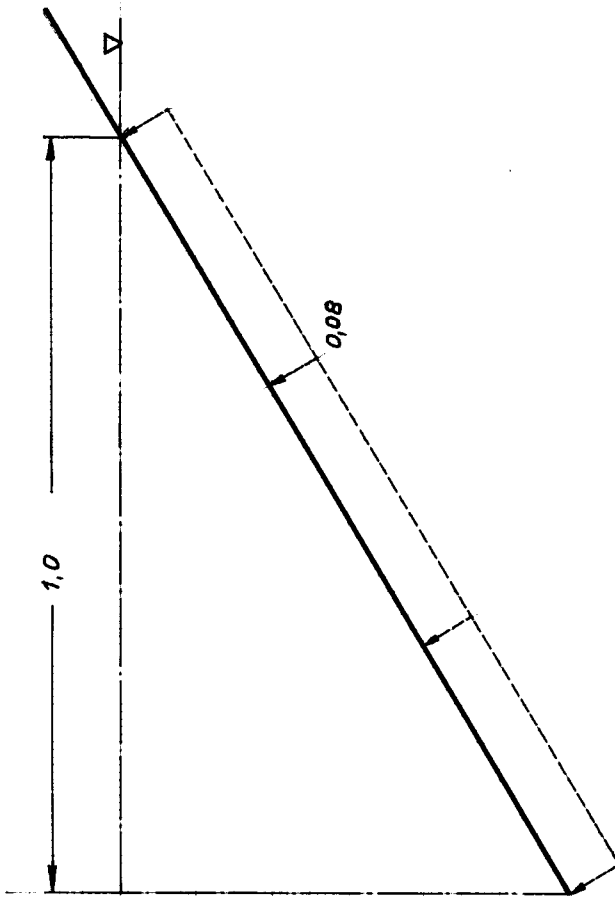
Druckverteilung $\frac{P_{inst}}{\rho \cdot g \cdot c}$

im linearen Fall

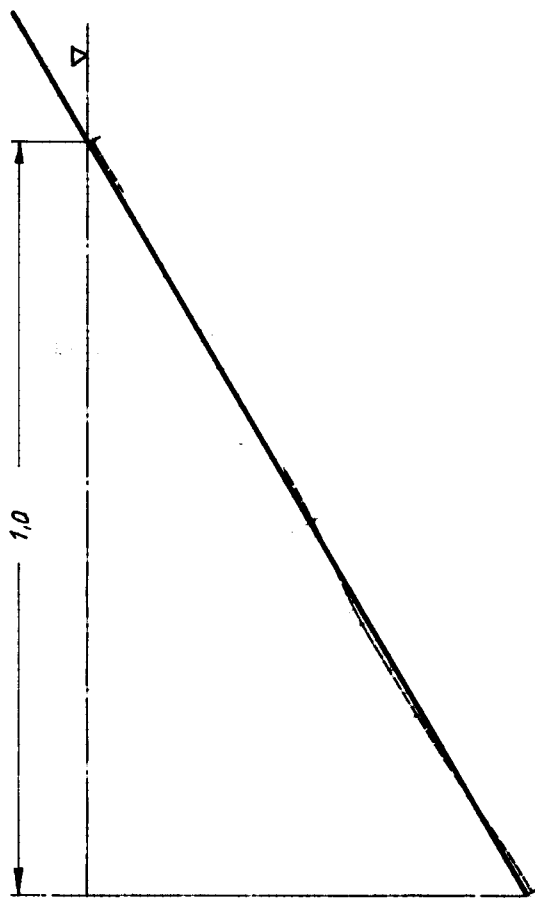
$$H = 173205$$

$$F = 0,04$$

$$\omega t = \frac{3}{2} \sqrt{\pi}$$



$$\omega t = \frac{7}{4} \sqrt{\pi}$$



$$\frac{K_{inst}}{\rho \cdot g \cdot c \cdot B} = \frac{2}{B} \int_0^{B/2} \left(\frac{P_{inst}}{\rho \cdot g \cdot c} \right) dx = 0,08$$

Bild 2.11.

Druckverteilung

$$\frac{P_{inst}}{\rho g c}$$

im nicht linearen Fall

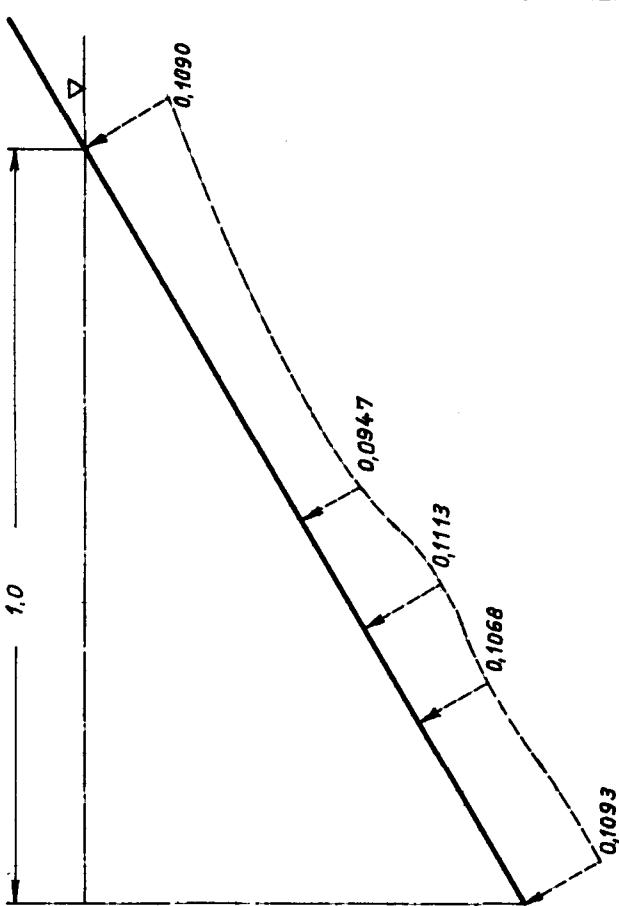
$$H = 1,73205$$

$$c = 0,4$$

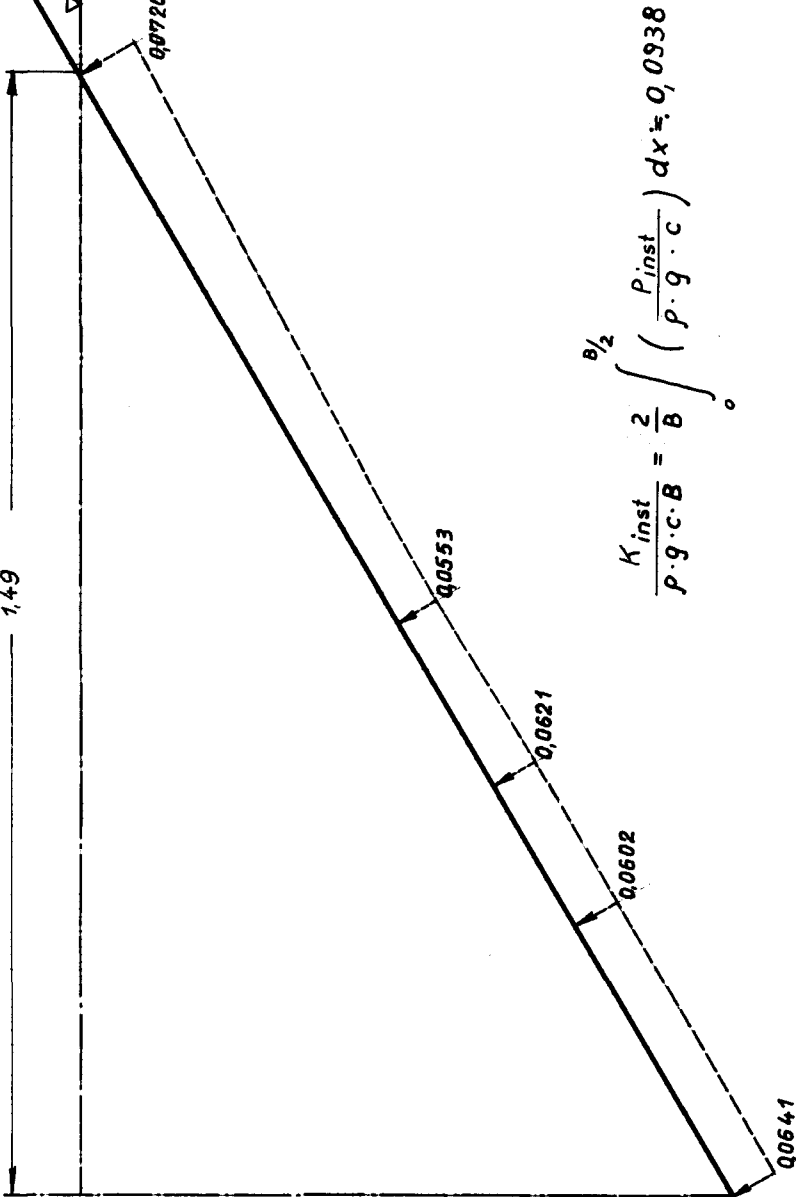
$$F = 0,04$$

$$\omega t = \frac{7}{4}\pi$$

$$\omega t = \frac{3}{2}\pi$$



$$\frac{K_{inst}}{\rho \cdot g \cdot c \cdot B} = \frac{2}{B} \int \left(\frac{P_{inst}}{\rho \cdot g \cdot c} \right) dx \approx 0,108$$



$$\frac{K_{inst}}{\rho \cdot g \cdot c \cdot B} = \frac{2}{B} \int \left(\frac{P_{inst}}{\rho \cdot g \cdot c} \right) dx \approx 0,0938$$

3. Annähernde numerische Lösung für die nicht lineare Tauchbewegung für kleine ν .

3.1. Einleitung.

Eine der wichtigsten Voraussetzungen für die Lösung der linearen Tauchbewegung in glattem Wasser ist die linearisierte Randbedingung des tauchbewegenden Körpers, d.h. die Erfüllung der Randbedingung der Potentialströmung an der Oberfläche des Körpers in der Mittellage der Schwingung.

Wenn die Tauchbewegung nicht linear ist, bzw. die Amplitude groß ist, dann muß die Randbedingung der Strömung an der rein sinusförmig bewegten Oberfläche des Körpers, der nicht wie im linearen Fall in der Mittellage bleibt, erfüllt werden.

Dieses nicht lineare Problem soll mit einer Näherungsmethode untersucht werden.

Die theoretisch entwickelten Formeln sind auf ALGOL programmiert und von der TR4 im Rechenzentrum der Universität Hamburg berechnet worden. Das Programm ist im Anhang A angegeben. Als Beispiele sind die gleichen mathematischen Modelle wie in Kapitel 2 benutzt worden.

3.2. Komplexes Potential.

Um die nichtlinearen Randbedingungen numerisch erfüllen zu können, kombiniert man die den höheren Ordnungen der Schwingung entsprechenden Potentiale mit dem Grimschen Potential. Da in dem komplexen Potential des asymptotischen Falles (Kapitel 2) die Zeit t durch die Funktion $F_n(t)$ in den Quellpotentialen höherer Ordnung enthalten ist und damit die nichtlinearen Randbedingungen gut erfüllt wurden, wurde nun auch für endliche Frequenzen eine analoge Zeitfunktion beibehalten. Vergleichsrechnungen, die auch mit harmonischen Zeitfunktionen ausgeführt wurden, konvergierten schlechter.

$$\begin{aligned}
 \Phi + i\Psi = U & \left\{ e^{i\omega t} \left[A_{01} \lim_{\mu \rightarrow 0} \int_0^\infty \frac{e^{ik(x+iy)}}{k-\nu+i\mu} dk \right. \right. \\
 & + \sum_{n=1}^{N-1} A_{n1} \left(\frac{f_n(t)}{(x+iy)^{2n}} - \frac{i\nu G_{n1}(t)}{(x+iy)^{2n-1}(2n-1)} \right) \\
 & + e^{i2\omega t} \left[A_{02} \lim_{\mu \rightarrow 0} \int_0^\infty \frac{e^{ik(x+iy)}}{k-4\nu+i\mu} dk \right. \\
 & + \sum_{n=1}^{N-1} A_{n2} \left(\frac{f_n(t)}{(x+iy)^{2n}} - \frac{i4\nu G_{n2}(t)}{(x+iy)^{2n-1}(2n-1)} \right) \\
 & + e^{i3\omega t} \left[A_{03} \lim_{\mu \rightarrow 0} \int_0^\infty \frac{e^{ik(x+iy)}}{k-9\nu+i\mu} dk \right. \\
 & \left. \left. + \sum_{n=1}^{N-1} A_{n3} \left(\frac{f_n(t)}{(x+iy)^{2n}} - \frac{i9\nu G_{n3}(t)}{(x+iy)^{2n-1}(2n-1)} \right) \right] \right\}
 \end{aligned}$$

wobei die Funktionen $f_n(t)$ und $G_{ns}(t)$
wie folgt definiert werden:

$$\begin{aligned}
 f_n(t) &= \left[1 + \frac{c}{b} \sin(\omega t) \right]^{2n+1} \\
 G_{ns}(t) &= f_n(t) - \frac{2i}{s\omega} f'_n(t) - \frac{f''_n(t)}{s^2 \omega^2} , \quad s = 1, 2, 3
 \end{aligned}$$

und die Symbole folgendes bedeuten:

$A_{01}, A_{n1}, A_{02}, A_{n2}$	Unbekannte
U	Amplitude der Schwingungsgeschwindigkeit
c	Amplitude der Tauchbewegung
b	Tiefgang des Profils
ω	Kreisfrequenz der Schwingung
ν	Wellenzahl

Geschwindigkeitspotential ϕ und Stromfunktion ψ
werden in die folgenden Formen gebracht.

$$\begin{aligned}\phi = U \cdot \sum_{S=1}^3 \sum_{n=0}^{N-1} (A_{ns})_r & \left[\cos(swt) (\phi_{ns})_r - \sin(swt) \cdot (\phi_{ns})_i \right] \\ & + (A_{ns})_i \left[-\cos(swt) (\phi_{ns})_i - \sin(swt) \cdot (\phi_{ns})_r \right]\end{aligned}\quad (1)$$

$$\begin{aligned}\psi = U \cdot \sum_{S=1}^3 \sum_{n=0}^{N-1} (A_{ns})_r & \left[\cos(swt) (\psi_{ns})_r - \sin(swt) \cdot (\psi_{ns})_i \right] \\ & + (A_{ns})_i \left[-\cos(swt) (\psi_{ns})_i - \sin(swt) \cdot (\psi_{ns})_r \right]\end{aligned}\quad (2)$$

Die obigen Teilpotentiale und Teilstromfunktionen werden, analog wie in Kapitel 1, ausgedrückt:

$$\begin{aligned}\phi_{ns} + i\psi_{ns} &= \phi_{os} + i\psi_{os} + \sum_{n=1}^{N-1} (\phi_{ns} + i\psi_{ns}) \\ &= \lim_{\mu \rightarrow 0} \int_0^\infty \frac{e^{ik(x+iy)}}{k - s^2\nu + i\mu} dk \\ &+ \sum_{n=1}^{N-1} \left[\frac{f_n(t)}{(x+iy)^{2n}} - \frac{is^2\nu G_{ns}(t)}{(2n-1)(x+iy)^{2n-1}} \right]\end{aligned}$$

wobei das der Grundschwingung entsprechende Wellenquellpotential $[\phi_{o1} + i\psi_{o1}]$ in Kapitel 1 ausführlich angegeben ist, und die den höheren Schwingungsordnungen entsprechenden Wellenpotentiale $(\phi_{o2} + i\psi_{o2})$ und $(\phi_{o3} + i\psi_{o3})$ analog wie $(\phi_{o1} + i\psi_{o1})$ geschrieben werden können.

Die Buchstaben r und i bezeichnen je den realen und den imaginären Teil der Geschwindigkeitspotentiale und Stromfunktionen.

Das komplexe Potential $(\phi + i\psi)$ erfüllt die Bedingung der Kontinuität und die linearisierte Randbedingung an der freien Wasseroberfläche.

$$\left(\phi_{tt} - g \phi_y \right) = 0 \quad \text{für } y = 0$$

Die Randbedingung der Potentialströmung lautet wie folgt:

$$\psi_{ist} = U x \cos(\omega t) \quad (3)$$

Die $6 \times N$ unbekannten Koeffizienten $(A_{ns})_r$ und $(A_{ns})_i$ werden durch die Erfüllung der Bedingung der Strömung d.h.

$$\psi = \psi_{ist} \quad (4)$$

bestimmt.

3.3. Hydrodynamische Kräfte.

Da die Koeffizienten bzw. das Geschwindigkeitspotential bestimmt worden sind, berechnet man nun die hydrodynamischen Drücke am Profilrand zu einem beliebigen Zeitpunkt. Dann erhält man die entsprechenden hydrodynamischen Kräfte durch die Integrierung der Drücke entlang des Profils.

Die gesamten hydrodynamischen Drücke sind, wie in Kapitel 2, errechnet worden. Der instationäre Druck wird einfach in folgender Form dargestellt:

$$\rho \frac{\partial \phi}{\partial t} = \rho \omega U \sum_{s=1}^3 \sum_{n=1}^{N-1} s \left\{ (A_{ns})_r \left[-\sin(s\omega t) (\phi_{ns})_r - \cos(s\omega t) (\phi_{ns})_i \right] \right. \\ \left. + (A_{ns})_i \left[\sin(s\omega t) (\phi_{ns})_i - \cos(s\omega t) (\phi_{ns})_r \right] \right\}$$

Aber für den quasistationären Druck

$-\frac{1}{2} \rho (\nabla \phi)^2$ müssen zuerst die Komponenten der Geschwindigkeit errechnet werden:

$$\frac{\partial \phi}{\partial x} = U \operatorname{Re} \left\{ \sum_{s=1}^3 \sum_{n=1}^{N-1} \left(e^{iswt} \cdot A_{ns} \cdot \frac{\partial \phi_{ns}}{\partial x} \right) \right\}$$

$$\frac{\partial \phi}{\partial y} = U \operatorname{Re} \left\{ \sum_{s=1}^3 \sum_{n=1}^{N-1} \left(e^{iswt} \cdot A_{ns} \cdot \frac{\partial \phi_{ns}}{\partial y} \right) \right\}$$

wobei man die Komponenten $\frac{\partial \phi_{ns}}{\partial x}$ und $\frac{\partial \phi_{ns}}{\partial y}$ in folgender Weise erhält:

$$\text{Da } \phi_{os} = \lim_{\mu \rightarrow 0} \int_0^\infty \frac{e^{-ky} \cos kx}{k - s\nu + i\mu} dk$$

$$\psi_{os} = \lim_{\mu \rightarrow 0} \int_0^\infty \frac{e^{-ky} \sin kx}{k - s\nu + i\mu} dk$$

$$\phi_{ns} + i\psi_{ns} = \frac{e^{-i2 \cdot n \varphi} f_n(t)}{r^{2n}} - \frac{i s v e^{-i(2n-1)\varphi} \cdot G_{ns}(t)}{(2n-1)r^{2n-1}}$$

ergibt sich durch Differentiation:

$$\frac{\partial \phi_{os}}{\partial x} = - \frac{x}{x^2 + y^2} - s^2 \nu \psi_{os}$$

$$\frac{\partial \phi_{os}}{\partial y} = - \frac{y}{x^2 + y^2} - s^2 \nu \phi_{os}$$

$$\frac{\partial \phi_{ns}}{\partial x} = - \frac{2n \cdot \cos[(2n+1)\varphi] \cdot f_n(t)}{r^{2n+1}} + \frac{s^2 \nu \cdot \sin(2n\varphi) \cdot G_{ns}(t)}{r^{2n}}$$

$$\text{und } \frac{\partial \phi_n}{\partial y} = - \frac{2n \cdot \sin[(2n+1)\varphi] \cdot f_n(t)}{r^{2n+1}} - \frac{s^2 \nu \cdot \cos(2n\varphi) \cdot G_{ns}(t)}{r^{2n}}$$

Die hydrodynamische Kraft K lautet wie folgt:

$$K = 2\rho \int_0^{B/2} -\frac{\partial \phi}{\partial t} dx - \rho \int_0^{B/2} (\nabla \phi)^2 dx$$

wobei $B/2$ die Halbbreite des Körpers zu beliebigem Zeitpunkt an der x-Achse bezeichnet.

3.4. Numerische Lösung.

3.4.1. Darstellung des Profils.

Weil für die Randbedingung $\psi_{ist} = Ux \cos \omega t$ vorausgesetzt ist, muß das Profil in der folgenden Form dargestellt werden:

$$r_p = \frac{b + c \cdot \sin(\omega t)}{\sin \theta + a \cdot \cos \theta} \quad (5)$$

wobei **b** Tiefgang des Profils in der Mittellage, **c** Amplitude und **a** Verhältnis von Tiefgang und Halbbreite in der Mittellage bezeichnet.

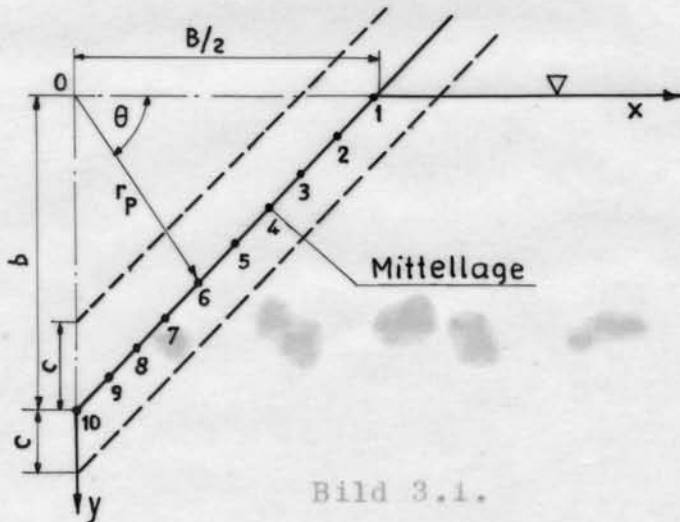


Bild 3.1.

3.4.2. Bestimmung der unbekannten Koeffizienten.

Hier wird die Beziehung (4) ausführlich wiederholt:

$$\begin{aligned} & \sum_{s=1}^3 \sum_{n=0}^{N-1} \left\{ (A_{ns})_r \left[\cos(s\omega t) \cdot (\psi_{ns})_r - \sin(s\omega t) \cdot (\psi_{ns})_i \right] \right. \\ & \quad \left. + (A_{ns})_i \left[-\cos(s\omega t) \cdot (\psi_{ns})_i - \sin(s\omega t) \cdot (\psi_{ns})_r \right] \right\} \\ & = x \cdot \cos(\omega t) \end{aligned} \quad (4)$$

Um die $6 \times N$ Unbekannten $(A_{ns})_r$ und $(A_{ns})_i$ zu bestimmen, muß man $6 \times N$ lineare Gleichungen, deren Determinante nicht verschwinden darf, bauen.

Für diesen Zweck wählt man zuerst 6 Positionen der Schwingung, die den Zeitpunkten $\omega t = 0, \frac{\pi}{4}, \frac{3\pi}{4}, \pi, \frac{5\pi}{4}$ und $\frac{3\pi}{2}$ entsprechen. Dann teilt man die benetzte Länge des Profils in jeder Position durch die Radien, die von der gleichen Teilung des Winkels $\frac{\pi}{2}$ durch neun erhalten werden. Somit werden zehn Punkte am Profilrand bestimmt (siehe Bild 3.1.). Die Koordinaten der fünf Punkte 1, 3, 5, 7, 9 des Profils von jeder Position werden in die Beziehung (4) eingesetzt und damit kann man 30 lineare Gleichungen, deren Determinante nicht zu klein werden wird, bauen.

Damit erhält man das Geschwindigkeitspotential, das nun an den Punkten 1, 3, 5, 7 und 9 in jeder der sechs Positionen $\omega t = 0, \frac{\pi}{4}, \frac{3\pi}{4}, \pi, \frac{5\pi}{4}$ und $\frac{3\pi}{2}$ die Randbedingung (4) genau erfüllt (siehe Bild 3.2.).

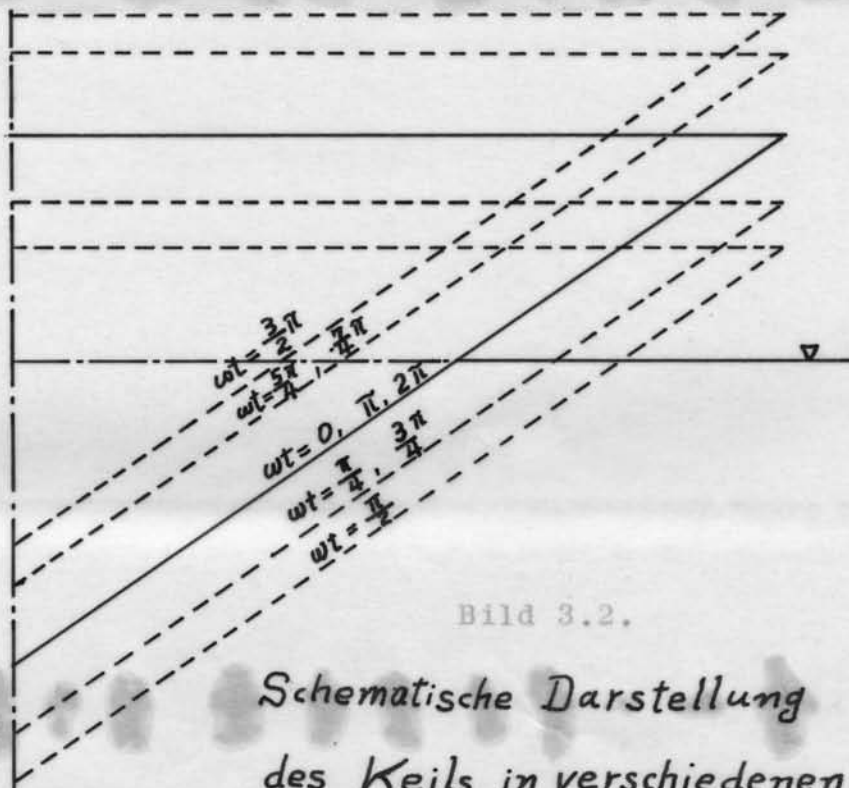


Bild 3.2.

Schematische Darstellung
des Keils in verschiedenen
Positionen

3.4.3: Hydrodynamische Kräfte.

Von dem oben erhaltenen Geschwindigkeitspotential kann man einfach die hydrodynamischen Drücke an den Punkten 1, 2, 3, ..., 10 für jede Position berechnen.

Die Verteilung der hydrodynamischen Kräfte im Gebiet einer Periode der Schwingung sind harmonisch analysiert, d.h.

$$\frac{K}{\rho \cdot g \cdot c \cdot B} = \alpha_0 + \alpha_1 \cos(\omega t) + \alpha_2 \sin(\omega t) \\ + \alpha_3 \cos(2\omega t) + \alpha_4 \sin(2\omega t) \\ + \alpha_5 \cos(3\omega t) + \alpha_6 \sin(3\omega t)$$

wobei die Koeffizienten α in folgenden Formen dar gestellt werden:

$$\begin{aligned}\alpha_0 &= \frac{1}{4} (F_2 + F_3 + F_5 + F_7) \\ \alpha_1 &= \frac{1}{4} (F_1 - F_2) + \frac{1}{5 \cdot 656} (F_2 - F_3 - F_5 + F_7) \\ \alpha_2 &= \frac{1}{4} (-F_1 + F_2 + F_3 - F_4 + F_5 - 2F_6 + F_7) \\ &\quad + \frac{1}{5 \cdot 656} (F_2 + F_3 - F_5 - F_7) \\ \alpha_3 &= \frac{1}{4} \cdot (2F_1 - F_2 - F_3 + 2F_4 - F_5 - F_7) \\ \alpha_4 &= \frac{1}{4} \cdot (F_2 - F_3 + F_5 - F_7) \\ \alpha_5 &= \frac{1}{4} (F_1 - F_4) + \frac{1}{5 \cdot 656} (-F_2 + F_3 + F_5 - F_7) \\ \alpha_6 &= \frac{1}{4} (F_1 - F_2 - F_3 + F_4 - F_5 + 2F_6 - F_7) \\ &\quad + \frac{1}{5 \cdot 656} (F_2 + F_3 - F_5 - F_7)\end{aligned}$$

wobei F_1, F_2, \dots, F_7 je den Kraftkoeffizienten $\left(\frac{K}{\rho \cdot g \cdot c \cdot B}\right)$ einer jeden Position bezeichnen.

3.4.4. Fehlerkontrolle.

a) Fehler in der Randbedingung am Körper.

Da durch den Ansatz (4) die Randbedingung nur in den Punkten 1, 3, 5, 7 und 9 zu den vorgegebenen Zeitpunkten exakt erfüllt wird, gibt die Abweichung der Stromfunktion von dem vorgeschriebenen Wert an den Punkten 2, 4, 6, 8 und 10 eine Kontrolle. Diese Fehler in der Erfüllung der Randbedingung werden in jedem Fall berechnet.

Nach dem Studium dieses Fehlers für verschiedene Unterteilungen wurde die in Absatz 3.4.2. erklärte Unterteilung als die relativ beste ausgewählt.

b) Gesamtdruck und "Taucht aus".

Da im nicht linearen Fall die Wasseroberfläche die Profilkontur nicht in dem Punkt 1 trifft, wurde, um ein Urteil hierüber zu bekommen, auch der Gesamtdruck an den Punkten 1 bis 10 berechnet:

$$\text{Gesamtdruck} = \text{hydrodynamischer Druck} + \text{hydrostatischer Druck}.$$

Da, wo dieser Gesamtdruck gleich dem atmosphärischen Druck ist, ist der Schnittpunkt zwischen der Profilkontur und der Wasseroberfläche. Die Integration des Druckes über dx zur Bestimmung der hydrodynamischen Kraft wurde nur bis zu diesem Punkt geführt.

Wenn der Gesamtdruck an allen Punkten 1 bis 10 kleiner als der atmosphärische Druck blieb, wurde im Rechenprogramm der Schreibbefehl "Taucht aus" gegeben und die weitere Rechnung für diesen Fall abgebrochen.

3.5. Darstellung der Ergebnisse.

3.5.1. $(A_{os})^{\frac{\pi}{B}}$

Die Quellenstärken der Wellenquellpotentiale A_{os} sind in dimensionsloser Form $(A_{os})^{\frac{\pi}{B}}$ in Bild 3.3.-3.6. bezeichnet. Die Stärken sind abhängig von der Frequenz und Amplitude der Schwingung und der Form des Profils.

Im nicht linearen Fall führt die benutzte Methode für den asymptotischen Fall ($\omega \rightarrow 0$) zu den gleichen Ergebnissen wie die in Kapitel 2 behandelte Methode, nämlich

$$A_{o3} = 0$$

$$A_{o1}^{\frac{\pi}{B}} = 1$$

$$A_{o2}^{\frac{\pi}{B}} = - i \cdot \frac{C}{\alpha B}$$

Für die Amplitude $\frac{C}{B} = 0,3$ beginnen die Ergebnisse bei der Frequenz $F = 0,6$ unsicher zu werden. Weitere numerische Rechnungen wären nötig, um diese Unsicherheit aufzuklären.

3.5.2. C und \bar{A} .

Koeffizient C der hydrodynamischen Masse und Amplitudenverhältnis \bar{A} sind für den linearen Fall für den Frequenzbereich $F = 0$ bis $1,4$ berechnet. Diese Werte unterscheiden sich nur wenig von den in [4] für Lewis-Profile berechneten Werten (siehe Bild 3.7. und 3.8.).

3.5.3. $\frac{K_{inst}}{\rho \cdot g \cdot c \cdot B}$

Der dimensionslose Kraftkoeffizient $\frac{K_{inst}}{\rho \cdot g \cdot c \cdot B}$ ist für das Modell $H = 1,73\ 205$, die Frequenzen $F = 0,04$ und $F = 0,4$ und für die Amplituden $\frac{2c}{B} = 0$, $0,115$, $0,2$ und $0,288$ in Bild 3.9. und 3.10. aufgetragen. In Bild 3.9. ist auch ein Ergebnis für dasselbe Modell nach der asymptotischen Lösung zum Vergleich aufgetragen.

Die Differenzen zwischen den beiden Lösungen können dadurch verursacht sein, daß die asymptotische Lösung für die endliche Frequenz $F = 0,04$ nicht mehr ausreichend genau ist.

Bild 3.3

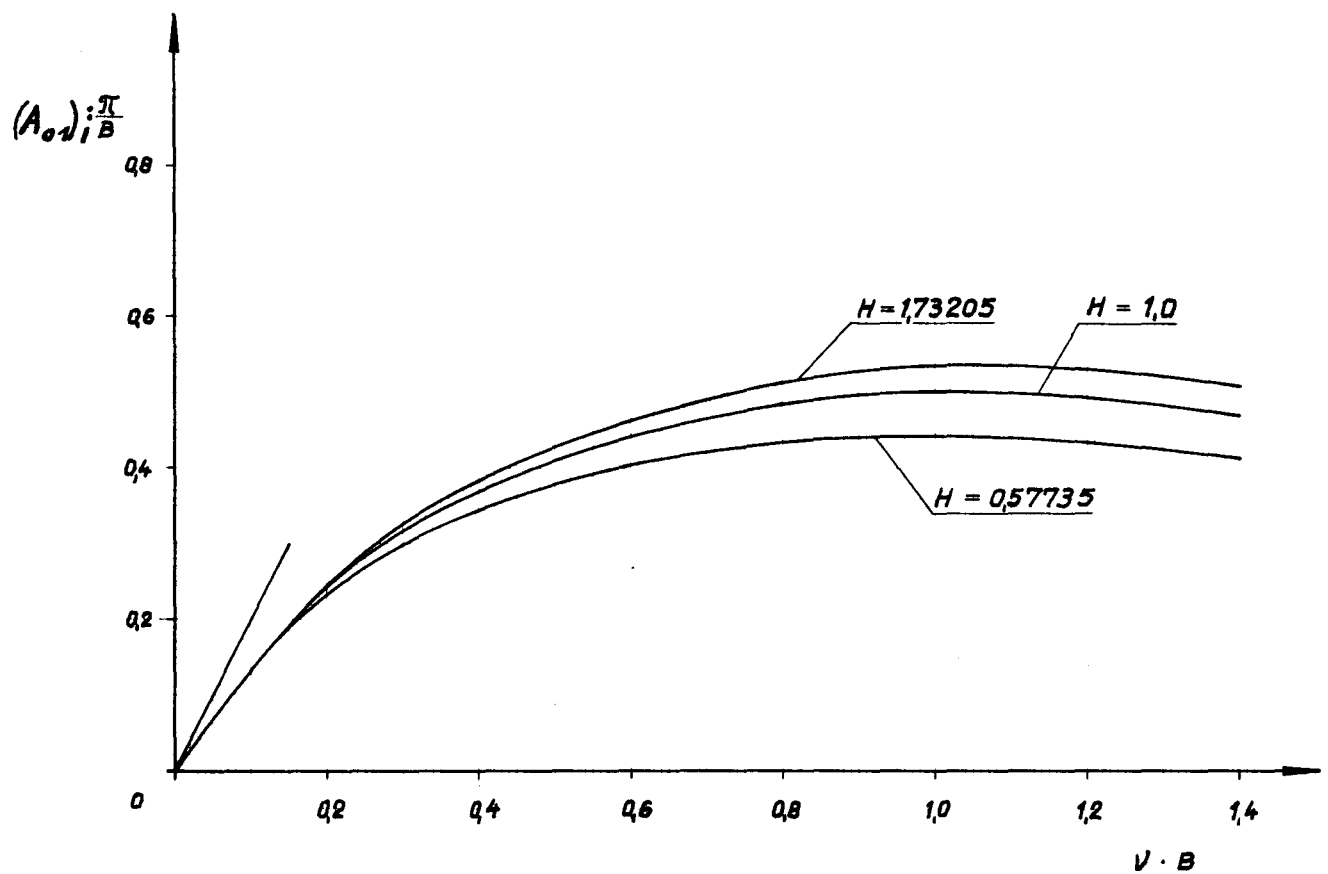
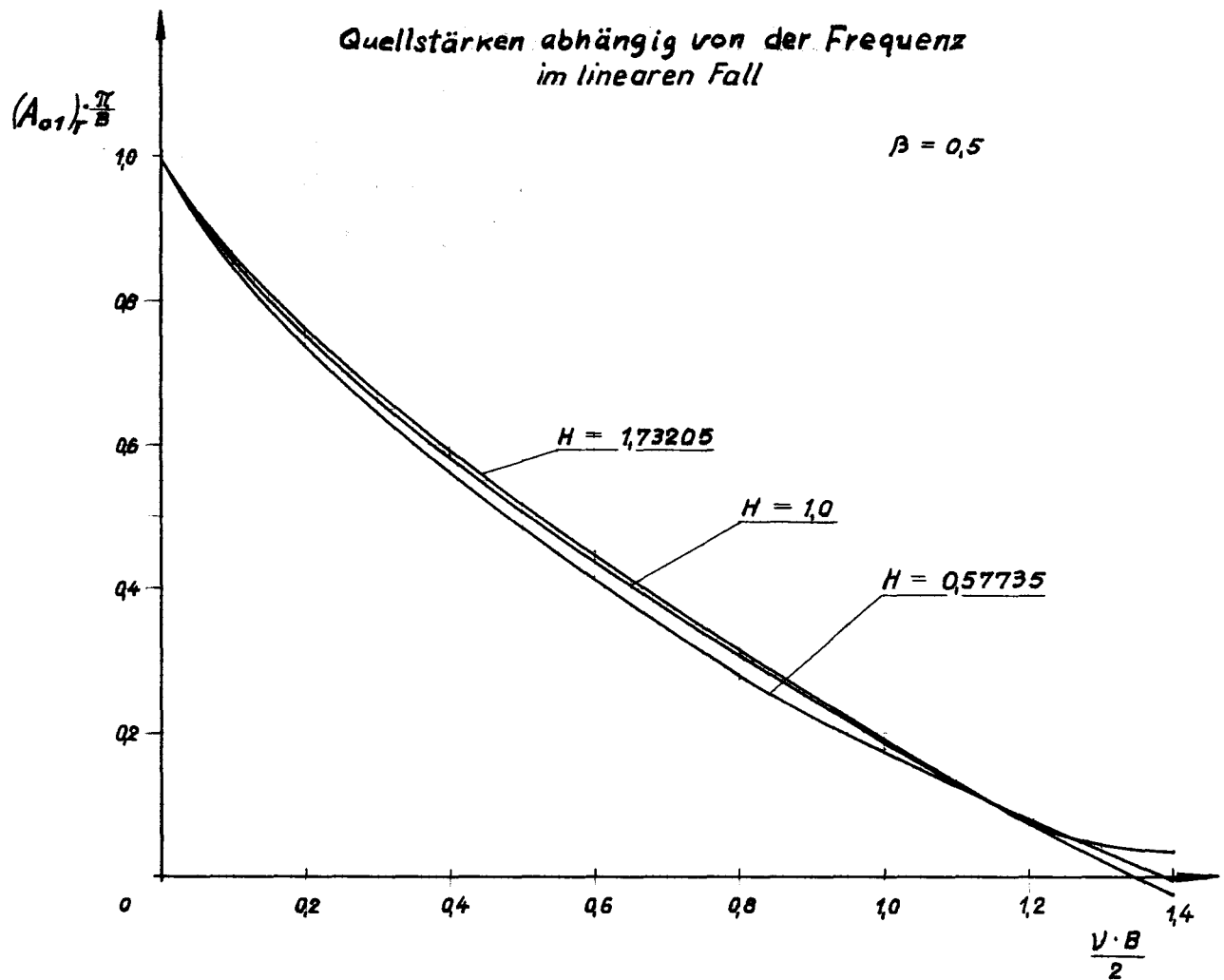


Bild 3.4

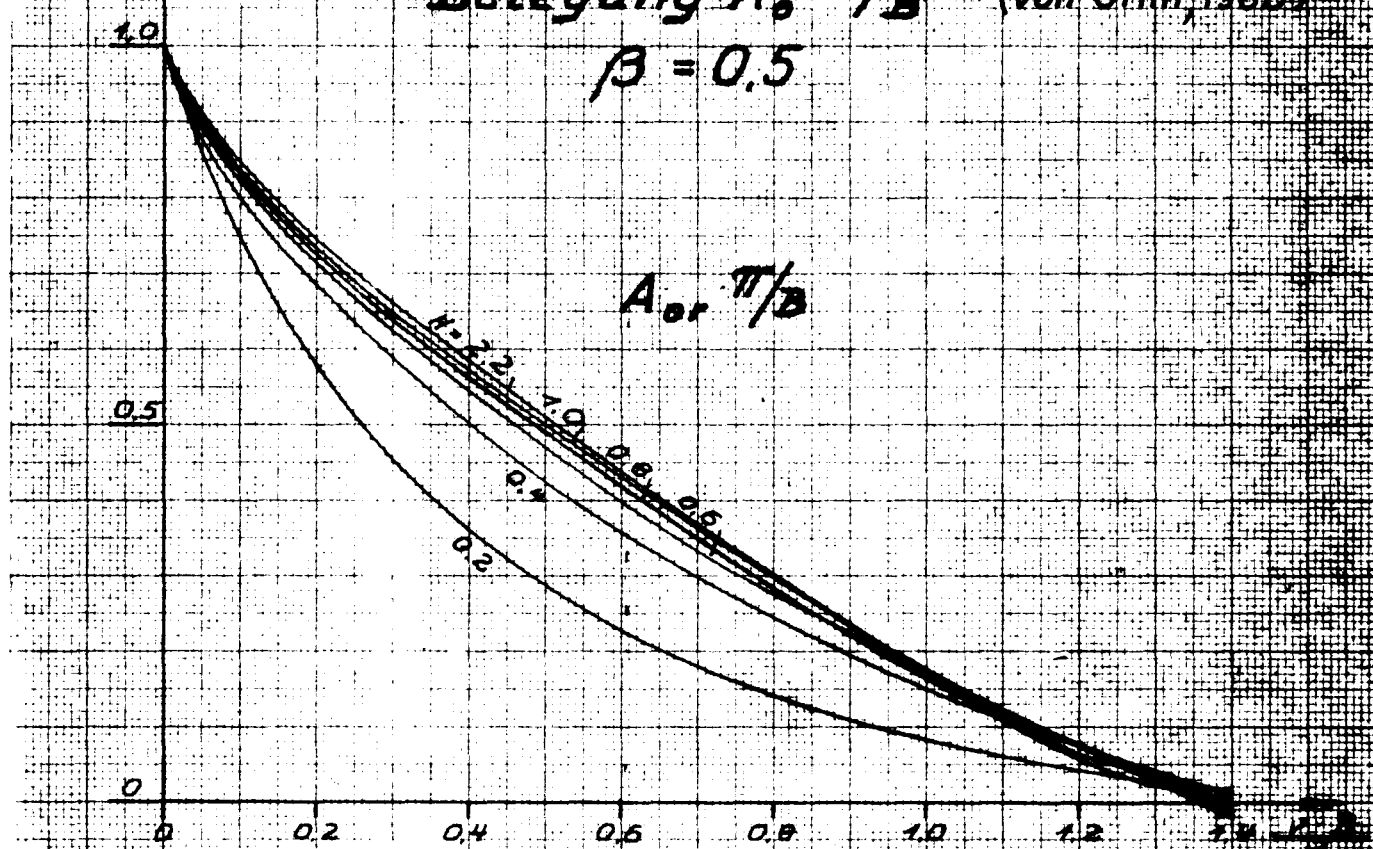
Hearing motion

Singularity distribution $A_0 \pi/B$

Tauchbewegung

Belegung $A_0 \pi/B$ (von Grim, 1960)

$$\beta = 0.5$$



$A_{0i} \pi/B$

$$H = 2.2, 1.8, 1.4, 1.2$$

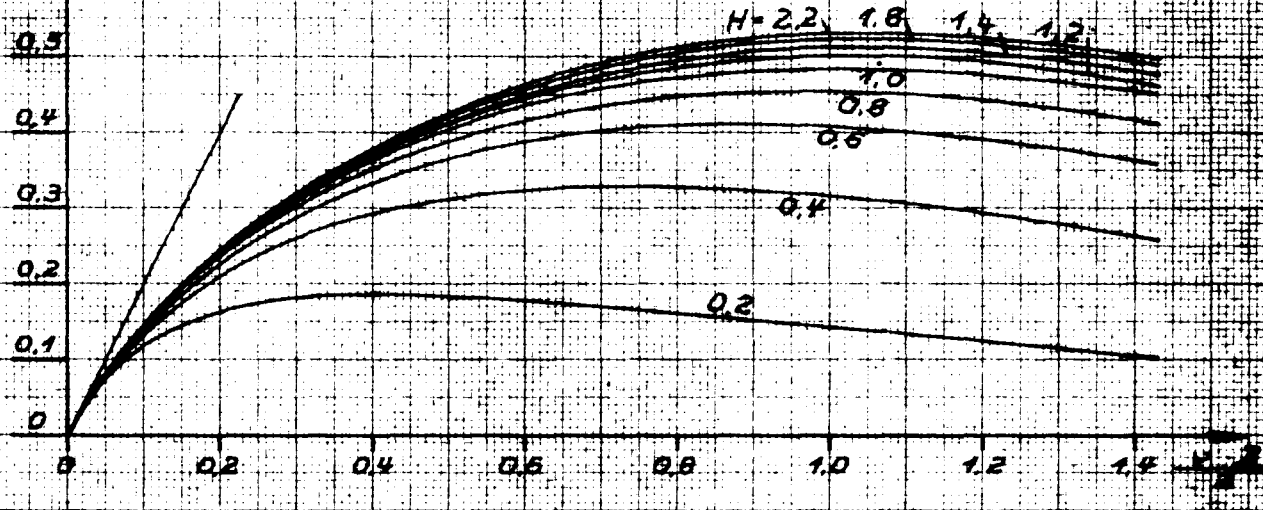


Bild 3.5

Quellstärken abhängig von

Frequenz und Amplitude: $(A_{os}) \frac{\pi}{B}$

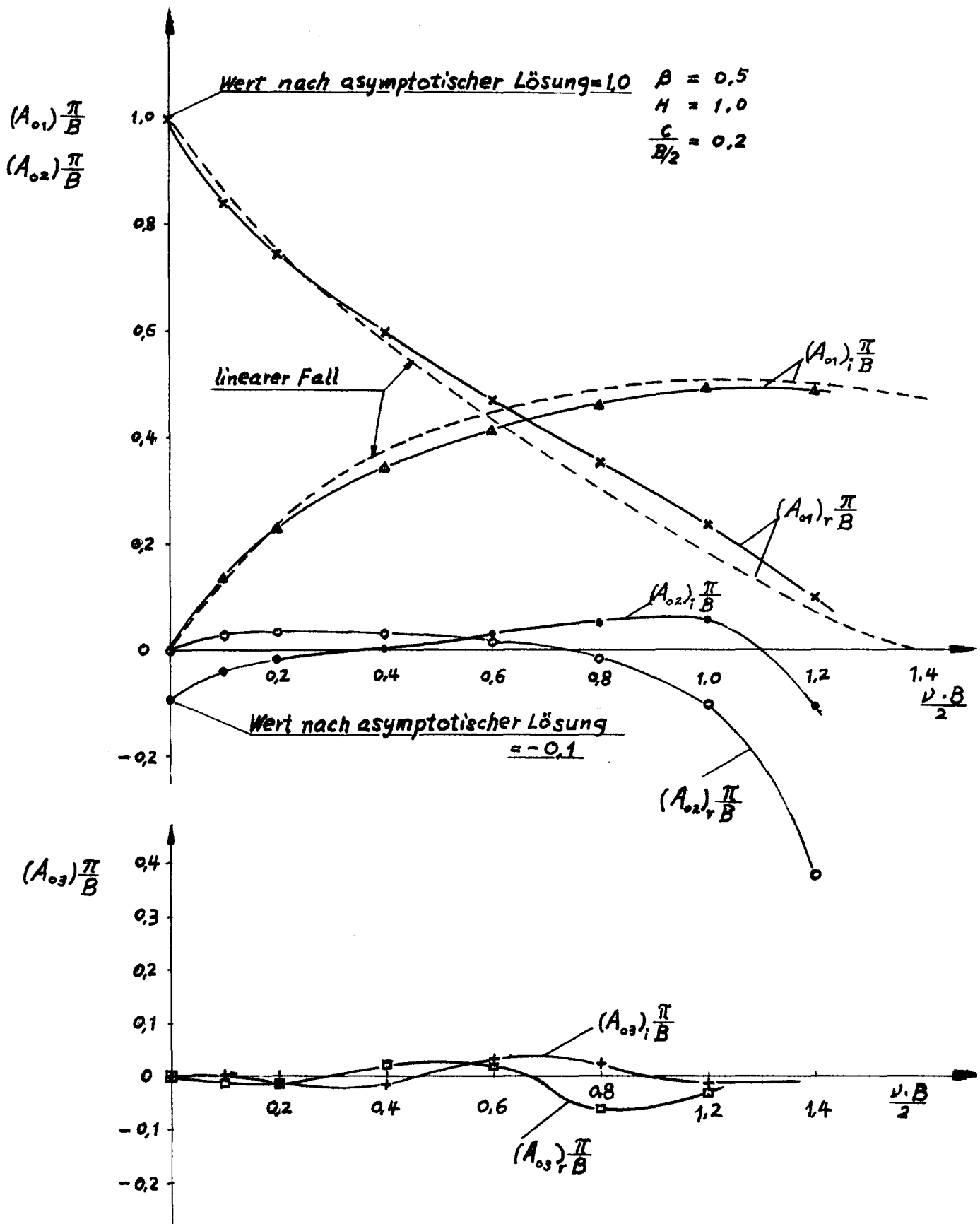


Bild 3.6
Quellstärken abhängig von

Frequenz und Amplitude: $(A_{o,i}) \frac{\pi}{B}$

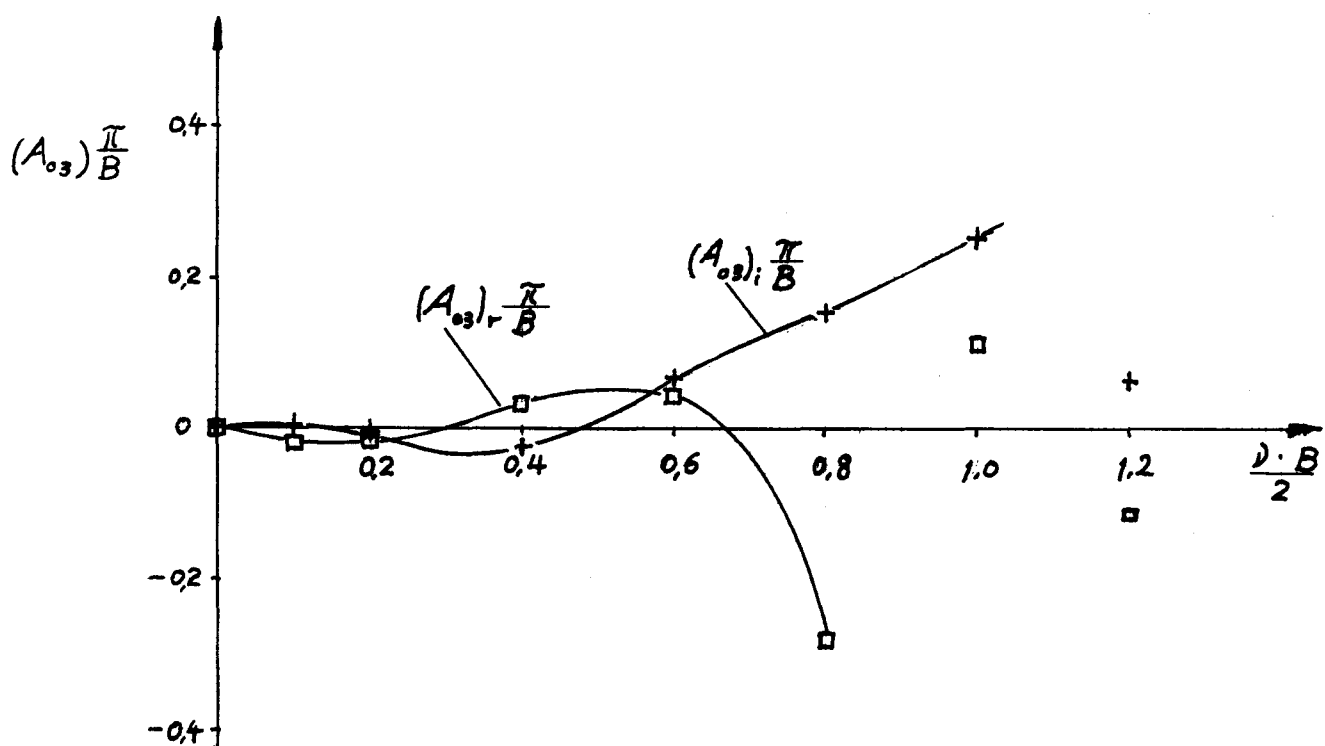
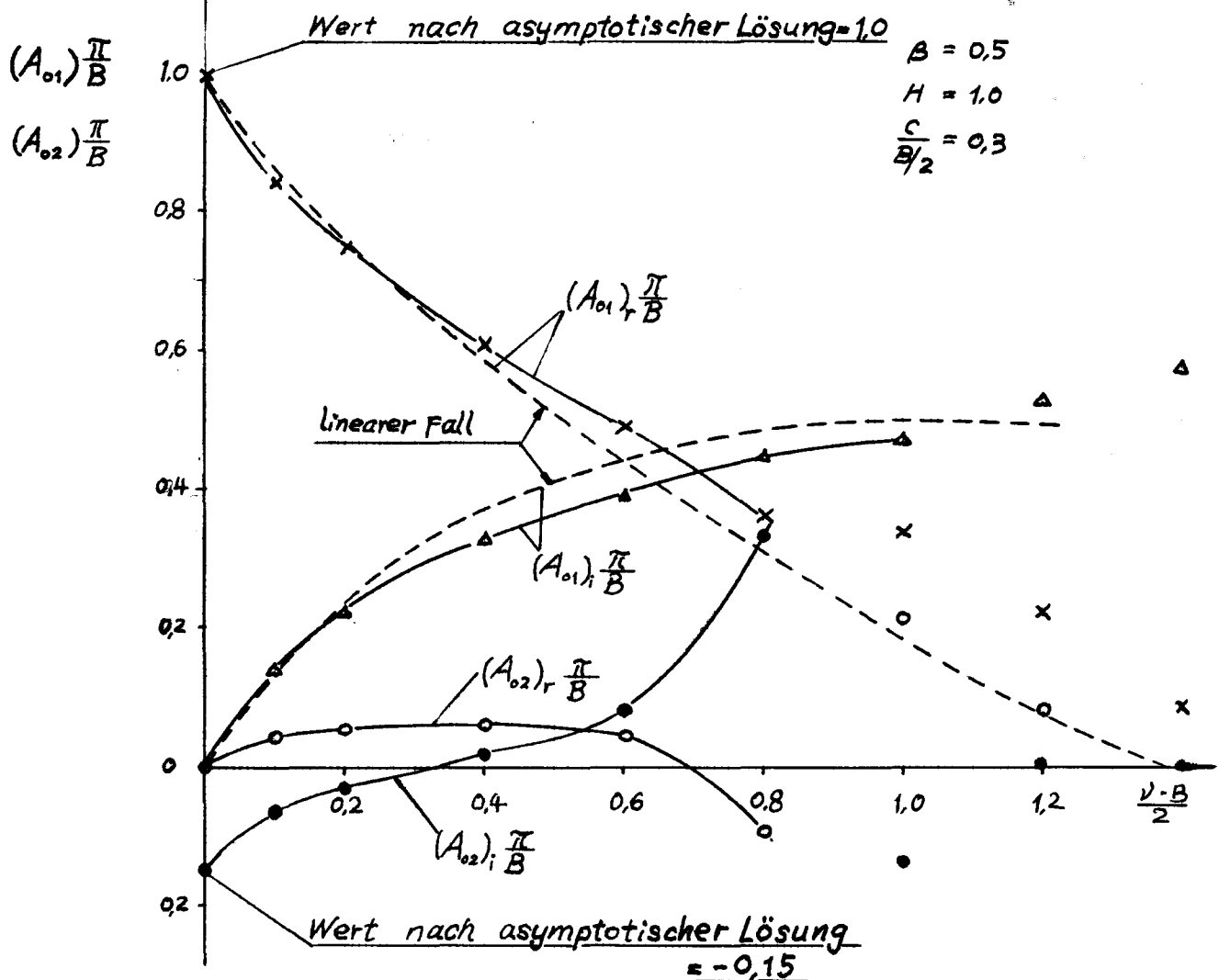


Bild 3.7

Koeffizient der hydrodynamischen Masse C

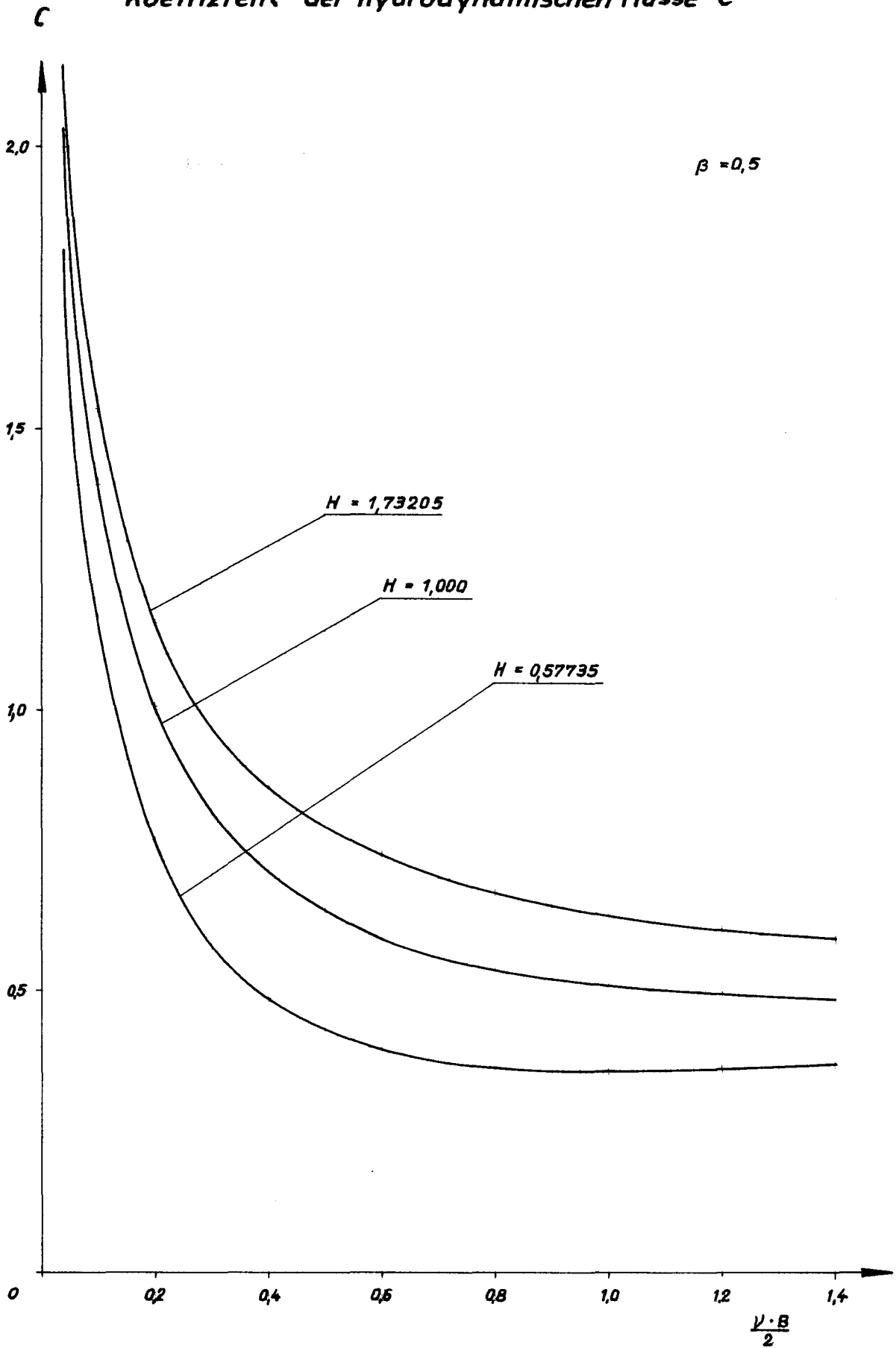


Bild 3.8
Amplitudenverhältnis \bar{A}

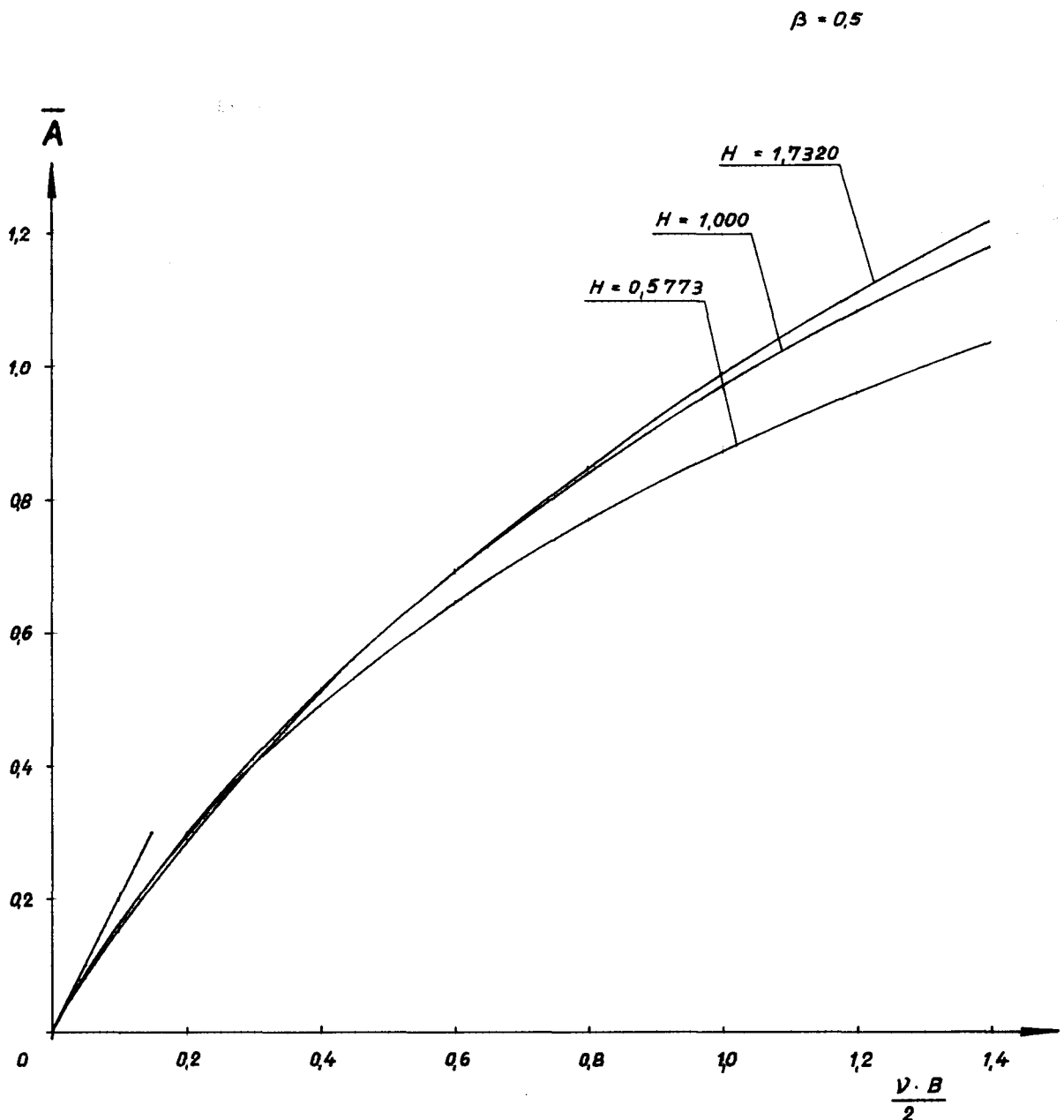


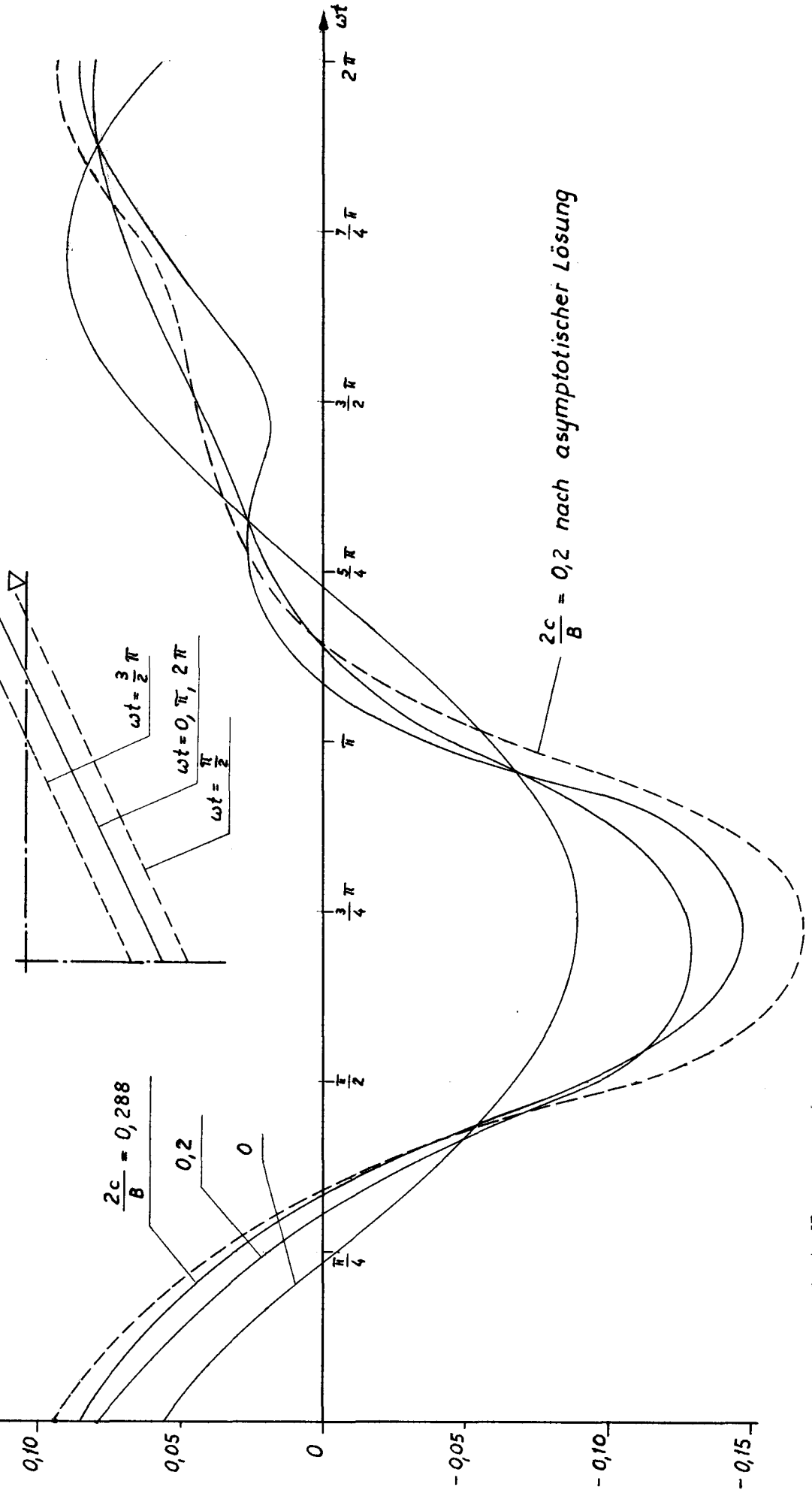
Bild 3.9

$$\frac{K_{inst}}{\rho \cdot g \cdot c \cdot B}$$

Kraftkoeffizient

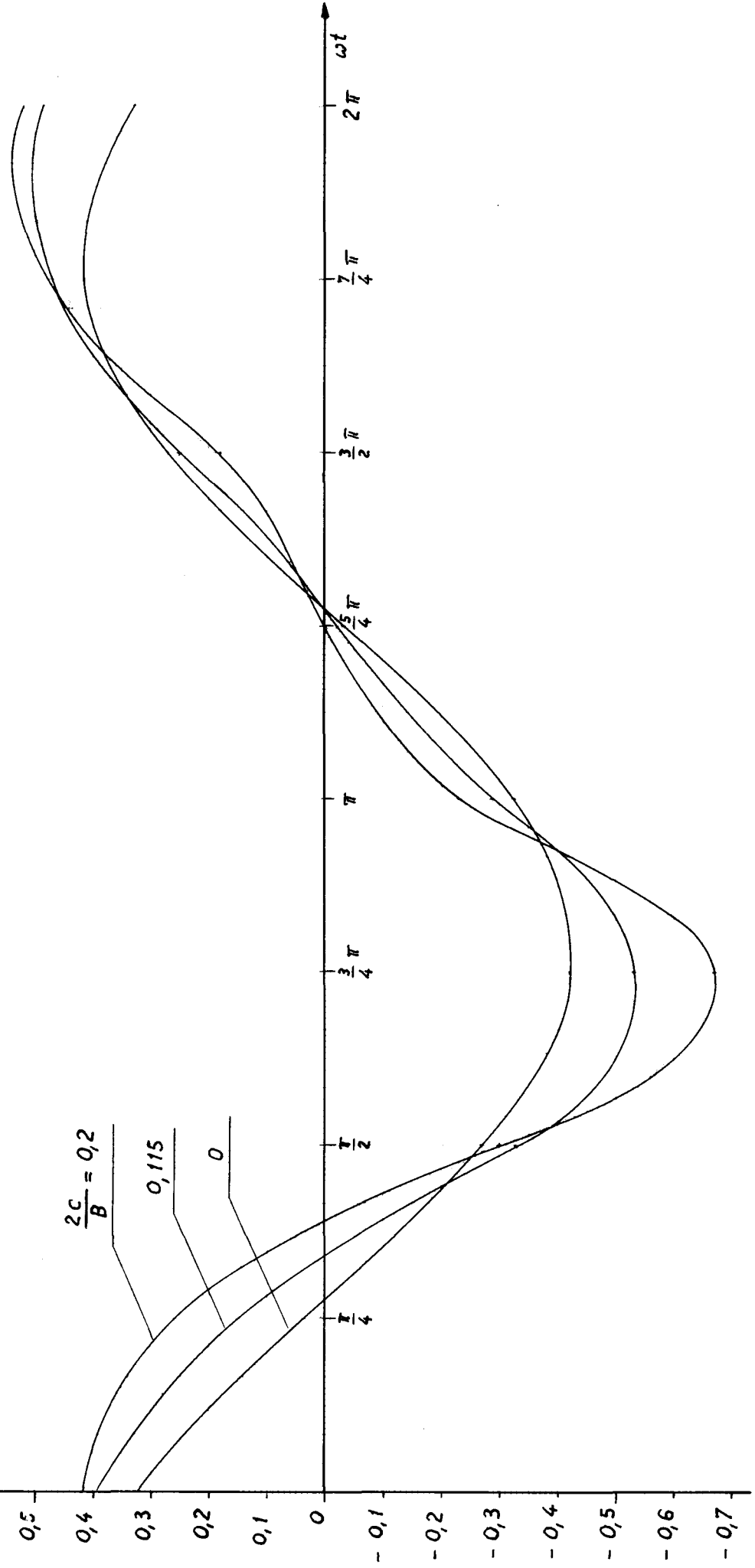
$$F = 0,04$$

$$\begin{aligned}\beta &= 0,5 \\ H &= 1,73205\end{aligned}$$





$$\begin{aligned}\beta &= 0,5 \\ H &= 1,73205\end{aligned}$$



4. Berücksichtigung der nicht linearen Glieder in der Bedingung an der freien Oberfläche.

4.1. Einleitung.

Wenn die Amplitude der Schwingung nicht klein ist, erwartet man leicht, daß die dadurch erzeugten Wellen ebenfalls nicht klein sein werden.

Im vorigen Kapitel waren aber kleine Wellen an der freien Wasseroberfläche vorausgesetzt worden.

Daher soll es unsere letzte Aufgabe sein, die nicht linearen Glieder in der Bedingung an der freien Oberfläche zu berücksichtigen. Durch eine Iteration kann man eine Korrektur d.h. ein Potential zweiter Ordnung erhalten, so daß der Fehler, welcher durch die nicht linearen Glieder in der Oberflächenbedingung für das Potential erster Ordnung entstanden ist, aufgehoben wird.

4.2. Korrekturpotential $\phi^{(2)}$

Das Geschwindigkeitspotential ϕ , welches die linearisierte Oberflächenbedingung und die nicht lineare Randbedingung auf der Oberfläche des Profils erfüllt hat, nennt man jetzt das Potential der ersten Ordnung und bezeichnet es mit $\phi^{(1)}$. Somit stellt man das ganze Potential ϕ , daß die nicht lineare Randbedingung an der Körperoberfläche und die nicht lineare Bedingung an der freien Wasseroberfläche erfüllen wird, wie folgt dar:

$$\phi = \phi^{(1)} + \phi^{(2)}$$

und in ähnlicher Weise die Stromfunktion ψ

$$\psi = \psi^{(1)} + \psi^{(2)}$$

wobei $\phi^{(2)}$ und $\psi^{(2)}$ je das Korrekturpotential und die Korrekturstromfunktion bezeichnen.

Die Iterationsformel von Wehausen [5] ist hier wiederholt.

Die linearisierte Oberflächenbedingung lautet wie folgt: (η = Verschiebung der Wasseroberfläche in vertikaler

$$\left. \begin{array}{l} \eta_t^{(1)} + \phi_y^{(1)} = 0 \\ g\eta^{(1)} + \phi_t^{(1)} = 0 \end{array} \right\} \text{für } y = 0 \quad (1)$$

durch die Elimination von $\eta^{(1)}$

$$\phi_{tt}^{(1)} - g\phi_y^{(1)} = 0 \quad \text{für } y = 0 \quad (2)$$

Das Korrekturglied d.h. das Potential zweiter Ordnung, wird in folgender Weise dargestellt:

$$\left. \begin{array}{l} \eta_t^{(2)} + \phi_y^{(2)} = -\eta^{(1)}\phi_{yy}^{(1)} + \eta_x^{(1)}\phi_x^{(1)} \\ g\eta^{(2)} + \phi_t^{(2)} = -\eta^{(1)}\phi_{ty}^{(1)} + \frac{1}{2}(\nabla\phi^{(1)})^2 \end{array} \right\} \text{für } y = 0 \quad (3)$$

und durch die Elimination von $\eta^{(2)}$ erhält man die letzte Beziehung wie folgt:

$$\phi_{tt}^{(2)} - g\phi_y^{(2)} = \frac{\partial}{\partial t}(\nabla\phi^{(1)})^2 - \phi_t^{(1)}\left(\phi_{yy}^{(1)} - \frac{1}{g}\phi_{ttx}^{(1)}\right) \quad \text{für } y = 0 \quad (4)$$

4.3. Annäherung der Iterationsformel (4).

Um die Eigenschaften der Glieder auf der rechten Seite der Beziehung (4) zu berücksichtigen, betrachten wir $\phi^{(1)}$:

Wenn x groß ist, wird unser Potential sehr kurz geschrieben d.h., es bleiben nur die abwandernden Wellen

$$\phi^{(1)} \approx U \operatorname{Re} \left\{ -i\pi(A_{o1}) \cdot e^{-vy - i(vx - \omega t)} - i\pi(A_{o2}) \cdot e^{-4vy - i(4vx - 2\omega t)} - i\pi(A_{o3}) \cdot e^{-9vy - i(9vx - 3\omega t)} \right\} \quad (5)$$

wobei die Koeffizienten (A_{o1}) , (A_{o2}) und (A_{o3}) schon in Kapitel 3 berechnet wurden.

Durch Differentiation werden die Geschwindigkeitskomponenten $\phi_x^{(1)}$ und $\phi_y^{(1)}$ in folgende Formen gebracht:

$$\begin{aligned}\phi_x^{(1)} = & -U\pi\nu \left[e^{-\nu y} \left((A_{o1})_r \cdot \cos(\nu x - \omega t) + (A_{o1})_i \cdot \sin(\nu x - \omega t) \right) \right. \\ & + 4e^{-4\nu y} \left((A_{o2})_r \cdot \cos(4\nu x - 2\omega t) + (A_{o2})_i \cdot \sin(4\nu x - 2\omega t) \right) \\ & \left. + 9e^{-9\nu y} \left((A_{o3})_r \cdot \cos(9\nu x - 3\omega t) + (A_{o3})_i \cdot \sin(9\nu x - 3\omega t) \right) \right]\end{aligned}$$

$$\begin{aligned}\phi_y^{(1)} = & U\pi\nu \left[e^{-\nu y} \left(-(A_{o1})_i \cdot \cos(\nu x - \omega t) + (A_{o1})_r \cdot \sin(\nu x - \omega t) \right) \right. \\ & + 4e^{-4\nu y} \left(-(A_{o2})_i \cdot \cos(4\nu x - 2\omega t) + (A_{o2})_r \cdot \sin(4\nu x - 2\omega t) \right) \\ & \left. + 9e^{-9\nu y} \left(-(A_{o3})_i \cdot \cos(9\nu x - 3\omega t) + (A_{o3})_r \cdot \sin(9\nu x - 3\omega t) \right) \right]\end{aligned}$$

somit

$$\begin{aligned}\left(\phi_x^{(1)2} + \phi_y^{(1)2} \right)_{y=0} = & U^2 \pi^2 \nu^2 \left\{ (A_{o1})_r^2 + (A_{o1})_i^2 + 16 \left((A_{o2})_r^2 + (A_{o2})_i^2 \right) \right. \\ & + 81 \left((A_{o3})_r^2 + (A_{o3})_i^2 \right) \\ & + 8 \left[\left((A_{o1})_r \cdot (A_{o2})_r + (A_{o1})_i \cdot (A_{o2})_i \right) \cdot \cos(3\nu x - \omega t) \right. \\ & \left. + \left((A_{o1})_r \cdot (A_{o2})_i - (A_{o2})_r \cdot (A_{o1})_i \right) \cdot \sin(3\nu x - \omega t) \right] \\ & + \dots\end{aligned}$$

$$\begin{aligned}
 & 18 \left[\left((A_{o1})_r \cdot (A_{o3})_r + (A_{o1})_i \cdot (A_{o3})_i \right) \cos (8\nu x - 2\omega t) \right. \\
 & \quad \left. + \left((A_{o1})_r \cdot (A_{o3})_i - (A_{o3})_r \cdot (A_{o1})_i \right) \sin (8\nu x - 2\omega t) \right] \\
 & + 72 \left[\left((A_{o2})_r \cdot (A_{o3})_r + (A_{o2})_i \cdot (A_{o3})_i \right) \cos (5\nu x - \omega t) \right. \\
 & \quad \left. + \left((A_{o2})_r \cdot (A_{o3})_i - (A_{o3})_r \cdot (A_{o2})_i \right) \sin (5\nu x - \omega t) \right] \quad (6)
 \end{aligned}$$

und

$$\begin{aligned}
 \frac{\partial}{\partial t} \left(\nabla \phi^{(1)} \right)^2 &= U^2 \omega \pi^2 \nu^2 \left\{ 8 \left[\left((A_{o1})_r \cdot (A_{o2})_r + (A_{o1})_i \cdot (A_{o2})_i \right) \sin (3\nu x - \omega t) \right. \right. \\
 & \quad \left. \left. - \left((A_{o1})_r \cdot (A_{o2})_i - (A_{o2})_r \cdot (A_{o1})_i \right) \cos (3\nu x - \omega t) \right] \right. \\
 & \quad \left. + 36 \left[\left((A_{o1})_r \cdot (A_{o3})_r + (A_{o1})_i \cdot (A_{o3})_i \right) \sin (8\nu x - 2\omega t) \right. \right. \\
 & \quad \left. \left. - \left((A_{o1})_r \cdot (A_{o3})_i - (A_{o3})_r \cdot (A_{o1})_i \right) \cos (8\nu x - 2\omega t) \right] \right. \\
 & \quad \left. + 72 \left[\left((A_{o2})_r \cdot (A_{o3})_r + (A_{o2})_i \cdot (A_{o3})_i \right) \sin (5\nu x - \omega t) \right. \right. \\
 & \quad \left. \left. - \left((A_{o2})_r \cdot (A_{o3})_i - (A_{o3})_r \cdot (A_{o2})_i \right) \cos (5\nu x - \omega t) \right] \right\} \quad (7)
 \end{aligned}$$

Das zweite Glied der rechten Seite (4) verschwindet für große x, d.h.

$$\left(\phi_{yy}^{(n)} - \frac{1}{9} \phi_{ttxy}^{(n)} \right) = 0 \quad \text{für das Potential (5).}$$

Von den bisherigen Ergebnissen kann man hoffen, daß das zweite Glied im ganzen Bereich der freien Wasseroberfläche vernachlässigt werden kann. Aber es ist noch nicht sicher genug, ob der Beitrag des zweiten Gliedes zur rechten Seite der Beziehung (4) in der Nähe des Körpers wirklich klein sein wird. Um diese Frage zu lösen, muß man zuerst mit Hilfe der Rechenmaschine die Werte jedes Gliedes im ganzen Bereich von x d.h., von der Wand des Körpers bis unendlich, berechnen. Das Rechenprogramm ist im Anhang B angegeben.

Die Ergebnisse der Rechnung sind in Bild 4.2. bis 4.7. aufgetragen.

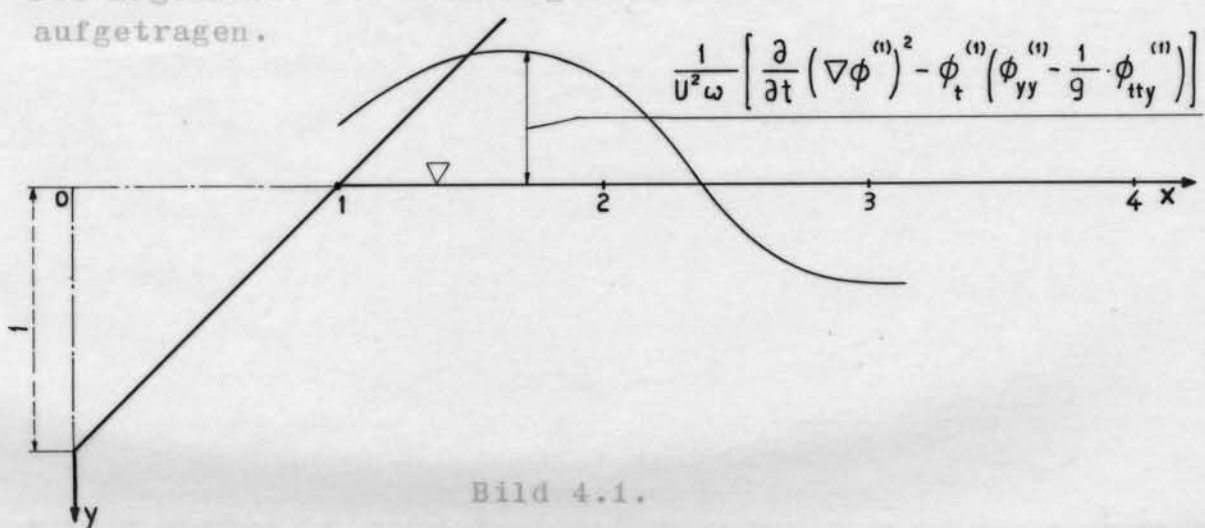


Bild 4.1.

p_t bezeichnet in den Bildern die Form

$$\frac{1}{U^2 \omega} \left[\frac{\partial}{\partial t} (\nabla \phi^{(n)})^2 - \phi_t^{(n)} \left(\phi_{yy}^{(n)} - \frac{1}{9} \phi_{ttxy}^{(n)} \right) \right],$$

welche physikalisch die Zeitableitung einer Druckverteilung in dimensionsloser Form darstellt.

Daraus ergibt sich:

- 1) Im allgemeinen sind die Werte des zweiten Gliedes im Vergleich mit den Werten des ersten Gliedes sehr klein.
- 2) je weiter die Punkte an der freien Wasseroberfläche vom Körper entfernt liegen, desto kleiner wird das zweite Glied.
- 3) daß zu seiner Berechnung der Ansatz (5) kaum eine Abweichung gegenüber dem vollständigen Ansatz $\phi^{(1)}$ bringt,
- 4) daß der Anteil der Frequenz 2ω in der Formel (7)

$$\text{d.h. } \pi^2 v^2 \cdot 36 \cdot \left[\left((A_{o1})_r \cdot (A_{o3})_r + (A_{o1})_i \cdot (A_{o3})_i \right) \sin (8vx - 2\omega t) - \left((A_{o1})_r \cdot (A_{o3})_i - (A_{o3})_r \cdot (A_{o3})_i \right) \cos (8vx - 2\omega t) \right]$$

der wesentliche Beitrag ist. (Dieser Anteil ist in den Bildern 4.2.-4.7. durch gestrichelte Linien dargestellt.)

und wir setzen (mit dem angenäherten Wert $\phi^{(1)}$ nach Formel (7)):

$$\phi_{tt}^{(2)} - g \phi_y^{(2)} = \frac{\partial}{\partial t} \left(\nabla \phi^{(1)} \right)^2 \quad \text{für } y=0 \quad (8)$$

4.4. Lösung für $\phi^{(2)}$.

Man setzt die rechte Seite der Gleichung (7) in die Gleiche Seite der Formel (8) ein und damit wird unsere Differentialgleichung konkret wie folgt dargestellt:

$$\begin{aligned} \left(\phi_{tt}^{(2)} - g \phi_y^{(2)} \right)_{y=0} &= U^2 \omega^2 v^2 \left[A_1^* \cos(3vx \mp \omega t) \pm B_1^* \sin(3vx \mp \omega t) \right. \\ &\quad + A_2^* \cos(8vx \mp 2\omega t) \pm B_2^* \sin(8vx \mp 2\omega t) \\ &\quad \left. + A_3^* \cos(5vx \mp \omega t) \pm B_3^* \sin(5vx \mp \omega t) \right] \end{aligned} \quad (9)$$

wobei das obere Vorzeichen für $x > 0$ und das untere Vorzeichen für $x < 0$ sein soll und

$$\begin{aligned} A_1^* &= 8 \left\{ - \left[(A_{o1})_r \cdot (A_{o2})_i - (A_{o2})_r \cdot (A_{o1})_i \right] \right\} \\ B_1^* &= 8 \left\{ \left[(A_{o1})_r \cdot (A_{o2})_i + (A_{o1})_i \cdot (A_{o2})_r \right] \right\} \\ A_2^* &= 36 \left\{ - \left[(A_{o1})_r \cdot (A_{o3})_i - (A_{o3})_r \cdot (A_{o1})_i \right] \right\} \\ B_2^* &= 36 \left\{ \left[(A_{o1})_r \cdot (A_{o3})_i + (A_{o1})_i \cdot (A_{o3})_r \right] \right\} \\ A_3^* &= 72 \left\{ - \left[(A_{o2})_r \cdot (A_{o3})_i - (A_{o3})_r \cdot (A_{o2})_i \right] \right\} \\ B_3^* &= 72 \left\{ \left[(A_{o2})_r \cdot (A_{o3})_i + (A_{o2})_i \cdot (A_{o3})_r \right] \right\}. \end{aligned}$$

(10)

Die rechte Seite von (9) besteht aus Formeln der Form:

$$\begin{aligned}
 (\varphi_{tt} - g\varphi_y)_{y=0} &= A^* \cos(rx \mp st) \pm B^* \sin(rx \mp st) \\
 &= \cos(rx) \cdot [A^* \cos(st) - B^* \sin(st)] \pm \\
 &\quad \sin(rx) \cdot [A^* \sin(st) + B^* \cos(st)]
 \end{aligned} \tag{11}$$

wobei r und s beide die Beziehung $s^2 - gr \neq 0$ erfüllen, und das obere Vorzeichen für $x > 0$ und das untere für $x < 0$ gelten soll.

Nun kann man die Lösung φ der Gleichung (11) wie folgt voraussetzen:

$$\varphi = \varphi^a + \varphi^b$$

und

$$\begin{aligned}
 \varphi^a &= - \frac{A^* \cos(st) - B^* \sin(st)}{\pi(s^2 - gr)} \cdot \pi e^{-ry} \cos(rx) \\
 &\quad - [A^* \cos(st) - B^* \sin(st)] \cdot D \int_0^\infty \frac{e^{-ky} \cos(kx)}{k - \frac{s^2}{g} + i\mu} dk \\
 \varphi^b &= - \frac{A^* \sin(st) + B^* \cos(st)}{\pi} \left[C \int_0^\infty \frac{e^{-ky} \cos(kx)}{k - \frac{s^2}{g} + i\mu} dk \right. \\
 &\quad \left. + \frac{1}{s^2 + gr} \int_0^\infty \frac{e^{-ky} \cos(kx)}{k + r} dk \right. \\
 &\quad \left. - \frac{1}{s^2 - gr} \int_0^\infty \frac{e^{-ky} \cos(kx)}{k - r} dk \right]
 \end{aligned} \tag{12}$$

wobei C und D beliebige Konstanten sein können.

Es wird in folgender Weise bewiesen, daß die Voraussetzung richtig ist.

Da $e^{ist} \int_0^\infty \frac{e^{-ky} \cos(kx)}{k - \frac{s^2}{g} + i\mu} dk$ die lineare Randbedingung an der freien Wasseroberfläche erfüllt,

$$\left[\varphi_{tt}^a - g \varphi_y^a \right]_{\substack{y=0 \\ x \neq 0}} = \frac{A^* \cos(st) - B^* \sin(st)}{s^2 - gr} \cos(rx) (s^2 - gr)$$

$$= [A^* \cos(st) - B^* \sin(st)] \cos(rx),$$

$$\left[\varphi_{tt}^b - g \varphi_y^b \right]_{\substack{y=0 \\ x \neq 0}} = \frac{A^* \sin(st) + B^* \cos(st)}{\pi} \left\{ \frac{1}{s^2 + gr} \int_0^\infty e^{-ky} \cos(kx) \frac{s^2 - gk}{k+r} dk \right.$$

$$\left. - \frac{1}{s^2 - gr} \int_0^\infty e^{-ky} \cos(kx) \frac{s^2 - gk}{k-r} dk \right\}$$

Daraus ergeben sich die Integrale:

$$\left[J \right]_{\substack{y=0 \\ x \neq 0}} = \frac{1}{s^2 + gr} \int_0^\infty e^{-ky} \cos(kx) \frac{s^2 - gk}{k+r} dk - \frac{1}{s^2 - gr} \int_0^\infty e^{-ky} \cos(kx) \frac{s^2 - gk}{k-r} dk$$

$$= \frac{1}{s^2 + gr} \int_0^\infty e^{-ky} \cos(kx) \left[\frac{s^2 + gr}{k+r} - g \right] dk - \frac{1}{s^2 - gr} \int_0^\infty e^{-ky} \cos(kx) \left[\frac{s^2 - gr}{k-r} - g \right] dk$$

Da $\int_0^\infty e^{-ky} \cos(kx) dk$ für $y = 0$ und $x \neq 0$ null ist,
wird das Integral J wie folgt reduziert:

$$[J]_{\substack{y=0 \\ x \neq 0}} = \int_0^\infty \frac{e^{-ky} \cos(kx)}{k+r} dk - \int_0^\infty \frac{e^{-ky} \cos(kx)}{k-r} dk$$

Durch die Transformation der Variablen $k+r=u$ und $k-r=u$
berechnet man das Integral J wie folgt:

$$\begin{aligned} [J]_{\substack{y=0 \\ x \neq 0}} &= \int_r^\infty \frac{\cos[x(u-r)]}{u} du - \int_{-r}^\infty \frac{\cos[x(u+r)]}{u} du \\ &= \cos(rx) \cdot \left[\int_r^\infty \frac{\cos(ux)}{u} du - \int_{-r}^\infty \frac{\cos(ux)}{u} du \right] \\ &\quad + \sin(rx) \cdot \left[\int_r^\infty \frac{\sin(ux)}{u} du + \int_{-r}^\infty \frac{\sin(ux)}{u} du \right] \\ &= \sin(rx) \cdot \left\{ \pm \frac{\pi}{2} - Si(rx) \pm \frac{\pi}{2} + Si(rx) \right\} \end{aligned}$$

somit

$$\left[\varphi_{tt}^b - g \varphi_y^b \right]_{\substack{y=0 \\ x \neq 0}} = \pm \left[A^* \sin(st) + B^* \cos(st) \right] \sin(rx)$$

worin das obere Vorzeichen für $x > 0$ und das untere
für $x < 0$ gelten soll.

Der Beweis ist hiermit beendet. Da das Potential φ die Bedingung der Kontinuität und die Randbedingung (11) an der freien Wasseroberfläche, wie oben gezeigt, erfüllt, wird es jetzt als unser Korrekturpotential gebraucht werden können.

Wenn man die beliebigen Konstanten in (12) $C = D = 0$ annimmt, wird das Potential φ in allgemeiner Form wie folgt dargestellt:

$$\begin{aligned}\varphi = - & \left\{ \frac{A^* \cos(st) - B^* \sin(st)}{\pi(s^2 - qr)} \pi e^{-ry} \cos(rx) \right. \\ & + \frac{A^* \sin(st) + B^* \cos(st)}{\pi} \left[\frac{1}{s^2 + qr} \int_0^\infty \frac{e^{-ky} \cos(kx)}{k+r} dk \right. \\ & \left. \left. - \frac{1}{s^2 - qr} \int_0^\infty \frac{e^{-ky} \cos(kx)}{k-r} dk \right] \right\}\end{aligned}$$

Wir können durch lineare Superposition einen Ausdruck für $\phi^{(2)}$ finden, welcher der Bedingung (9) genügt, indem wir setzen:

$$\begin{aligned}\phi^{(2)} = - & \frac{\omega U^2 v \pi^2}{9} \left\{ \left[A_1^* \cos(\omega t) - B_1^* \sin(\omega t) \right] \cdot \frac{\pi}{(-2)} \cdot e^{-3vy} \cos(3vx) \right. \\ & + \left[A_2^* \cos(2\omega t) - B_2^* \sin(2\omega t) \right] \cdot \frac{\pi}{(-4)} \cdot e^{-8vy} \cos(8vx) \\ & + \left[A_3^* \cos(\omega t) - B_3^* \sin(\omega t) \right] \cdot \frac{\pi}{(-4)} \cdot e^{-5vy} \cos(5vx) \\ & + \left[A_1^* \sin(\omega t) + B_1^* \cos(\omega t) \right] \cdot \left[\frac{1}{4} \int_0^\infty \frac{e^{-ky} \cos(kx)}{k+3v} dk + \frac{1}{2} \int_0^\infty \frac{e^{-ky} \cos(kx)}{k-3v} dk \right] \\ & + \left[A_2^* \sin(2\omega t) + B_2^* \cos(2\omega t) \right] \cdot \left[\frac{1}{12} \int_0^\infty \frac{e^{-ky} \cos(kx)}{k+8v} dk + \frac{1}{4} \int_0^\infty \frac{e^{-ky} \cos(kx)}{k-8v} dk \right] \\ & + \left[A_3^* \sin(\omega t) + B_3^* \cos(\omega t) \right] \cdot \left[\frac{1}{6} \int_0^\infty \frac{e^{-ky} \cos(kx)}{k+5v} dk + \frac{1}{4} \int_0^\infty \frac{e^{-ky} \cos(kx)}{k-5v} dk \right]\end{aligned}\quad (13)$$

und entsprechend für die Stromfunktion:

$$\begin{aligned}
 \psi^{(2)} = & -\frac{\omega U^2 \nu \pi^2}{g} \left\{ \left[A_1^* \cos(\omega t) - B_1^* \sin(\omega t) \right] \cdot \frac{\pi}{(-2)} \cdot e^{-3\nu y} \sin(3\nu x) \right. \\
 & + \left[A_2^* \cos(2\omega t) - B_2^* \sin(2\omega t) \right] \cdot \frac{\pi}{(-4)} \cdot e^{-8\nu y} \sin(8\nu x) \\
 & + \left[A_3^* \cos(\omega t) - B_3^* \sin(\omega t) \right] \cdot \frac{\pi}{(-4)} \cdot e^{-5\nu y} \sin(5\nu x) \\
 & + \left[A_1^* \sin(\omega t) + B_1^* \cos(\omega t) \right] \cdot \left[\frac{1}{4} \int_0^\infty \frac{e^{-ky} \sin(kx)}{k+3\nu} dk + \frac{1}{2} \int_0^\infty \frac{e^{-ky} \sin(kx)}{k-3\nu} dk \right] \\
 & + \left[A_2^* \sin(2\omega t) + B_2^* \cos(2\omega t) \right] \cdot \left[\frac{1}{12} \int_0^\infty \frac{e^{-ky} \sin(kx)}{k+8\nu} dk + \frac{1}{4} \int_0^\infty \frac{e^{-ky} \sin(kx)}{k-8\nu} dk \right] \\
 & \left. + \left[A_3^* \sin(\omega t) + B_3^* \cos(\omega t) \right] \cdot \left[\frac{1}{6} \int_0^\infty \frac{e^{-ky} \sin(kx)}{k+5\nu} dk + \frac{1}{4} \int_0^\infty \frac{e^{-ky} \sin(kx)}{k-5\nu} dk \right] \right\} \quad (14)
 \end{aligned}$$

4.5. Asymptotische Werte der Integrale.

Die asymptotischen Werte der Integrale

$$\int_0^\infty \frac{e^{ik(x+iy)}}{k-r} dk \quad \text{und} \quad \int_0^\infty \frac{e^{ik(x+iy)}}{k+r} dk$$

werden wie folgt dargestellt:

Das erste Integral wurde von Abschnitt 1.3. eingeführt
d.h.

$$\lim_{\mu \rightarrow 0} \int_0^\infty \frac{e^{ik(x+iy)}}{k-r+i\mu} dk = \left[(\phi)_r + i(\psi)_r \right] + i \left[(\phi)_i + i(\psi)_i \right]$$

und daraus ergibt sich

$$\int_0^\infty \frac{e^{ik(x+iy)}}{k-r} dk = (\phi)_r + i(\psi)_r$$

Wenn $r\sqrt{x^2 + y^2}$ klein ist erhält man

$$\begin{aligned} \int_0^\infty \frac{e^{-ky} e^{ikx}}{k-r} dk &= e^{-ry+irx} \left\{ -\ln[y r\sqrt{x^2+y^2}] - \sum_{n=1}^{\infty} \frac{[r(y-ix)]^n}{n \cdot n!} + i \operatorname{arctg} \frac{x}{y} \right\} \\ &= e^{-ry+irx} \left\{ -\ln[y r\sqrt{x^2+y^2}] - \sum_{n=1}^{\infty} \frac{(r\sqrt{x^2+y^2})^n e^{-i \operatorname{arctg} \frac{x}{y}}}{n \cdot n!} + i \operatorname{arctg} \frac{x}{y} \right\} \end{aligned}$$

und wenn $r\sqrt{x^2 + y^2}$ groß ist erhält man

$$\int_0^\infty \frac{e^{-ky} e^{ikx}}{k-r} dk = - \sum_{n=1}^{\infty} \frac{e^{i \operatorname{arctg} \frac{x}{y}}}{n! [r\sqrt{y^2+x^2}]^n} + i\pi e^{-ry} \operatorname{sign}(x) e^{irx}$$

Für das zweite Integral

$$\int_0^\infty \frac{e^{-ky} e^{ikx}}{k+r} dk$$

braucht man nur das Vorzeichen von r zu ändern,

d.h.:

Wenn $r\sqrt{x^2 + y^2}$ klein ist

$$\int_0^\infty \frac{e^{-ky} e^{ikx}}{k+r} dk = e^{ry-irx} \left\{ -\ln[y \sqrt{r^2(x^2+y^2)}] - \sum_{n=1}^{\infty} \frac{[-r](y-ix)^n}{n \cdot n!} + i \operatorname{arctg} \frac{x}{y} \right\}$$

und wenn $r\sqrt{x^2 + y^2}$ groß ist

$$\int_0^\infty \frac{e^{-ky} e^{ikx}}{k+r} dk = - \sum_{n=1}^{\infty} \frac{e^{i \operatorname{arctg} \frac{x}{y}}}{n! [-r\sqrt{x^2+y^2}]^n}$$

Wenn in Gleichung (13) $\nu \sqrt{x^2 + y^2}$ klein ist, wird der Faktor $\frac{U^2 \omega \pi^2 \nu}{g}$ klein sein und damit wird das Potential $\phi^{(2)}$ ebenfalls klein sein. Wenn aber $\nu \sqrt{x^2 + y^2}$ groß ist, wird die Annäherung für die Integrale d.h. $i\pi e^{-ry} \text{sign}(x) \cdot e^{ix}$ bleiben. Daher kann man die Annäherung wie folgt benutzen:

$$\frac{1}{4} \int_0^\infty \frac{e^{-ky} \cos(kx)}{k+3\nu} dk + \frac{1}{2} \int_0^\infty \frac{e^{-ky} \cos(kx)}{k-3\nu} dk \approx -\frac{\pi}{2} e^{-3\nu y} \text{sign}(x) \cdot \sin(3\nu x)$$

$$\frac{1}{12} \int_0^\infty \frac{e^{-ky} \cos(kx)}{k+8\nu} dk + \frac{1}{4} \int_0^\infty \frac{e^{-ky} \cos(kx)}{k-8\nu} dk \approx -\frac{\pi}{4} e^{-8\nu y} \cdot \text{sign}(x) \cdot \sin(8\nu x)$$

$$\frac{1}{6} \int_0^\infty \frac{e^{-ky} \cos(kx)}{k+5\nu} dk + \frac{1}{4} \int_0^\infty \frac{e^{-ky} \cos(kx)}{k-5\nu} dk \approx -\frac{\pi}{4} e^{-5\nu y} \cdot \text{sign}(x) \cdot \sin(5\nu x)$$

Das allerletzte angenäherte Korrekturpotential $\phi^{(2)}$ stellt man wie folgt dar:

$$\begin{aligned} \phi^{(2)} = & -\frac{U^2 \omega \nu \pi^2}{2 \cdot g} \left\{ \left[-A_1^* \cos(\omega t) + B_1^* \sin(\omega t) \right] \cdot e^{-3\nu y} \cos(3\nu x) \right. \\ & + \left[-A_2^* \cos(2\omega t) + B_2^* \sin(2\omega t) \right] \cdot \frac{1}{2} e^{-8\nu y} \cos(8\nu x) \\ & + \left[-A_3^* \cos(\omega t) + B_3^* \sin(\omega t) \right] \cdot \frac{1}{2} e^{-5\nu y} \cos(5\nu x) \\ & + \left[-A_1^* \sin(\omega t) - B_1^* \cos(\omega t) \right] \cdot e^{-3\nu y} \cdot \text{sign}(x) \cdot \sin(3\nu x) \\ & + \left[-A_2^* \sin(2\omega t) - B_2^* \cos(2\omega t) \right] \cdot \frac{1}{2} \cdot e^{-8\nu y} \cdot \text{sign}(x) \cdot \sin(8\nu x) \\ & \left. + \left[-A_3^* \sin(\omega t) - B_3^* \cos(\omega t) \right] \cdot \frac{1}{2} \cdot e^{-5\nu y} \cdot \text{sign}(x) \cdot \sin(5\nu x) \right\} \end{aligned}$$

wobei die Koeffizienten A_1^* , A_2^* usw., B_1^* , B_2^* usw. in (10) gegeben sind. (15)

Durch die Einsetzung von $\sin(rx)$ statt $\cos(rx)$ und $[-\cos(rx)]$ statt $\sin(rx)$ in $\phi^{(2)}$ erhält man die entsprechende Korrekturstromfunktion $\psi^{(2)}$.

4.6. Hydrodynamische Kräfte.

Nun korrigieren wir die in Kapitel 3 berechneten hydrodynamischen Drücke und Kräfte mit dem Korrekturpotential $\phi^{(2)} + i\psi^{(2)}$.

Die Randbedingung an der Körperoberfläche lautet jetzt wie folgt:

$$\psi_{\text{ist}}^{(1)k} = Ux \cos \omega t - \psi^{(2)} \quad (16)$$

Wir setzen die aus $\phi^{(1)}$ wie vorstehend beschrieben berechnete Stromfunktion $\psi^{(2)}$ ein, beginnen die Berechnung von vorne und rechnen ein korrigiertes Potential $\phi^{(1)k}$ und damit ein korrigiertes Potential $\phi^{(2)k}$ aus.

Durch die Erfüllung der Beziehung (16) erhält man die unbekannten Korrekturkoeffizienten A_{ns}^k und durch Einsetzen von A_{ns}^k in die Koeffizienten A_{ns} der Potentiale

$$\phi^{(1)} + \phi^{(2)}$$

erhält man das völlig korrigierte Potential $\phi^{(1)k} + \phi^{(2)k}$.

Die Gleichung (6) zeigt, daß $(\nabla \phi^{(1)})^2$ für $y = 0$ und $x \rightarrow \infty$ einen von der Zeit t und der Koordinaten x unabhängigen, d.h. konstanten Teil

$$\left(\nabla \phi^{(1)}\right)^2 = U^2 \pi^2 v^2 \left\{ \left((A_{o1})_r^2 + (A_{o1})_i^2 \right) + 16 \left((A_{o2})_r^2 + (A_{o2})_i^2 \right) + 81 \left((A_{o3})_r^2 + (A_{o3})_i^2 \right) \right\}$$

sowie periodische Teile enthält. Der konstante Teil ist in der Korrekturrandbedingung (8) infolge der Ableitung nach der Zeit unberücksichtigt geblieben. Nur die periodischen Teile sind durch das Potential der zweiten Ordnung berücksichtigt.

Da an der freien Wasseroberfläche nicht nur die Ableitung $\frac{dp}{dt}$ verschwinden, sondern außerdem der Druck gleich dem atmosphärischen Druck sein muß, muß der konstante Teil $\frac{1}{2} p (\nabla \phi^{(1)})^2_{\text{mittel}}$ für $x \rightarrow \infty, y=0$ an jedem Punkt der Körperoberfläche addiert werden.

Daher werden die hydrodynamischen Drücke am Profilrand wie folgt dargestellt:

$$p = \rho \frac{\partial \phi^k}{\partial t} - \frac{1}{2} \rho (\nabla \phi^k)^2 + \frac{1}{2} \rho (\nabla \phi^k)^2 \text{ mittel f\"ur } x \rightarrow \infty \\ y = 0$$

wobei $\phi^k = \phi^{(1)k} + \phi^{(2)k}$ bedeutet.

Durch Integration der Drücke am Profilrand ergeben sich die hydrodynamischen Kräfte. Das Rechenprogramm für solche Korrektur befindet sich in Anhang A.

4.7. Diskussion.

Die errechneten Ergebnisse zeigen, daß geringe Unterschiede zwischen den korrigierten und nicht korrigierten Kraftkoeffizienten $\frac{K_{inst}}{\rho \cdot g \cdot c \cdot B}$ bestehen.

Die Koeffizienten $\alpha_0, \alpha_1, \text{ usw.}$ der Formel

$$\frac{K}{\rho \cdot g \cdot c \cdot B} = \alpha_0 + \alpha_1 \cos(\omega t) + \alpha_2 \sin(\omega t) + \alpha_3 \cos(2\omega t) \\ + \alpha_4 \sin(2\omega t)$$

wurden nach der Methode des kleinsten Quadrates bestimmt. Sie sind in Bild 4.8. bis 4.12. aufgetragen. Für die Amplitude $\frac{2c}{B} = 0,3$ beginnen die Ergebnisse bei der Frequenz $F = 0,6$ unsicher zu werden. Weitere numerische Rechnungen wären nötig, um diese Unsicherheit aufzuklären.

Die dimensionslose Druckverteilung am Profilrand für das Profil $H = 1,73205$, $\beta = 0,5$ und die Position $\omega t = \frac{7}{4}\pi$ ist in Bild 4.13a aufgetragen; für zwei verschiedene Amplitudenverhältnisse $\frac{c}{B/2} = 0,05, 0,15$ und drei verschiedene Frequenzen $F = 0,4, 0,6$ und $0,8$. Das Bild zeigt, daß je größer die Amplituden der Schwingung und je höher die Frequenzen sind, desto höher und größer sind die Drücke und die Schwankungen des Verlaufs. Die wichtigste Tatsache hierbei ist die Erkenntnis, daß der maximale Druck in jedem Falle an dem Punkt angreift, wo sich der Profilrand mit der glatten Wasserlinie kreuzt. Die maximalen Drücke $\frac{P_{\max}}{\rho g c}$ für die Profile $H=1,0$ und $1,73205$ sind über dem Amplitudenverhältnis $\frac{c}{B/2}$ für die Frequenzen $F = 0,2, 0,3, 0,4, 0,5, 0,6, 0,7, 0,8$ in Bild 4.13b und 4.13c aufgetragen, wobei die Zahlen I, II und III auf die Punkte hinweisen, an denen der maximale Druck entsteht. Die Bilder zeigen, daß der Punkt des maximalen Druckes immer dann mit dem Punkt I übereinstimmt, wenn die Amplitude groß und die Frequenz hoch ist. Je größer die Amplitude und je höher die Frequenzen sind, desto größer werden die maximalen Drücke.

Nun berücksichtigen wir den Verlauf des maximalen Drückes $\frac{P_{\max}}{\rho/2 U^2}$ (Bild 4.14a). Aus dem Bild kann man erkennen, daß die Drücke im allgemeinen von Amplituden und Frequenzen abhängen. Jedoch scheint der dimensionslose Wert für den maximalen hydrodynamischen Druck $\frac{P_{\max}}{\rho/2 U^2}$ mit zunehmender Amplitude und Frequenz einem asymptotischen Wert zuzustreben. Es ist interessant, den Wert, der für die größten Amplituden und Frequenzen berechnet ist, mit dem Ergebnis von Wagner für den Stoßdruck eines in einer Wasseroberfläche eindringenden Keils zu vergleichen (Bild 4.14b). Die Theorie Wagners gilt gut für den Keilwinkel α zwischen 20° und 30° [6]. Unsere Lösung

gilt für den Bereich α zwischen 25° und 50° . Wagner hat allerdings für die konstante Geschwindigkeit des Keils gegen ruhiges Wasser gerechnet, während unsere Geschwindigkeit als harmonische Funktion $U \cos(\omega t)$ gegeben und dafür der maximale Druck in dem Zeitpunkt $\omega t = \frac{7}{4}\pi$ errechnet ist.

Bild 4.2

Zeitableitung der Druckverteilung an der freien Oberfläche

----- Anteil der Frequenz 2ω in Formel (7)

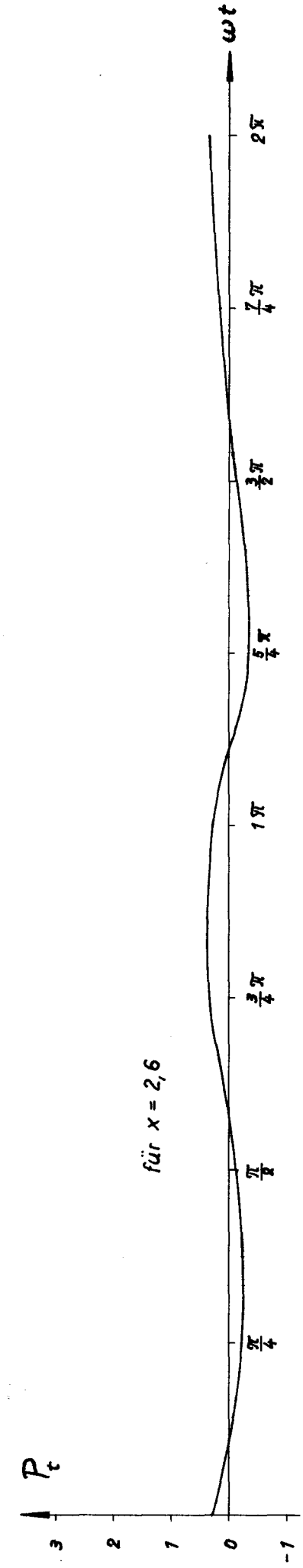
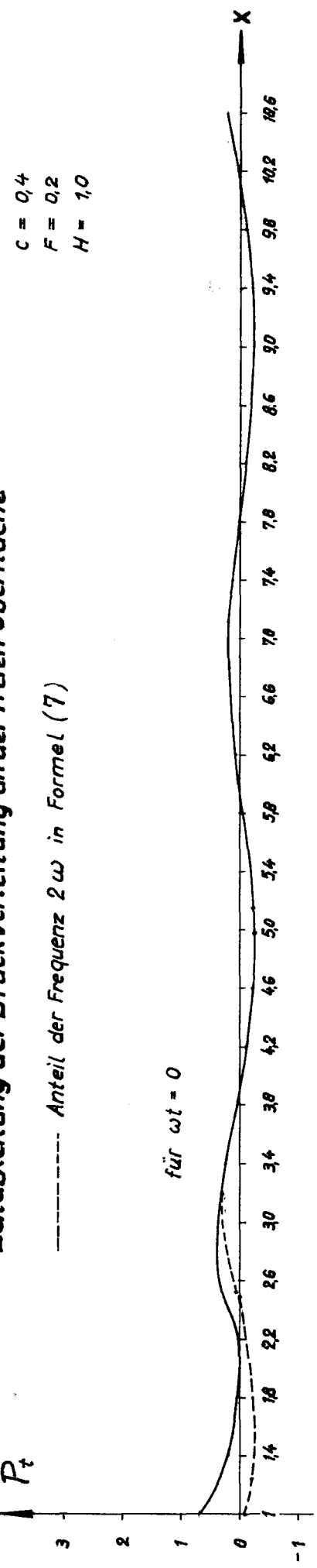


Bild 4.3

Zeitableitung der Druckverteilung an der freien Oberfläche

$\text{--- --- --- Anteil der Frequenz } 2\omega \text{ in Formel (7)}$
 $C = 0,3$
 $F = 0,4$
 $H = 1,0$

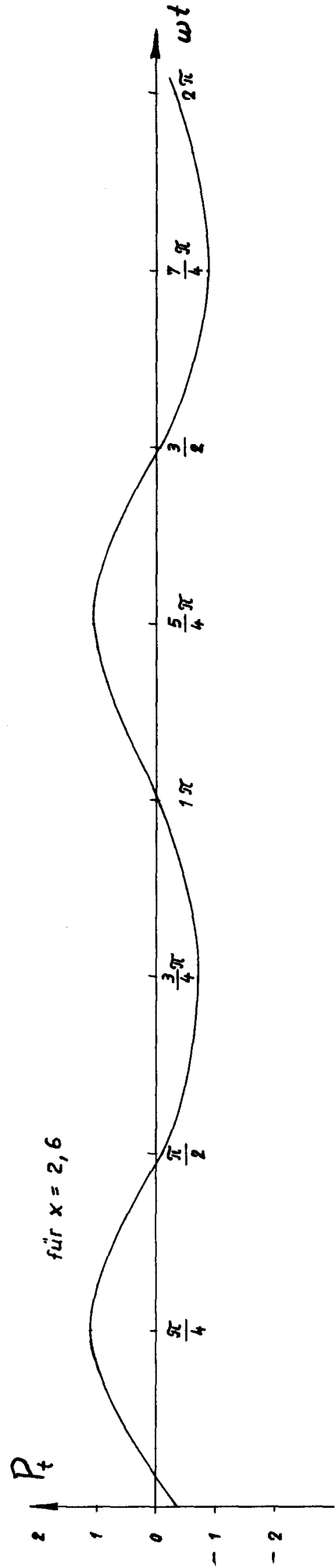
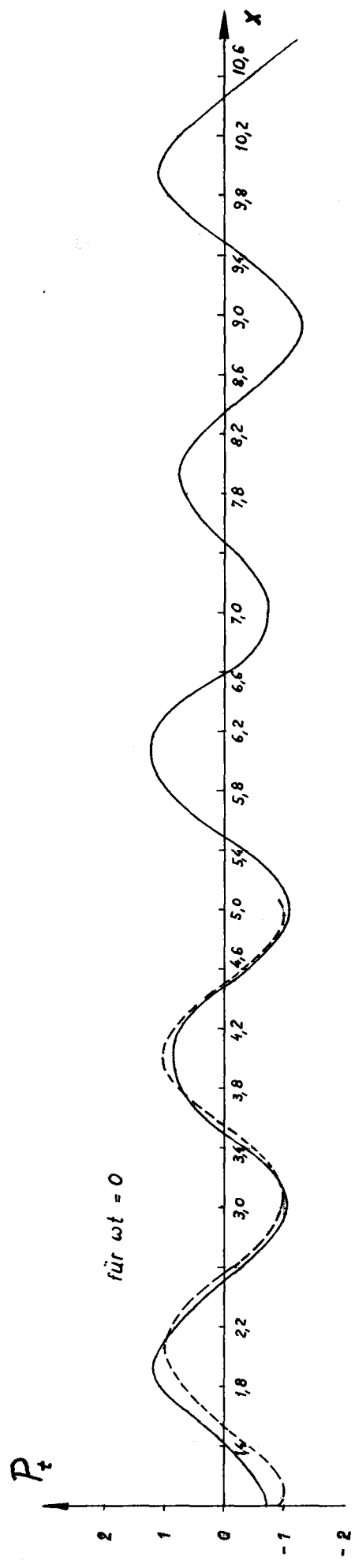


Bild 4.4

Zeitableitung der Druckverteilung an der freien Oberfläche

Anteil der Frequenz 2ω in Formel [7]

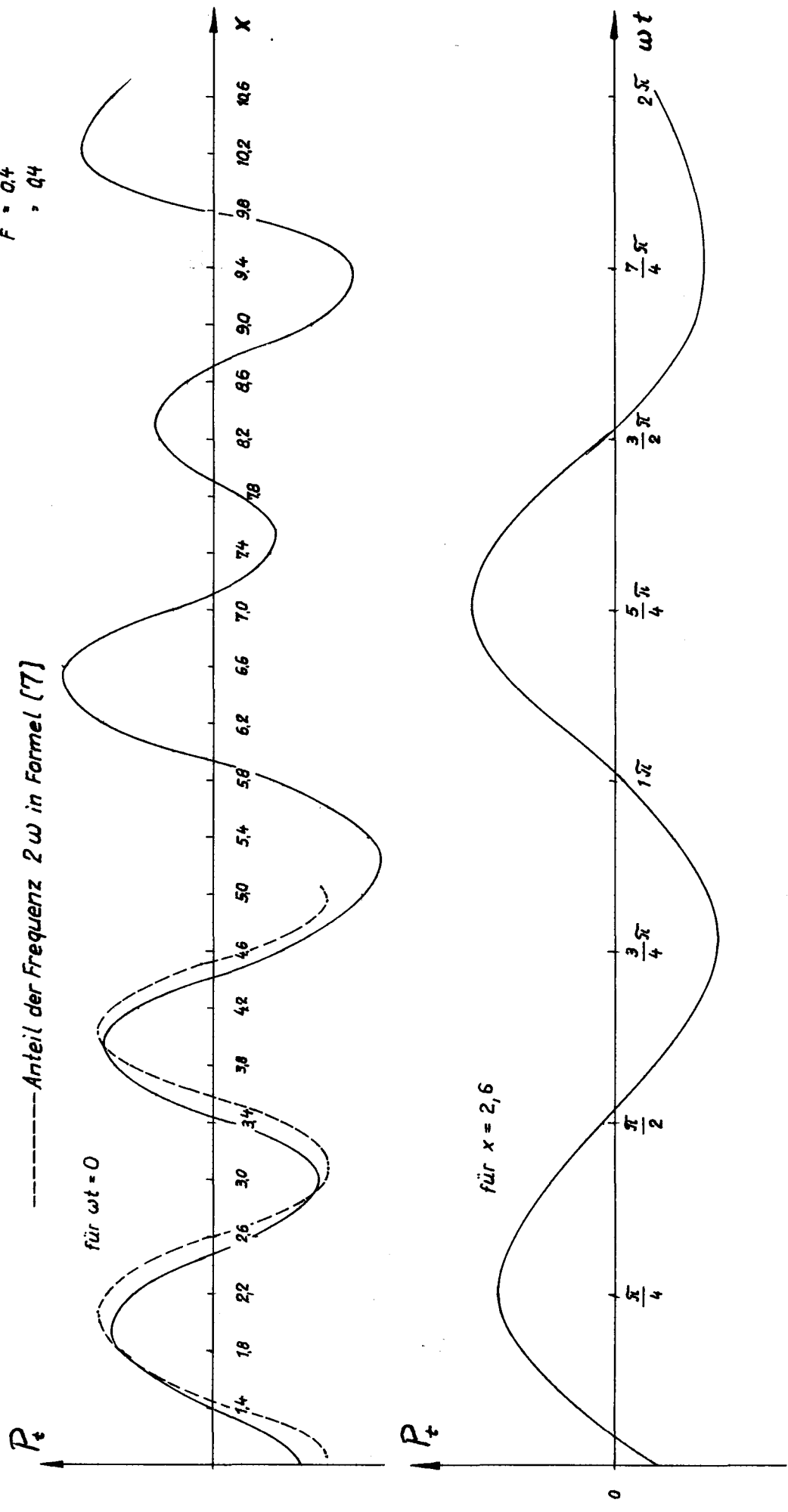


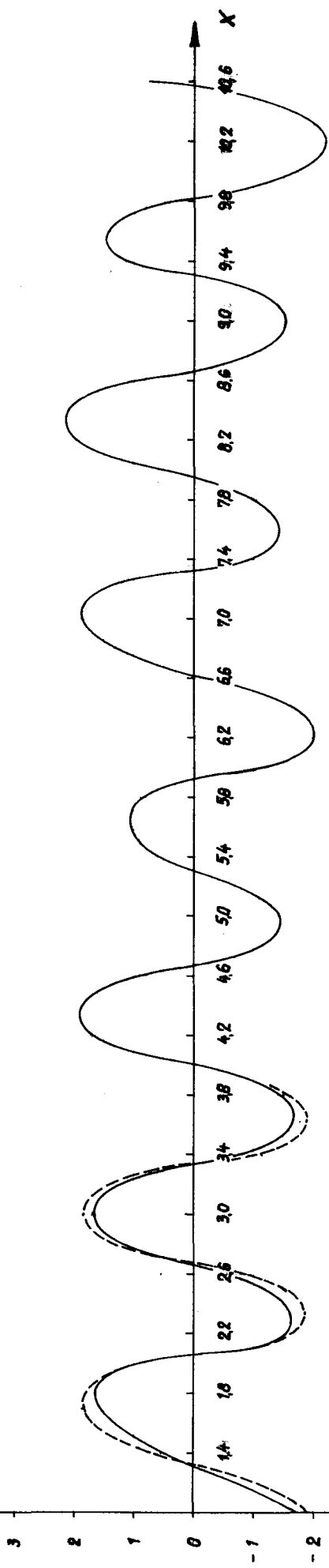
Bild 4.5

Zeitableitung der Druckverteilung an der freien Oberfläche

Anteil der Frequenz 2ω in Formel (7)

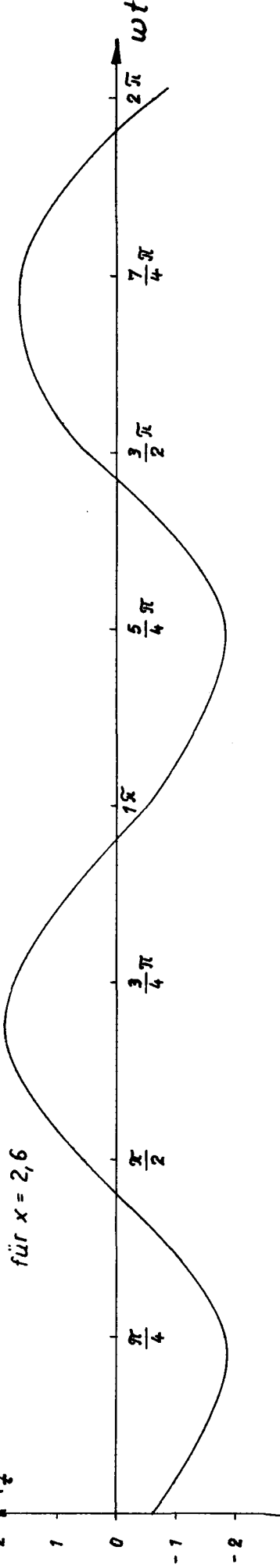
für $\omega t = 0$

P_t



P_t

für $x = 2,6$



$$\begin{aligned} C &= 0.2 \\ F &= 0.6 \\ H &= 1.0 \end{aligned}$$

Bild 4.6 a

Zeitableitung der Druckverteilung an der freien Oberfläche

— Anteil der Frequenz 2ω in Formel (7)

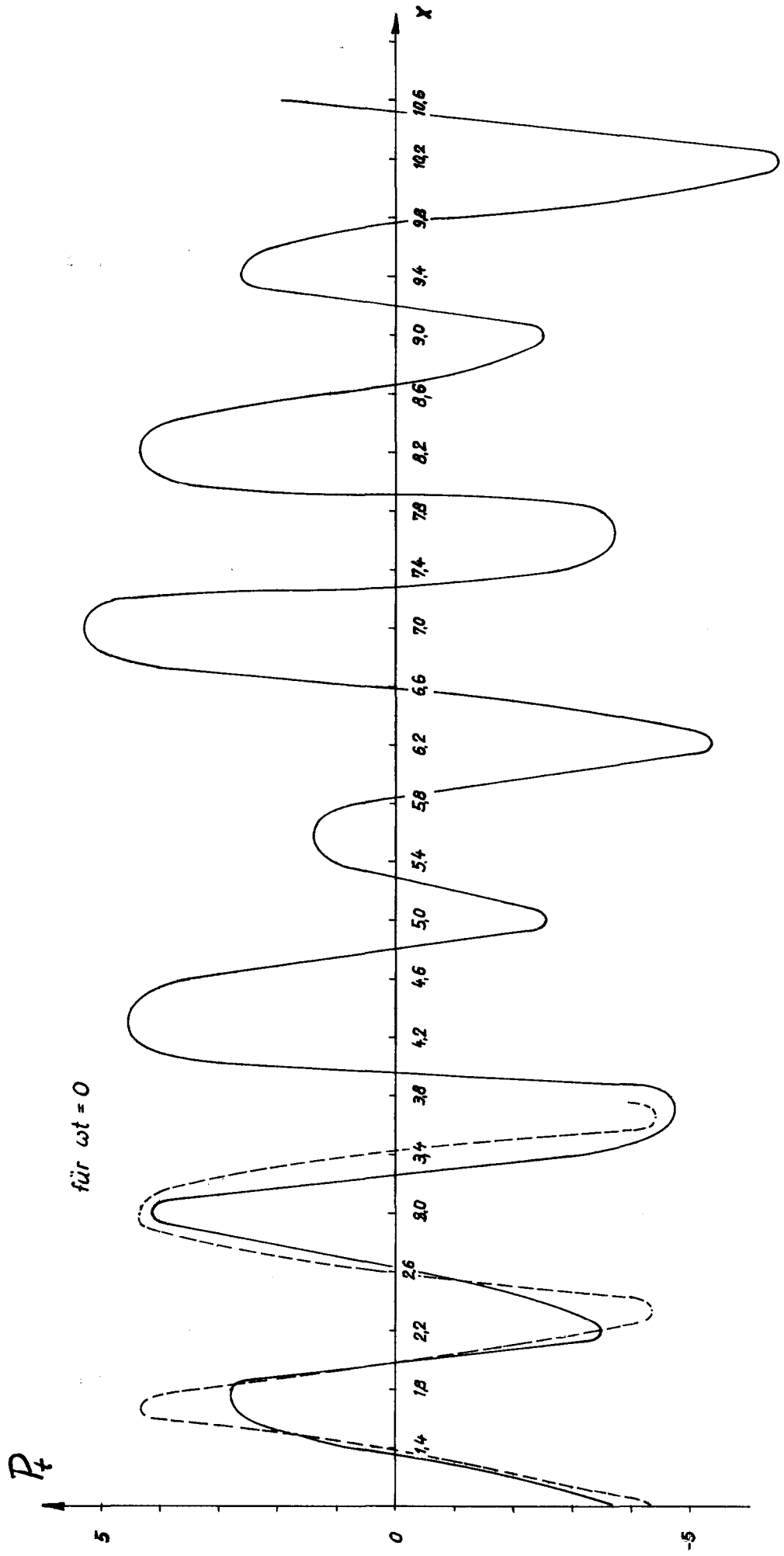


Bild 4.6 b

Zeitableitung der Druckverteilung an der freien Oberfläche

$$\begin{aligned}c &= 0,3 \\F &= 0,6 \\H &= 1,0\end{aligned}$$

für $x = 2,6$

P_t

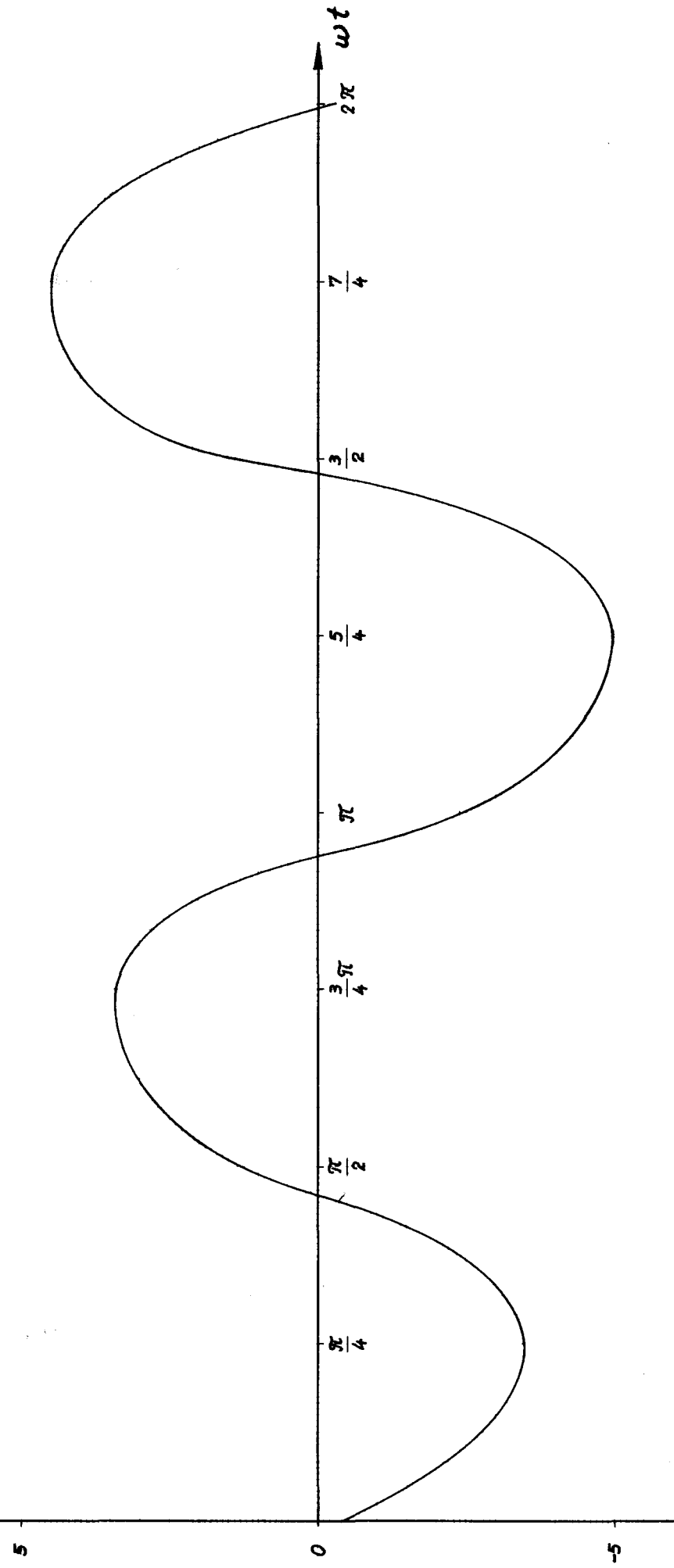


Bild 4.7 a

Zeitableitung der Druckverteilung an der freien Oberfläche

— Anteil der Frequenz 2ω in Formel (7)

für $\omega t = 0$

P_t

$$\begin{aligned}C &= 0.2 \\F &< 0.9 \\H &= 1.0\end{aligned}$$

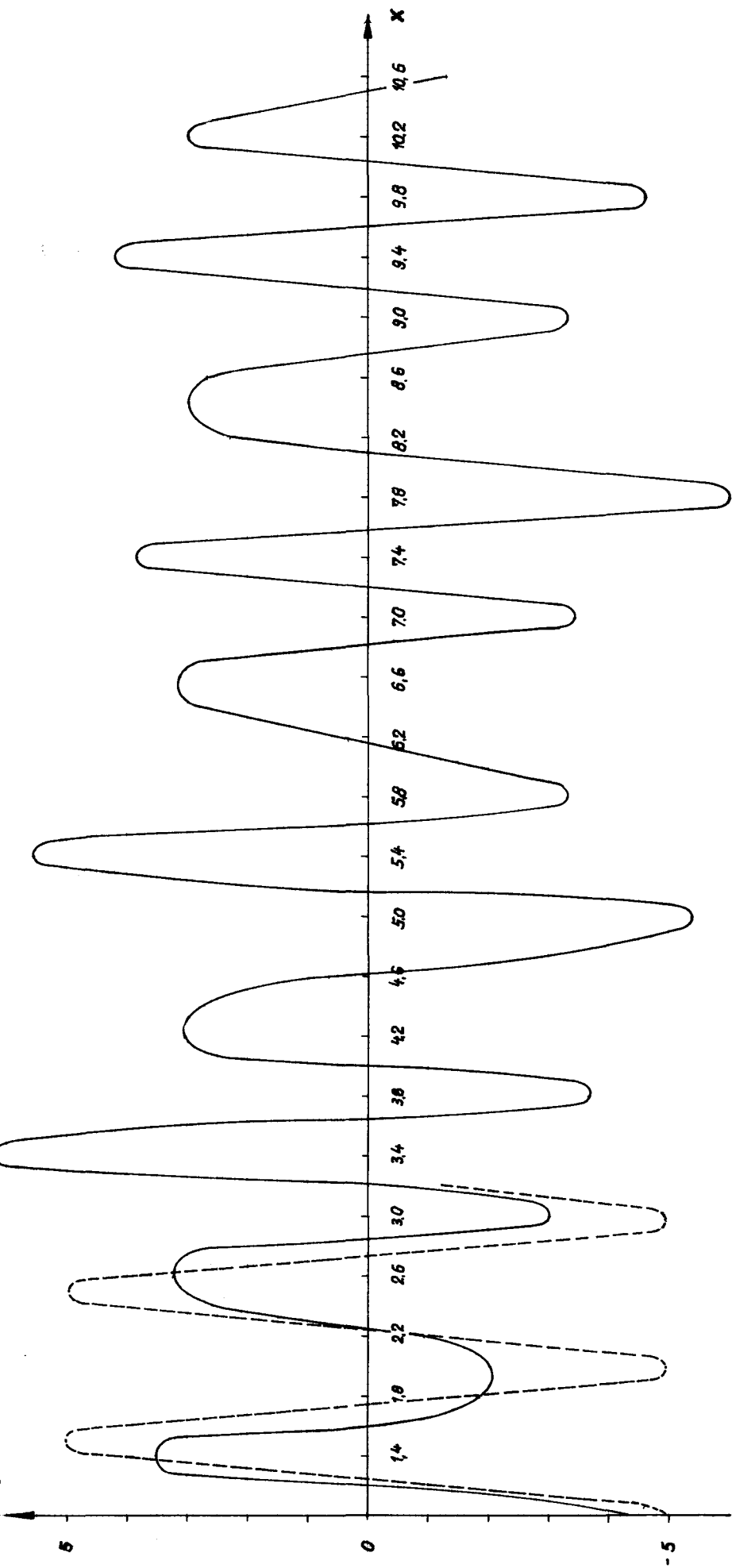


Bild 4.17 b

Zeitableitung der Druckverteilung an der freien Oberfläche

$$\begin{aligned}c &= 0,2 \\F &= 0,8 \\H &= 1,0\end{aligned}$$

P_t

für $x = 2,6$

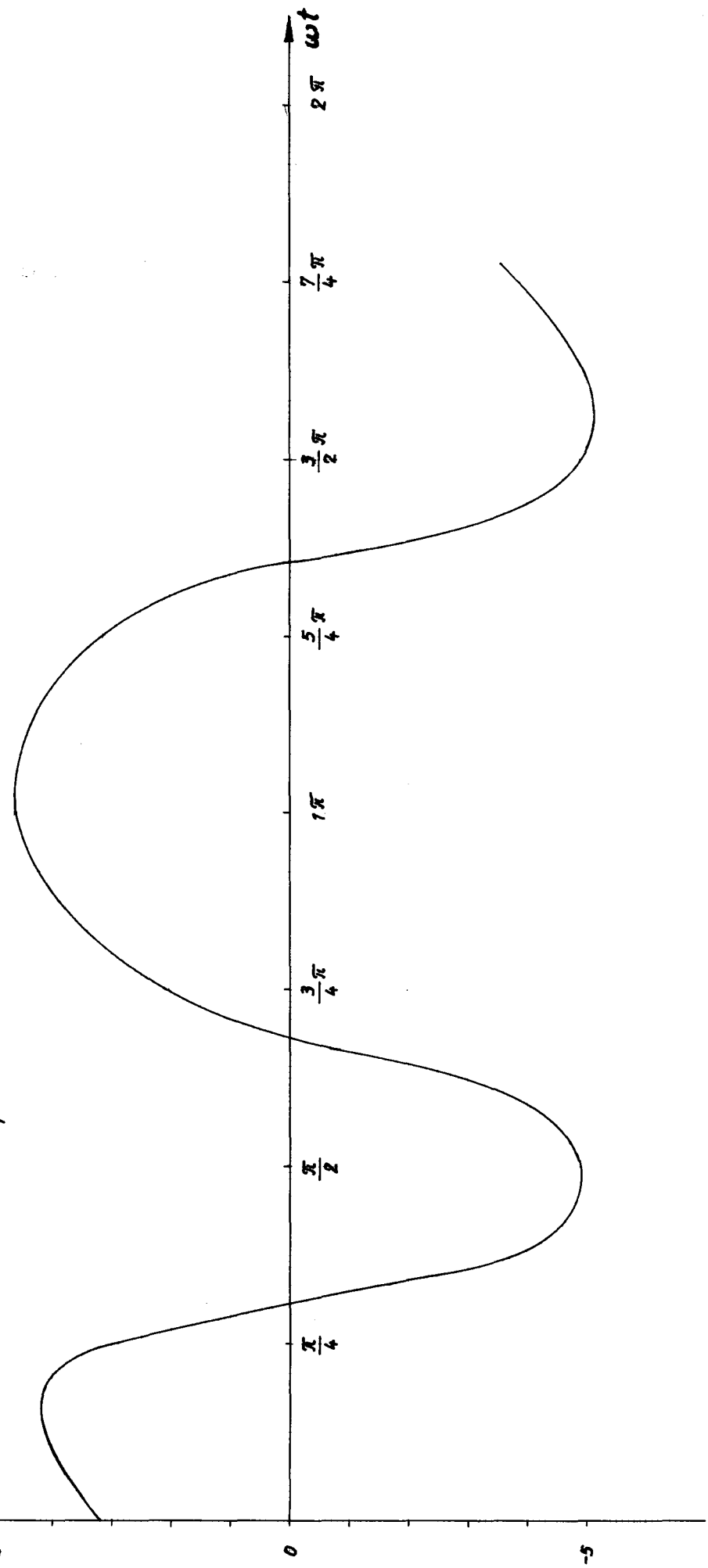


Bild 4.8a

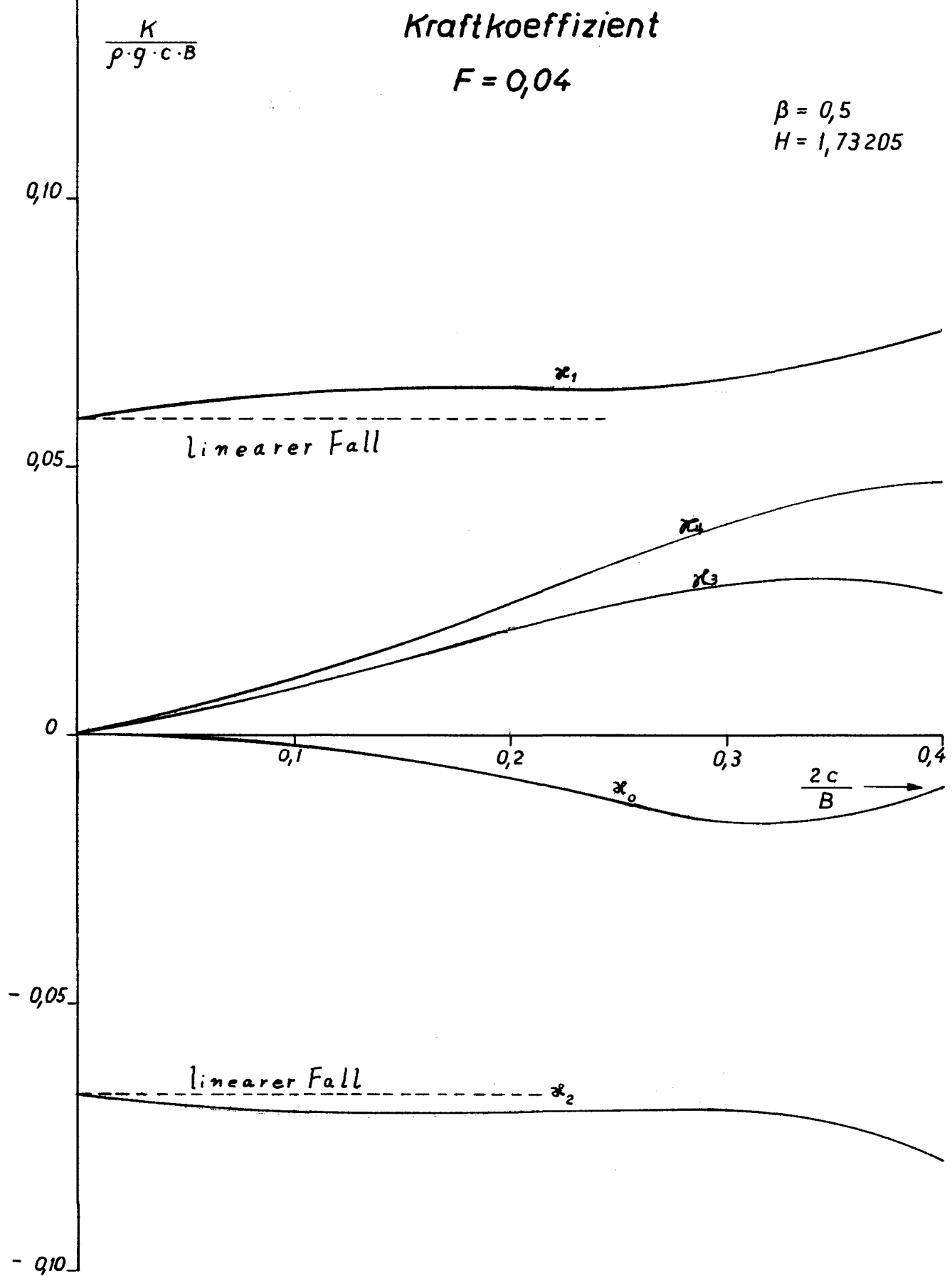


Bild 4.8 b

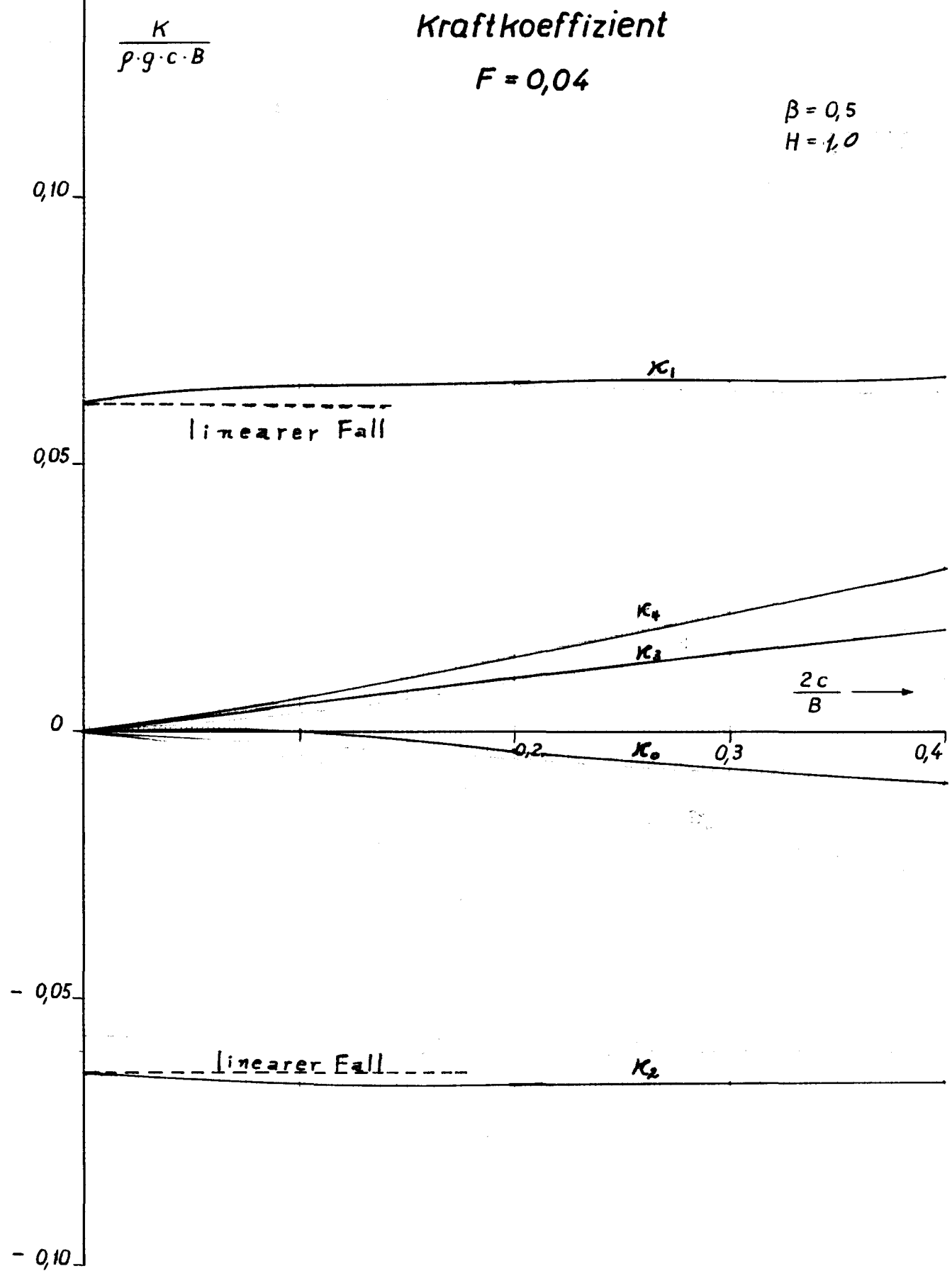


Bild 4.9 a

Kraftkoeffizient

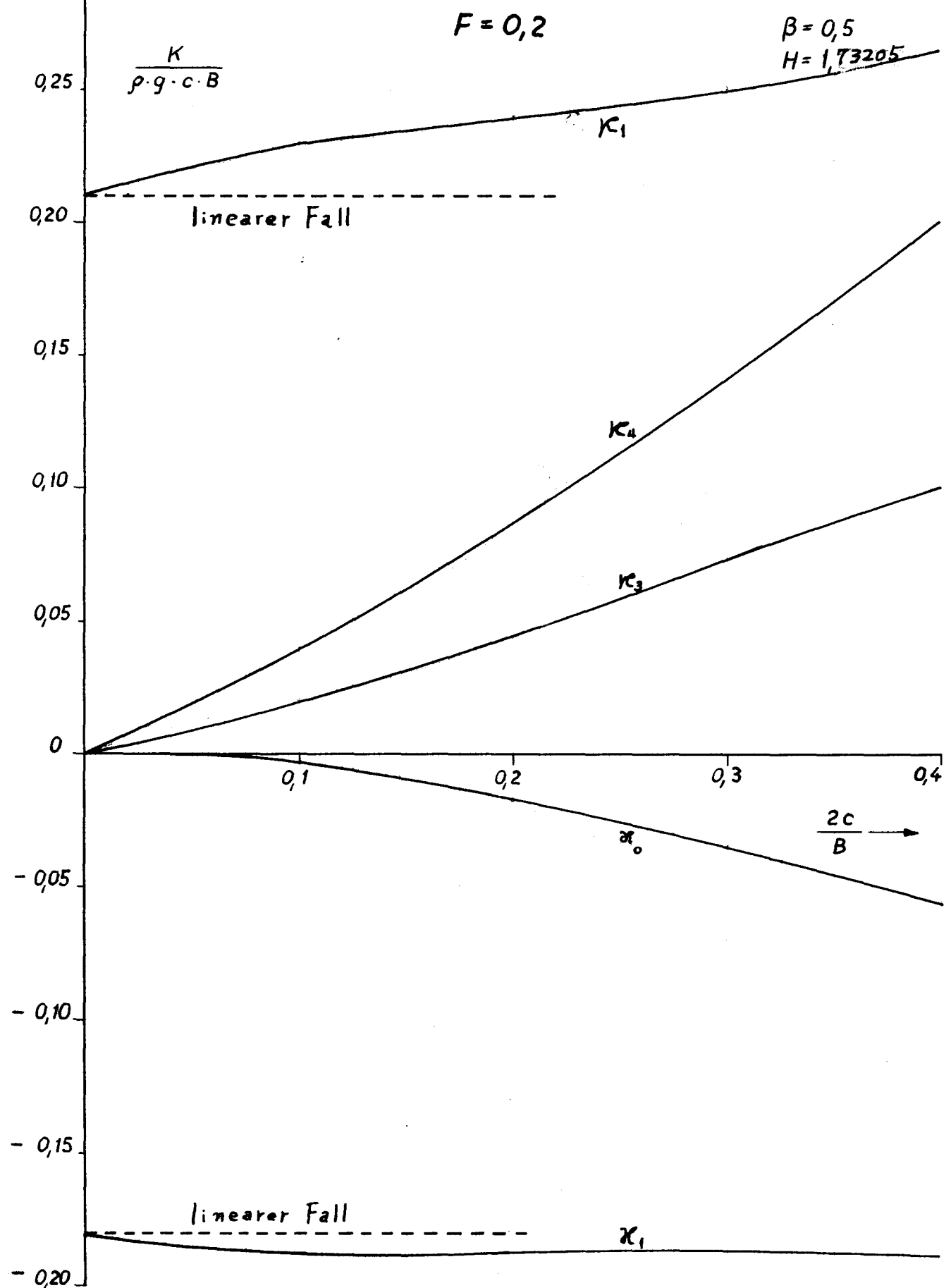


Bild 4.9 b

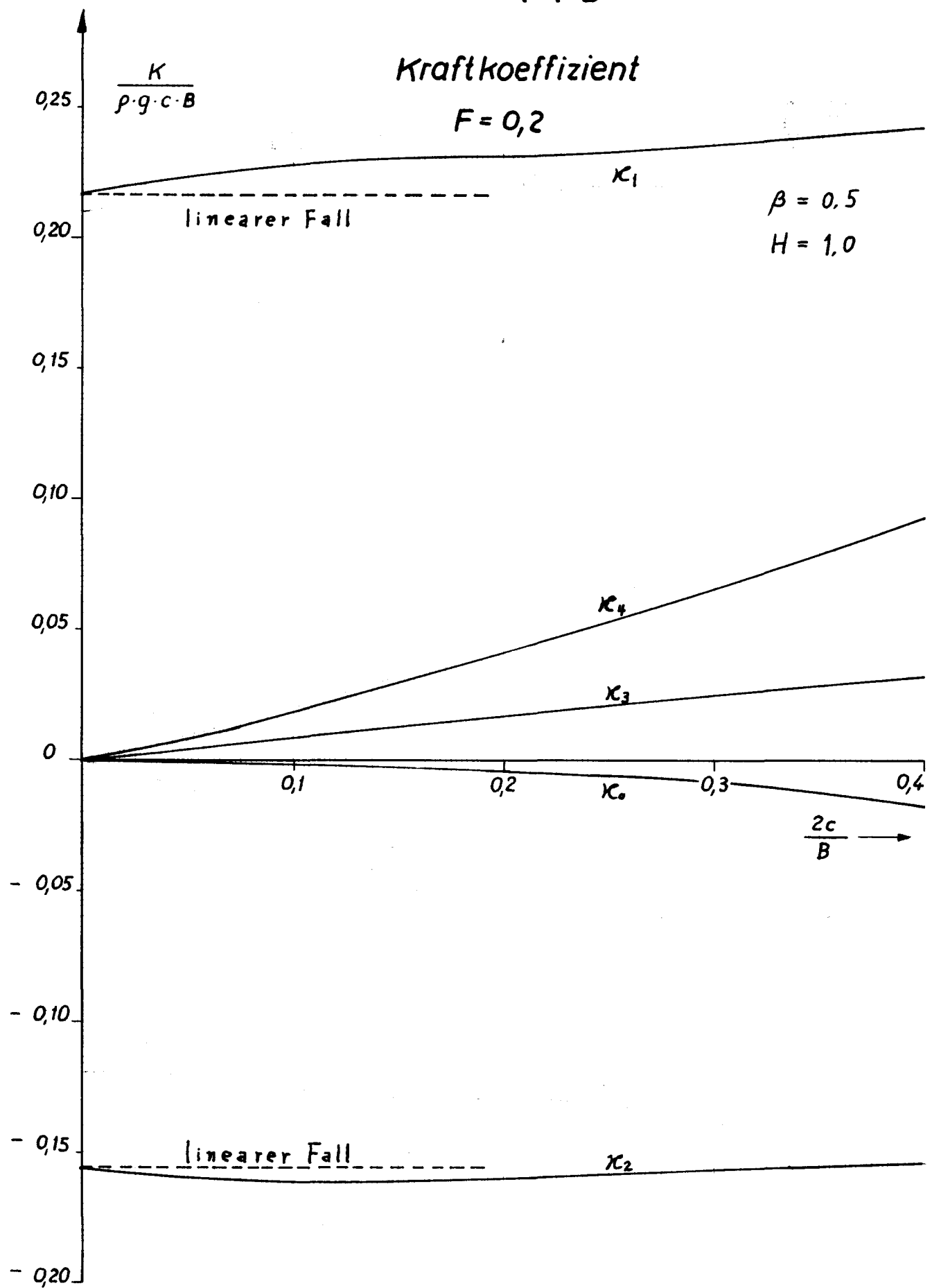


Bild 4.10 a

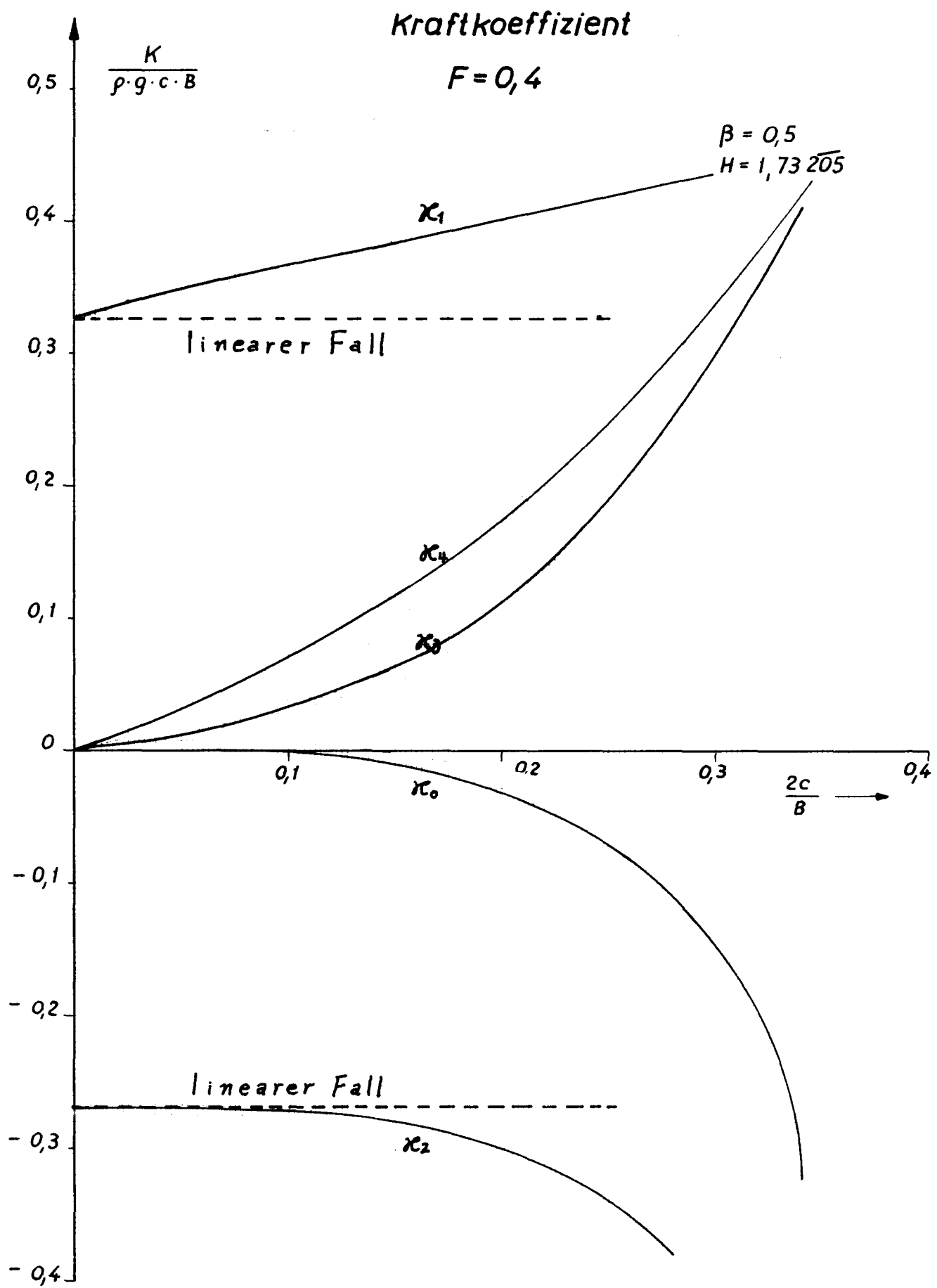


Bild 4.10 b

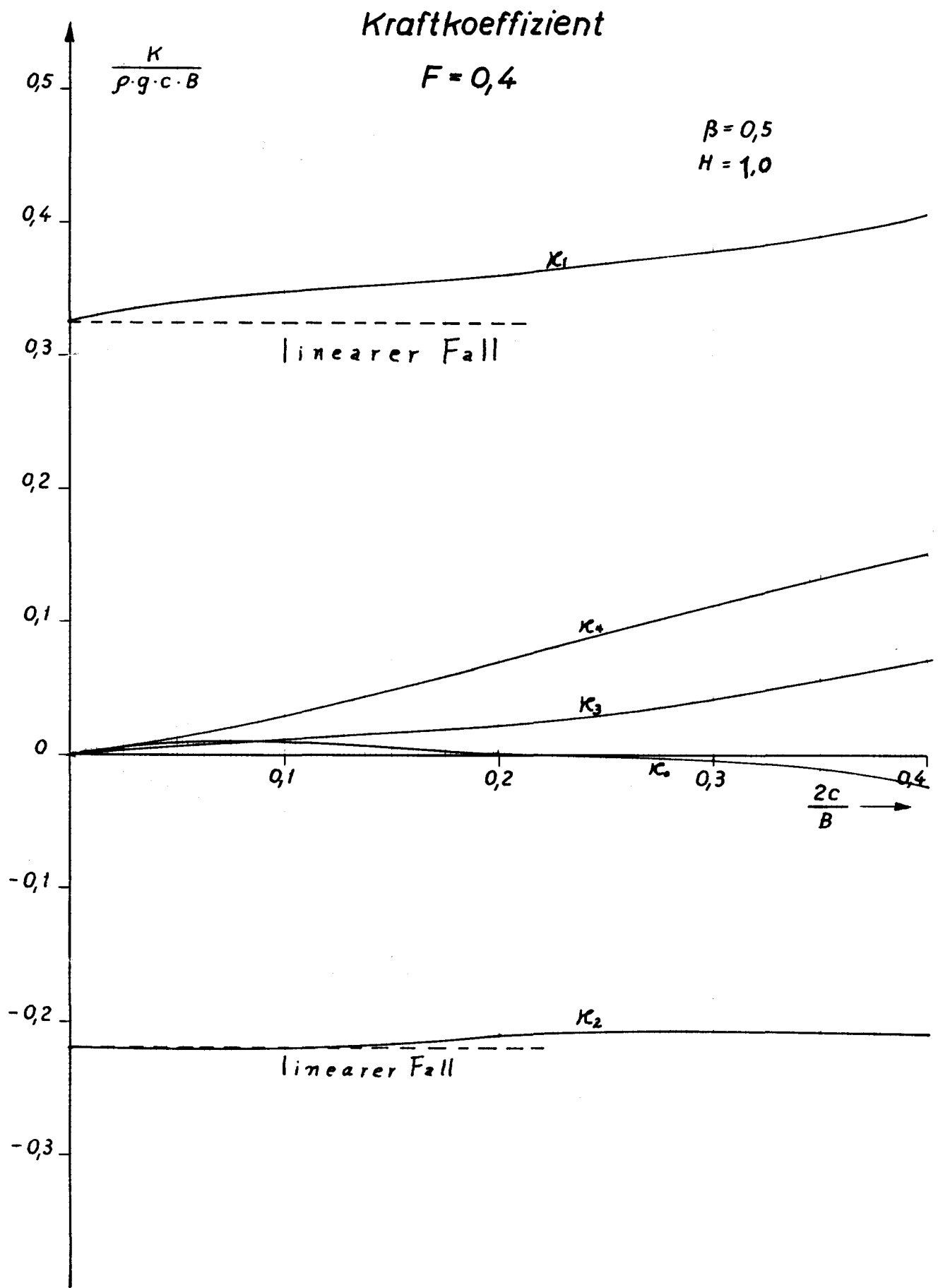


Bild 4.11 a

Kraftkoeffizient

$$F = 0,6$$

$$\beta = 0,5$$

$$H = 1,73 \ 205$$

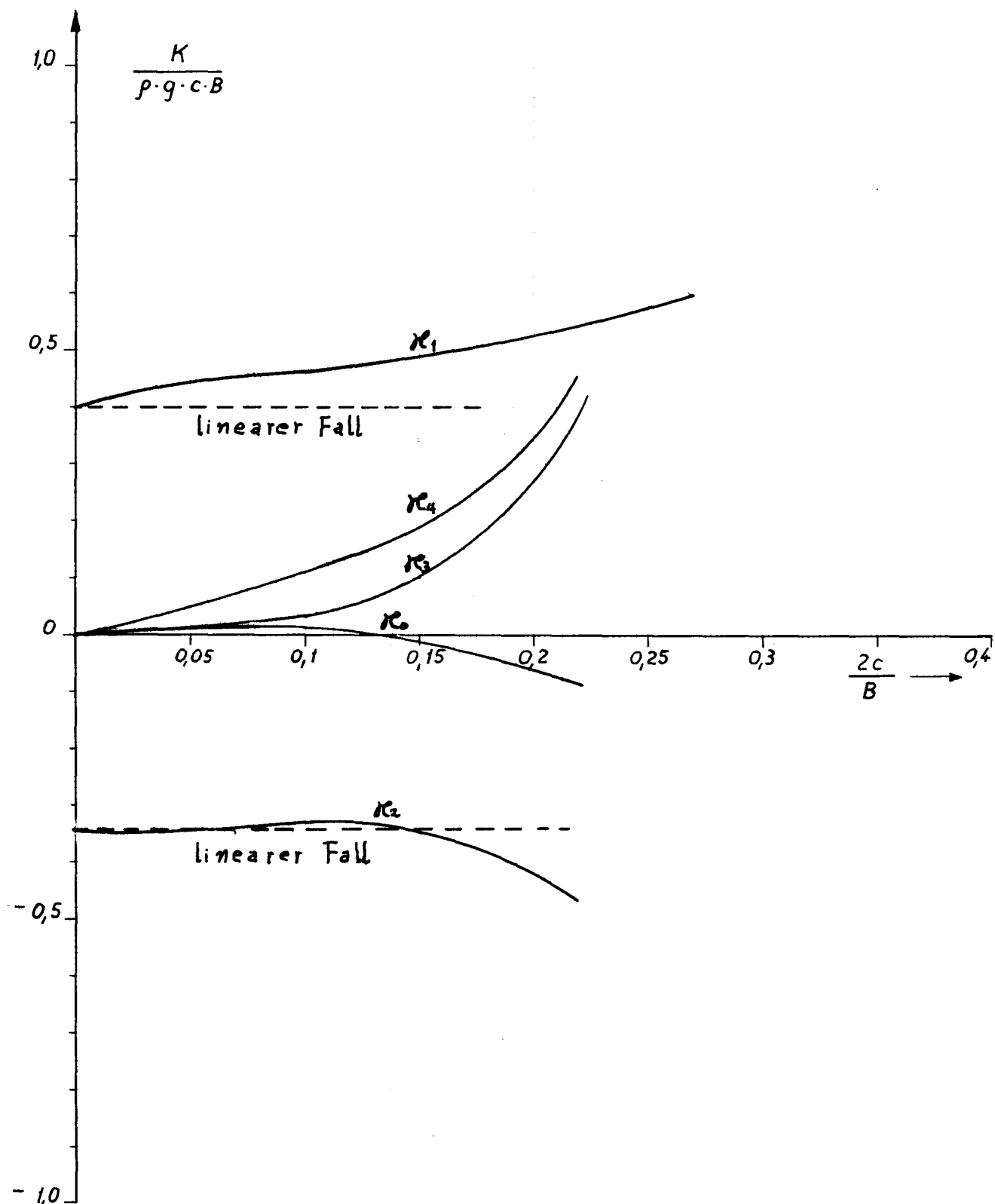


Bild 4.11 b

Kraftkoeffizient

$$F = 0,6$$

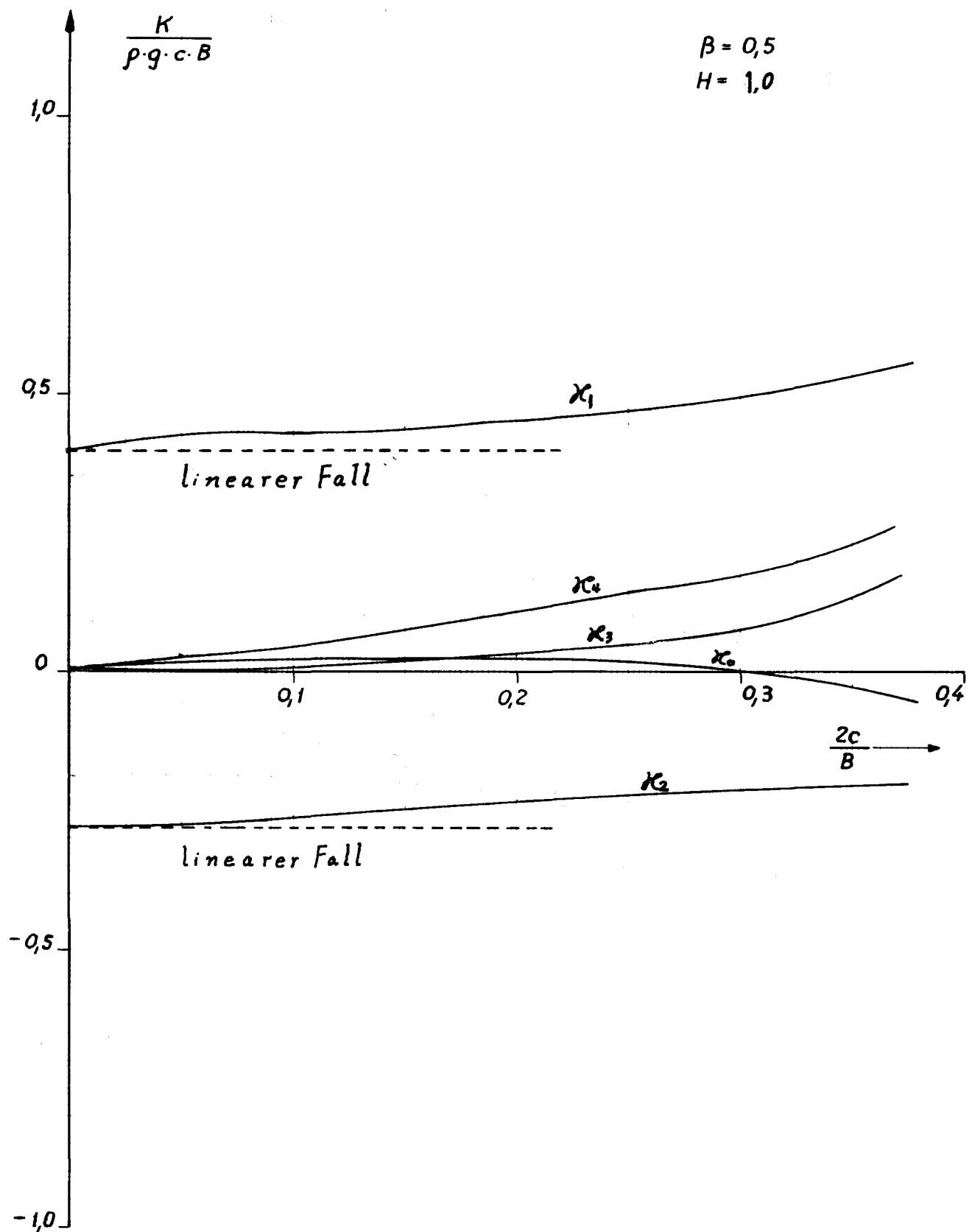


Bild 4.12 a

Kraftkoeffizient

$$F = 0,8$$

$$\beta = 0,5$$

$$H = 1,73205$$

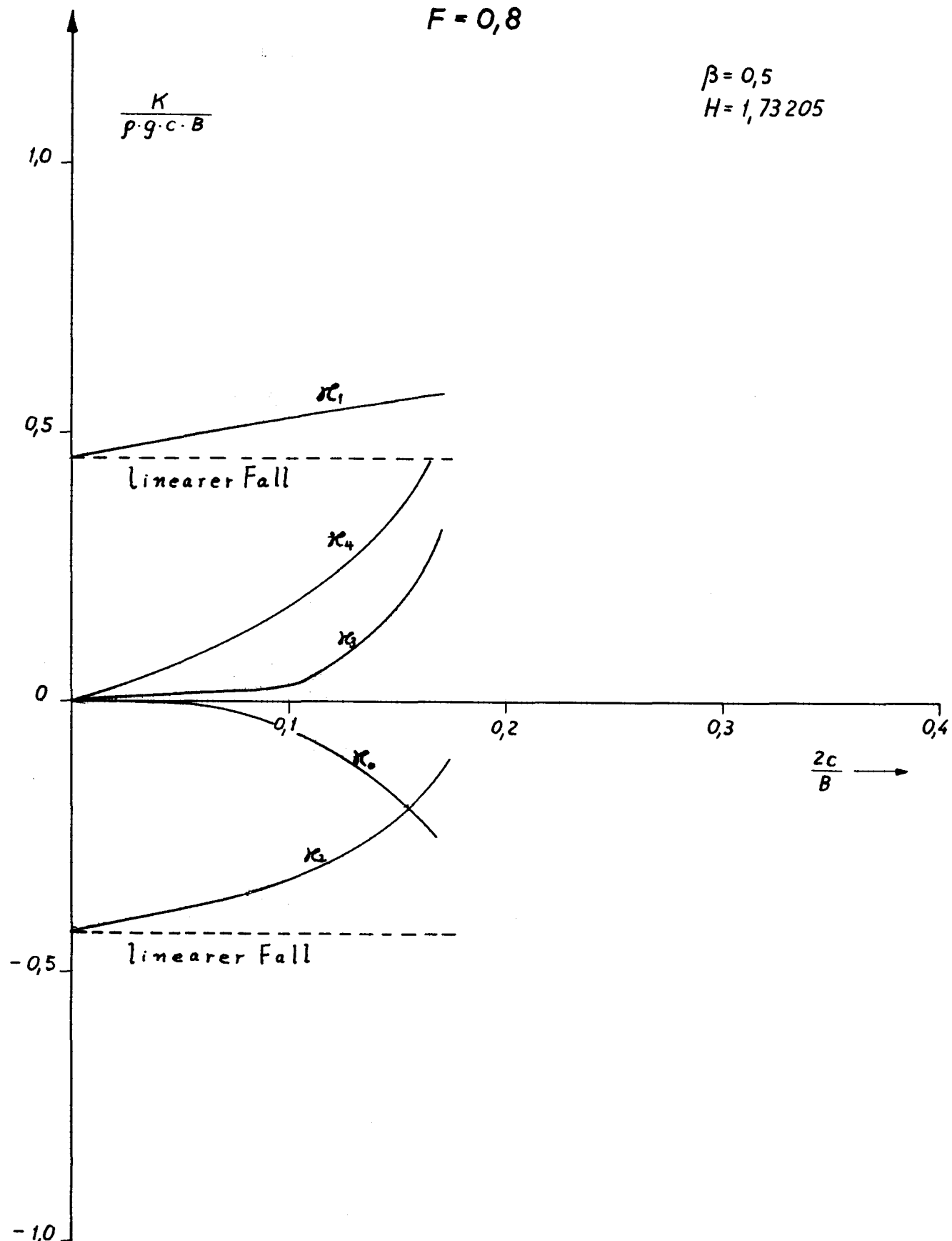


Bild 4.12 b

Kraftkoeffizient

$$F = 0,8$$

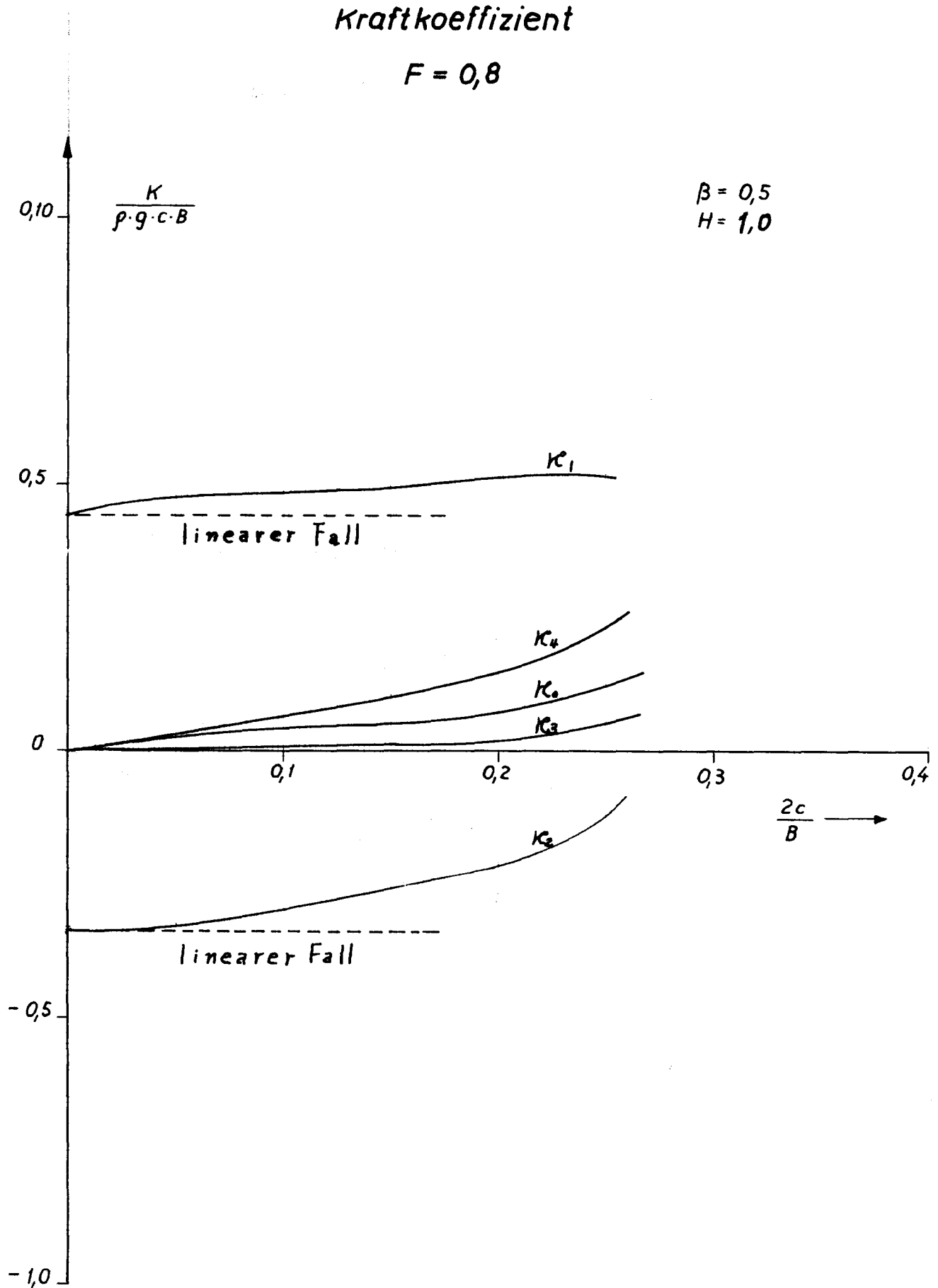


Bild 4.13a
Druckverteilung an der Lage $\omega t = \frac{\pi}{4} \pi$

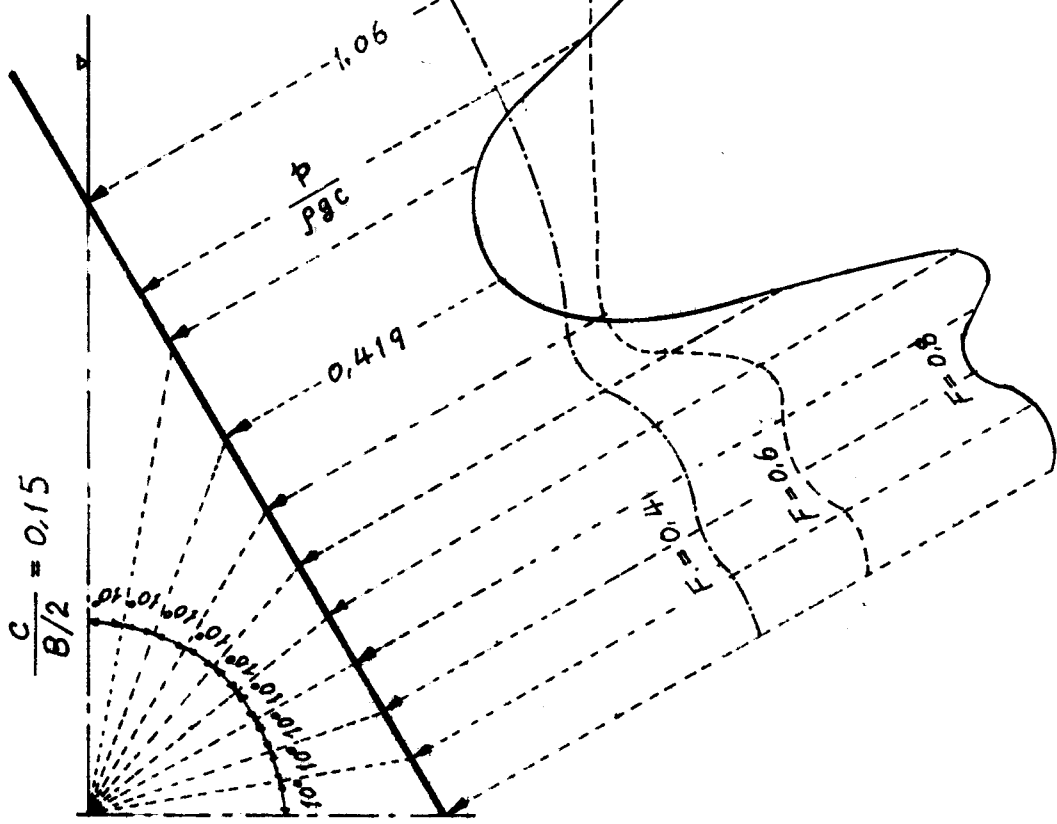
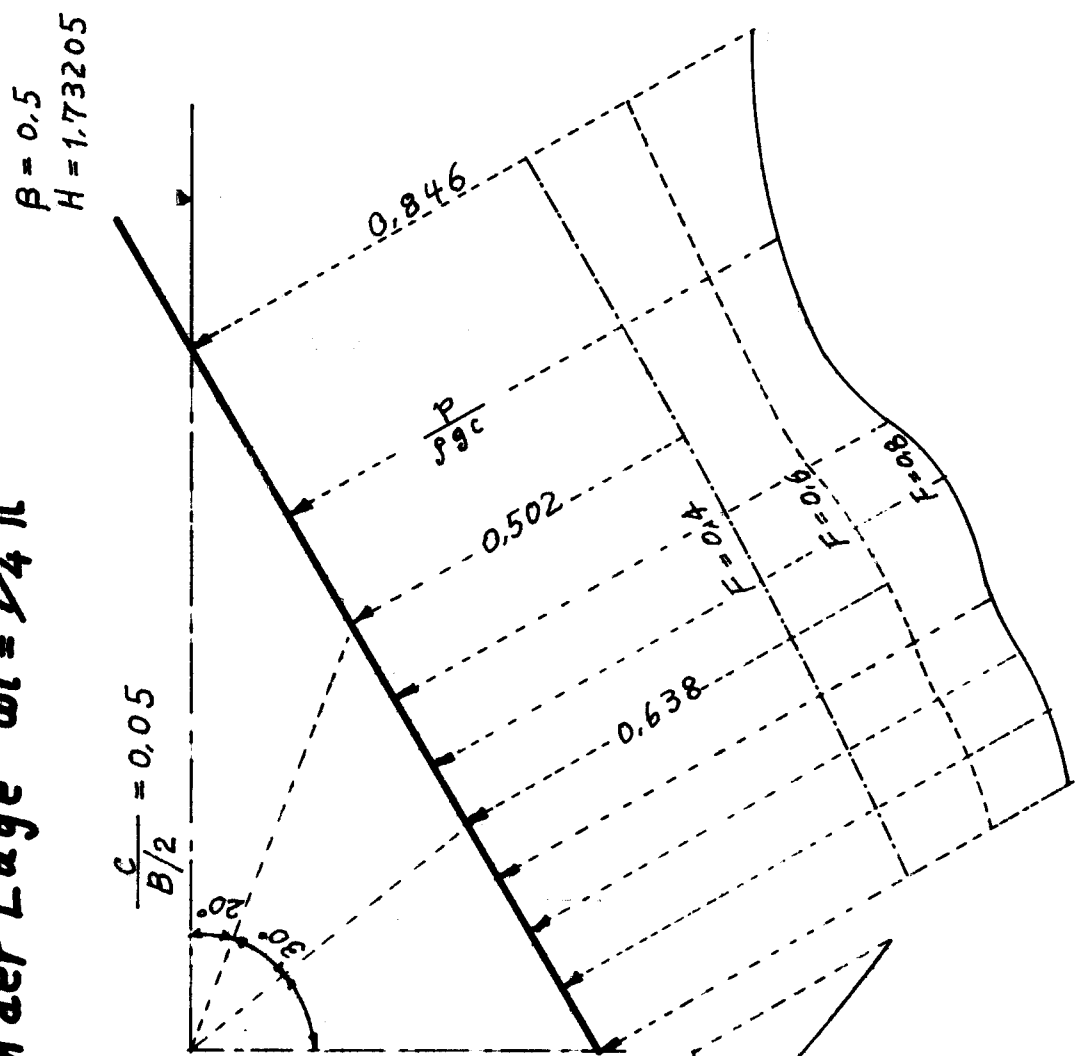


Bild 4.13 b

Maximaler hydrodynamischer Druck
über Amplitudenverhältnis $\frac{c}{B/2}$
an der Position $\omega t = \frac{7}{4}\pi$

$$\frac{P_{\max}}{\rho g c}$$

$$\frac{P_{\max}}{\rho g c}$$

$$an der Position \omega t = \frac{7}{4}\pi$$

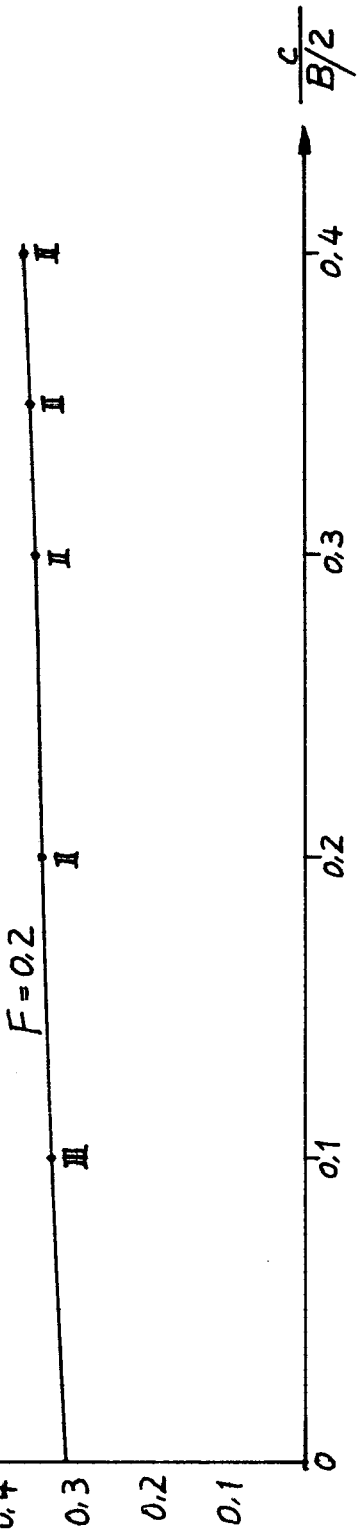
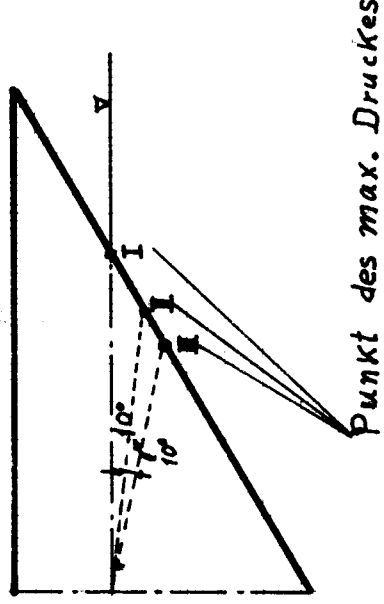
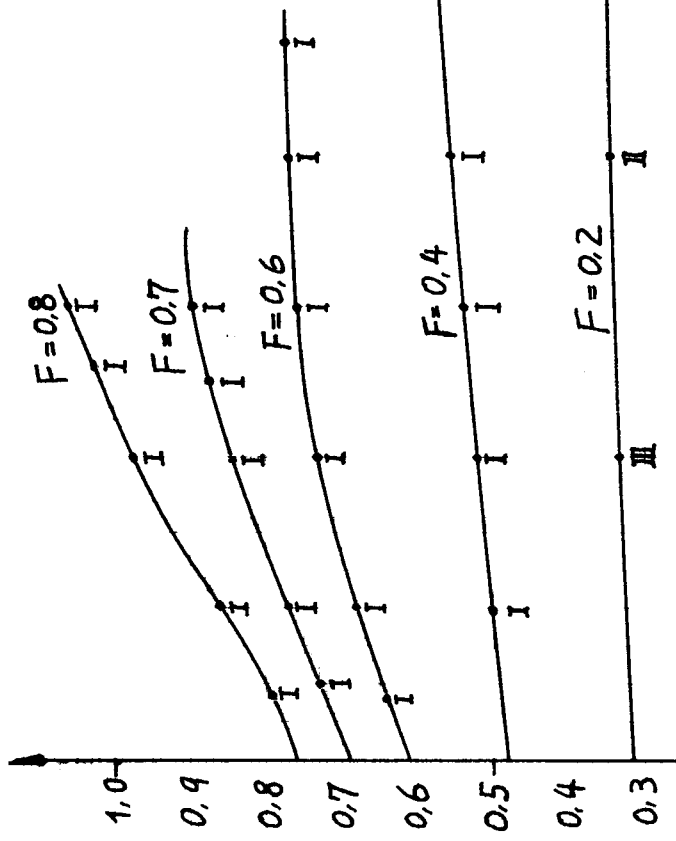


Bild 4.13 C
 Maximaler hydrodynamischer Druck
 über Amplitudenverhältnis $\frac{c}{B/2}$
 an der Position $\omega t = \frac{\pi}{4}$

$$\frac{P_{\max}}{\rho g c}$$

$$\beta = 0.5$$

$$H = 1.0$$

$$\omega t = \frac{\pi}{4}$$

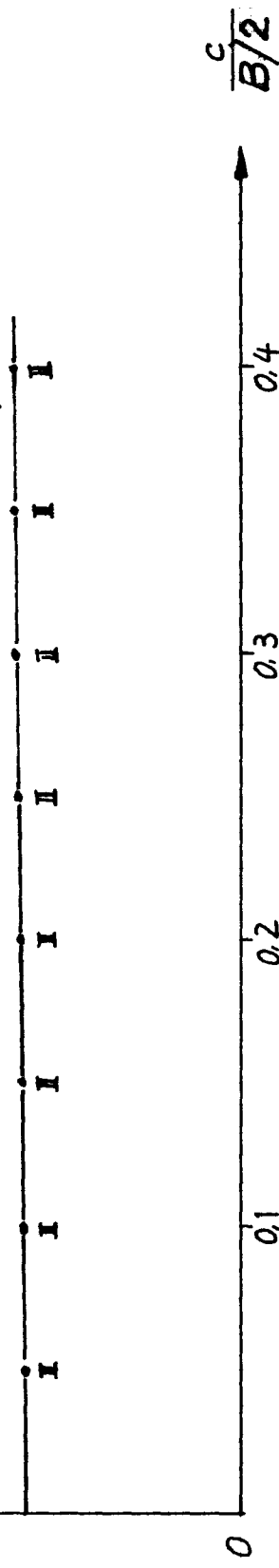
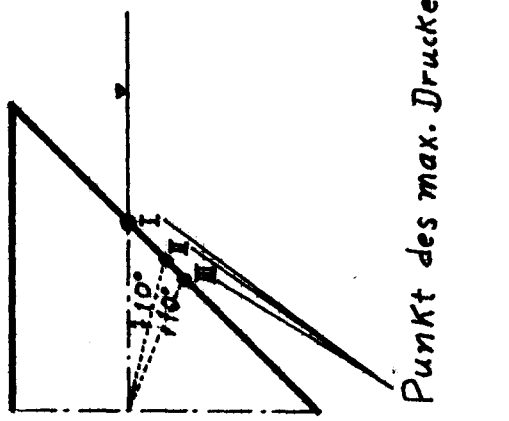
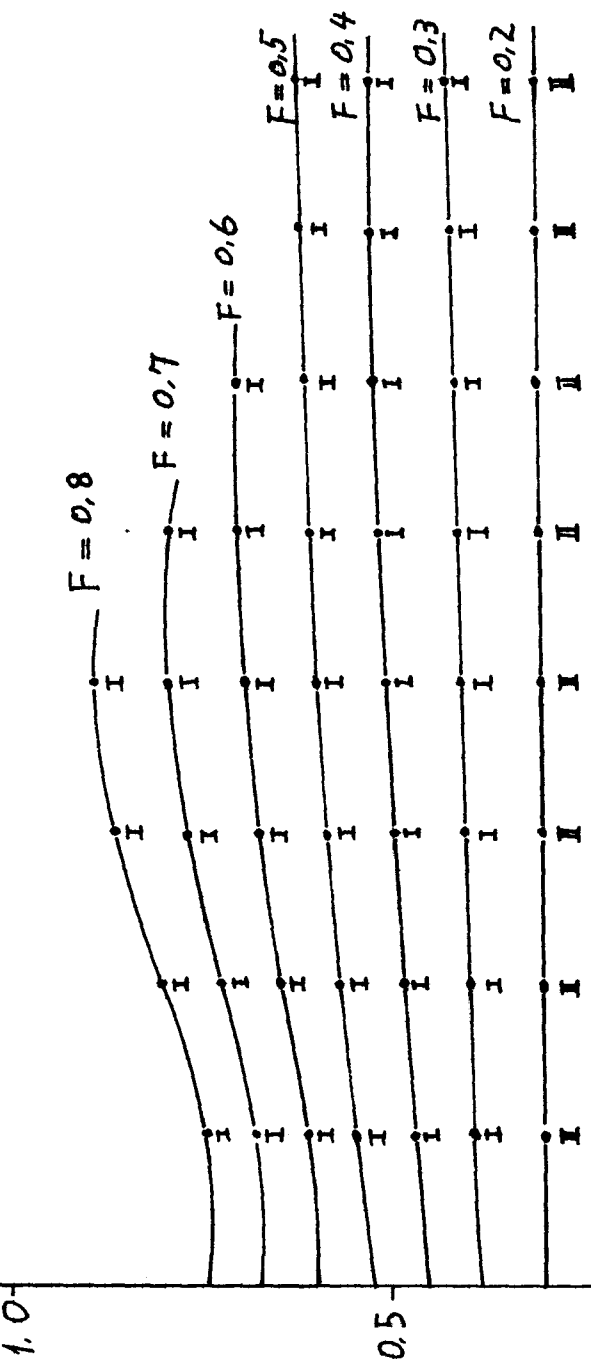


Bild 4.14a

Maximaler hydrodyn. Druck $\frac{P_{max}}{\frac{\rho}{2} U^2}$

über Amplitudenverhältnis $\frac{c}{B/2}$

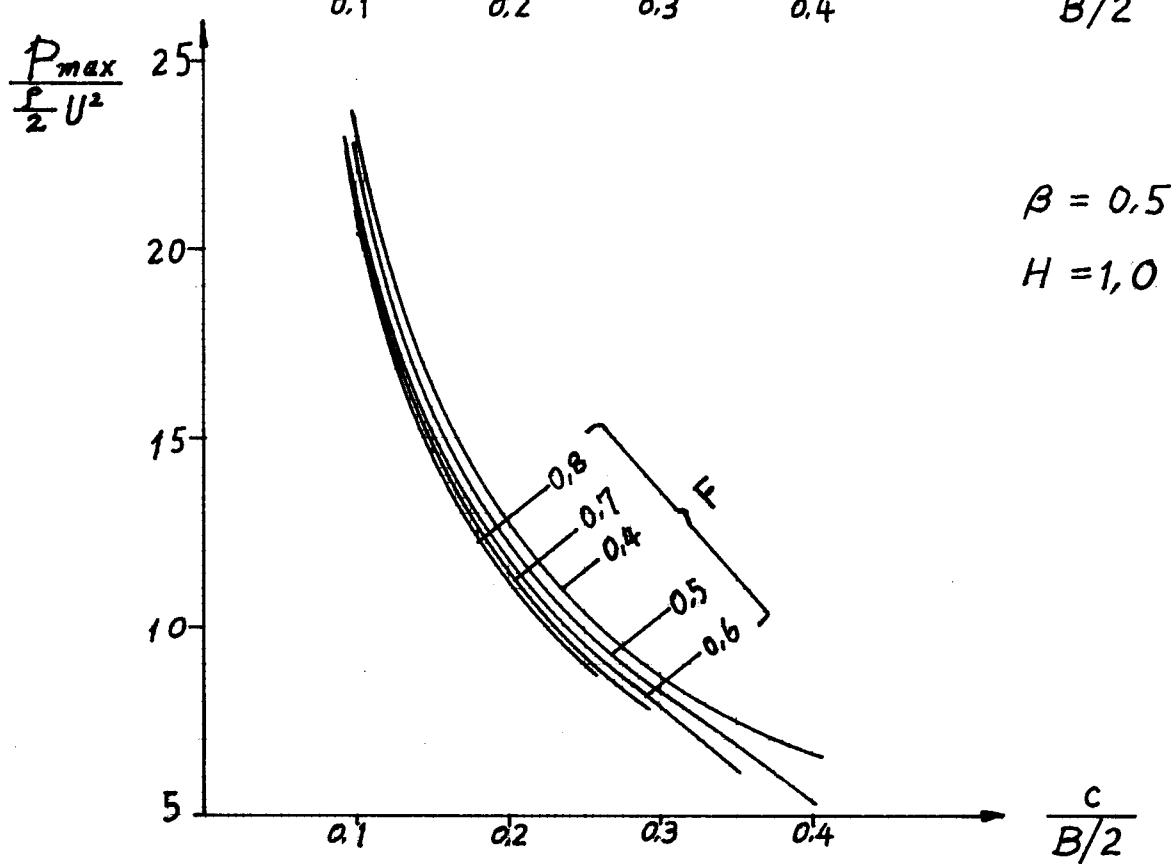
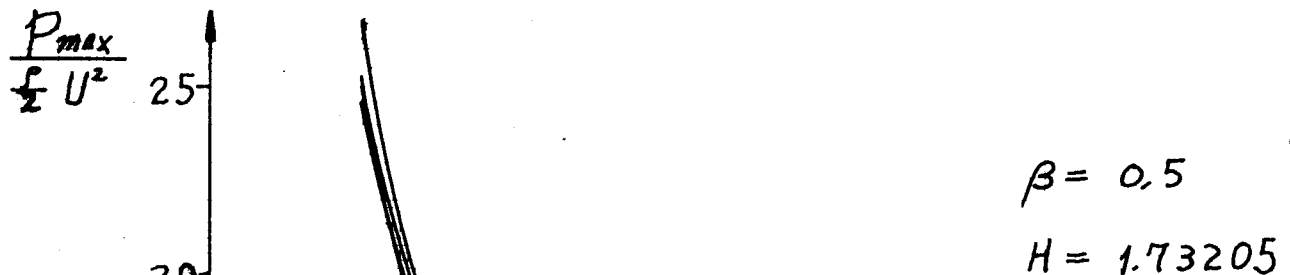
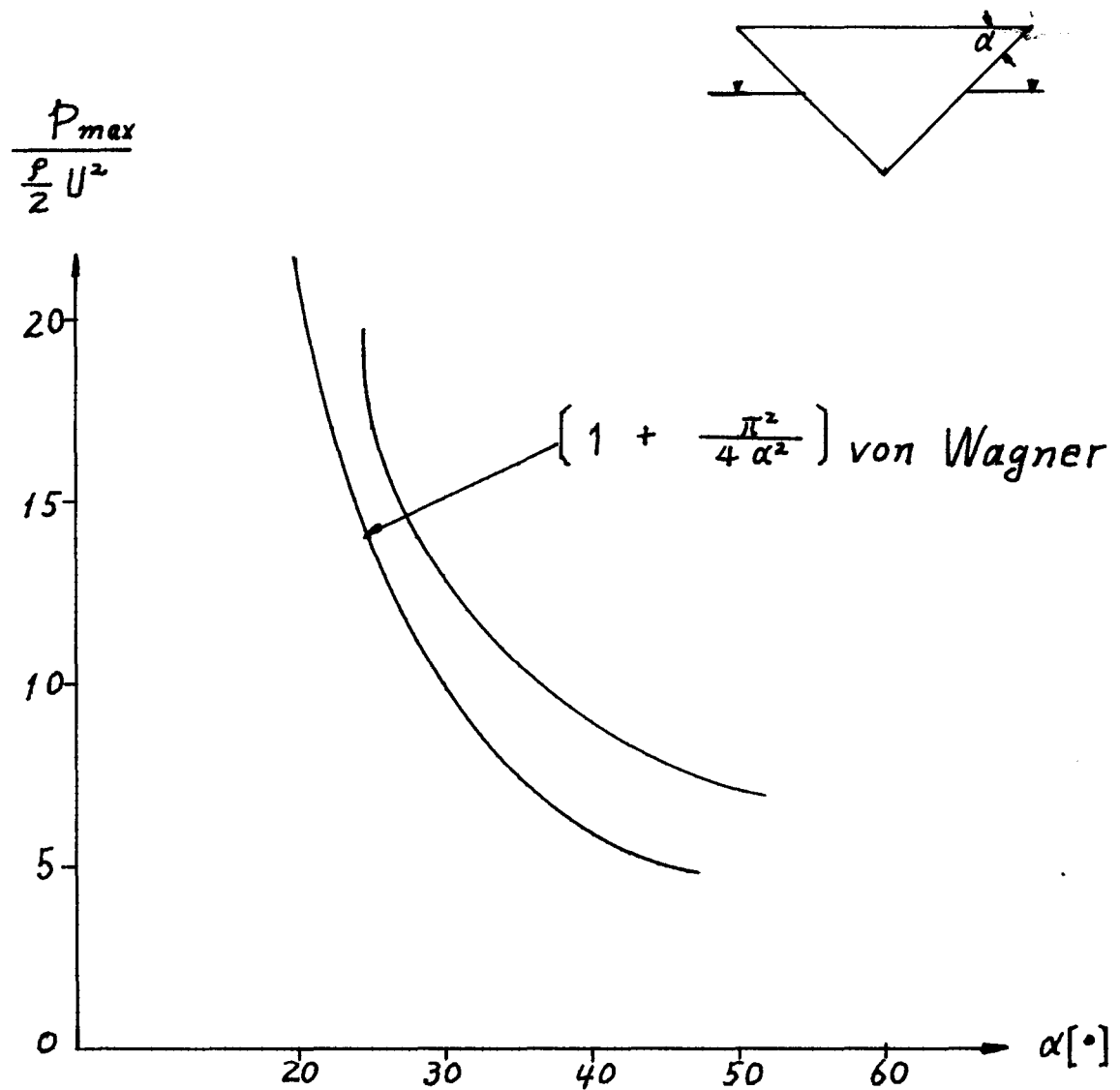


Bild 4.14 b

Maximaler hydrodyn. Druck $\frac{\rho}{2} U^2$
über Winkel des Keils α



5. Zusammenfassung und Ausblick.

Das Problem der Tauchschwingungen mit endlicher Amplitude eines Zylinders ist noch nicht vollständig gelöst. Zwar ist es gelungen, für kleine Frequenzen und Amplituden bis $0,3 \times$ halber Breite ausreichende Lösungen zu finden. Für solche Fälle sind Rechnungen durchgeführt und die Ergebnisse dargestellt worden. Diese Ergebnisse zeigen, daß die nicht-linearen Effekte zwar deutlich festzustellen sind, jedoch werden für die Berechnung der Bewegungen eines Schiffes in Seegang die Ergebnisse der linearen Lösung zu ausreichenden Ergebnissen führen.

Die Konvergenzschwierigkeiten, welche bei größeren Frequenzen und Amplituden auftreten, sind wahrscheinlich dadurch verursacht, daß die Profilkontur zu nahe an die bei $x = 0$ und $y = 0$ liegenden Singularitäten der benutzten Potentiale herankommt. Der Druckverlauf und die Erfüllung der Randbedingung müßte für diese Positionen (nahe der obersten Position) des Profils eingehender untersucht werden und zwar für eine größere Zahl von Punkten an der Profilkontur. Daraus könnten dann wahrscheinlich Schlüsse gezogen werden für eine Abänderung der Methode, welche dann wahrscheinlich zu ausreichenden Ergebnissen auch für größere Frequenzen und Amplituden führen würden.

Die Methode ist nicht nur für die Dreiecksprofile brauchbar, sie ist ebensogut für beliebige Profile brauchbar, die dann in das Rechenprogramm durch diskrete Punkte eingegeben werden können. Rechnungen sind auch für andere Profile ausgeführt worden. Die Ergebnisse führen jedoch z. Z. zu keinen weiteren interessanten Erkenntnissen, daher ist auf ihre Wiedergabe verzichtet worden.

SCHRIFTTUM

=====

[1] O. Grim

Berechnung der durch Schwingungen eines Schiffskörpers erzeugten hydrodynamischen Kräfte. (Jahrbuch STG 1953)

[2] O. Grim

Die Schwingungen von schwimmenden zweidimensionalen Körpern. (HSVA, Bericht Nr. 1090, 1956)

[3] O. Grim

Die Schwingungen von schwimmenden zweidimensionalen Körpern. (HSVA, Bericht Nr. 1171, 1959)

[4] O. Grim

Eine Methode für eine genauere Berechnung der Tauch- und Stampfbewegungen in glattem Wasser. (HSVA, Bericht Nr. 1217, 1960
bzw. Beitrag in "Third Symposium on Naval Hydrodynamics in Scheveningen")

[5] J.V. Wehausen

Surface Waves. (Handbuch der Physik Band IX, Springer Verlag, Berlin, 1960)

[6] G. Vossers

Resistance, Propulsion and Steering of Ships. Behaviour of Ships in Waves. (The Technical Publishing Company H. Stam N.V., Haarlem, Netherlands, 1962)

VERZEICHNIS DER VERWENDETOEN SYMBOLE

Zeichen	Erklärung
a	Verhältnis von Tiefgang in der Mittellage und Halbbreite des Profils
A_n, A_{ns}	unbekannte Koeffizienten in komplexen oder realen Zahlen
$(A_n)_r, (A_{ns})_r$	realer Teil der Unbekannten A_n und A_{ns}
$(A_n)_i, (A_{ns})_i$	imaginärer Teil der Unbekannten A_n und A_{ns}
$\bar{A}_1^*, \bar{A}_2^*, \bar{A}_3^*$	Abkürzung für $8 \cdot \left\{ - \left[(A_{o1})_r \cdot (A_{o2})_i - (A_{o2})_r \cdot (A_{o1})_i \right] \right\}$
\bar{A}_k^{ns}	Abkürzung für $36 \cdot \left\{ - \left[(A_{o1})_r \cdot (A_{o3})_i - (A_{o3})_r \cdot (A_{o1})_i \right] \right\}$
\bar{A}	Abkürzung für $72 \cdot \left\{ - \left[(A_{o2})_r \cdot (A_{o3})_i - (A_{o3})_r \cdot (A_{o2})_i \right] \right\}$
	unbekannter Koeffizient
$(A_{os}) \frac{\pi}{B}$	Amplitudenverhältnis der ablaufenden Welle zur Tauchbewegung
b	Quellstärke in dimensionsloser Form
B	Tiefgang des Profils in der Mittellage
	Breite des Profils
B_{mn}	Fourierkoeffizient
$\bar{B}_1^*, \bar{B}_2^*, \bar{B}_3^*$	Abkürzung für $8 \cdot \left\{ \left[(A_{o1})_r \cdot (A_{o2})_r + (A_{o1})_i \cdot (A_{o2})_i \right] \right\}$
c	Abkürzung für $36 \cdot \left\{ \left[(A_{o1})_r \cdot (A_{o3})_r + (A_{o1})_i \cdot (A_{o3})_i \right] \right\}$
C	Abkürzung für $72 \cdot \left\{ \left[(A_{o2})_r \cdot (A_{o3})_r + (A_{o2})_i \cdot (A_{o3})_i \right] \right\}$
	Amplitude der Tauchbewegung
C _m	Koeffizient der hydrodynamischen Masse bzw. $\frac{m''}{\rho \frac{\pi}{B} B^2}$ oder beliebige Konstante (Kapitel 4)
D	beliebige Konstante
$\frac{D}{Dt}$	substantiale Ableitung
F	dimensionsloser Frequenzparameter bzw. $\frac{\nu \cdot B}{2}$
F_1, F_2, \dots, F_n	Kraftkoeffizienten $\left(\frac{\kappa}{\rho g c B} \right)$ einer jeden Position

Zeichen	Erklärung
$F_n(t)$	unbekannte Funktion von der Zeit t
g	Schwerkraftbeschleunigung
H	Verhältnis von Halbbreite und Tiefgang in der Mittellage des Profils
J	Abkürzung für die Integrale (Kapitel 4)
J_1, J_2, J_3, J_4	Abkürzung für die Integrale (Kapitel 2)
K	hydrodynamische Kraft
K_{inst}	instationäre hydrodynamische Kraft
K_{quasi}	quasistationäre hydrodynamische Kraft
k	ganze Zahl
L	Abkürzung für $A_2 S_3 + A_3 S_4 + A_4 S_5$
m	ganze Zahl
m''	hydrodynamische Masse
n	ganze Zahl
N	ganze Zahl
p	hydrodynamischer Druck
p_{inst}	instationärer hydrodynamischer Druck
p_{quasi}	quasistationärer hydrodynamischer Druck
P_t	Abkürzung für $\frac{1}{U^2 \omega} \left[\frac{\partial}{\partial t} (\nabla \phi^{(t)})^2 - \phi_t^{(t)} (\phi_{yy}^{(t)} - \frac{1}{9} \phi_{ttxy}^{(t)}) \right]$
r	reale Zahl
(r, θ)	Polarkoordinaten; $\theta = \arctg \frac{x}{y}$
(r, φ)	Polarkoordinaten; $\varphi = \arctg \frac{y}{x}$
r_p	Radius für den Punkt am Profilrand
s	reale oder ganze Zahl
ds	Linienelement
S_1, S_2, S_3, S_4	Abkürzung für die Integrale (Kapitel 2)
S	Abkürzung für $A_1 J_1 + 2 A_2 J_2 + 3 A_3 J_3 + 4 A_4 J_4$
t	Zeit
U	Amplitude der Schwingungsgeschwindigkeit
(x, y)	kartesische Koordinaten
β	Völligkeitskoeffizient des Profils
γ	Eulersche Konstante

Zeichen	Erklärung
η	Verschiebung der Wasseroberfläche in vertikaler Richtung
$\eta^{(1)}, \eta^{(2)}$	Verschiebung der Wasseroberfläche erster und zweiter Ordnung
$\alpha_0, \alpha_1, \alpha_2, \alpha_3, \alpha_4, \alpha_5,$ α_6	Koeffizienten der trigonometrischen Reihe, die aus dem Kraftkoeffizienten $\frac{K}{\rho g c B}$ oder $\frac{K_{inst}}{\rho g c B}$ errechnet werden
$\alpha'_0, \alpha'_1, \alpha'_3, \alpha'_5$	Koeffizienten der trigonometrischen Reihe, die aus $\frac{K_{quasi}}{\rho g c B}$ errechnet werden
μ	Reibungskoeffizient nach Rayleigh
ν	Wellennummer bzw. $\frac{\omega^2}{g}$
ρ	Dichte des Wassers
Φ	Geschwindigkeitspotential des komplexen Potentials $= \Phi + i\Psi$
ϕ	Geschwindigkeitspotential $= \operatorname{Re}(\Phi)$
ϕ_{ns} $(\phi_{ns})_r, (\phi_{ns})_i$ $\varphi, \varphi^a, \varphi^b$ $\phi^{(1)}, \phi^{(2)}$	Teilkomponenten des Geschwindigkeitspotentials realer und imaginärer Teilkomponenten von ϕ_{ns} Geschwindigkeitspotential Geschwindigkeitspotential erster und zweiter Ordnung
$\phi^{(1)k}, \phi^{(2)k}$	korrigierte Geschwindigkeitspotentiale
Ψ	Stromfunktion des komplexen Potentials $= \Phi + i\Psi$
ψ	Stromfunktion bzw. $\operatorname{Re}(\Psi)$
ψ_{ist}	Stromfunktion als die Randbedingung an der Körperoberfläche
$\psi^{(1)}, \psi^{(2)}$	Stromfunktion erster und zweiter Ordnung
ψ_{ns} $\psi^{(1)k}$	Teilkomponente der Stromfunktion korrigierte Stromfunktion
ω	Kreisfrequenz der Schwingung

ANHANG A

=====

(zu Kapitel 3 und 4)

-STARTUEBERSETZER

SB516 KIM
'BEGIN'
'COMMENT' ZEITABLEITUNG DER DRUCKVERTEILUNG ..
'REAL' NUE, BA, BB, BC, BD, BE, BF, BG, GA, GB, GC, GD, GE,
AM, UE,
GF, C, S, A, B, BH, GG, RHO, RHO2, RHOJ, PHI ..
'INTEGER' M, N, T, TT, K, I, J, L, Q, E, E1, T1, R, NN, Z, MM, D ..
'PROCEDURE' TRANSP .., 'CODE' .. 005
'PROCEDURE' ADIVB .., 'CODE' .. 006
'PROCEDURE' MAMUBT .., 'CODE' .. 007
NIN..READ (N) .. 008
READ (UE) .. 010
E1 = 0 .. 011
'BEGIN' 013
'ARRAY' X, Y, XX, AT(1..N), B1, B2, B3, B4, G1, G2, G3(1..N, 1..N),
VX, VY, POT, VTX, VTY, VY2, VTTY(1..7*N, 1..6*N) ,
VXX, VYY, PT, VTXR, VTYR, VY2R, VTTYR, C1 (1..7*N),
C2(1..7*N),
GES(1..1 , 1..6*N) ,
SI(1..3) .. 017
'PROCEDURE' UPKIM .. 018
'BEGIN'
J= 0 .. 019
SJ.. J=J+1 .. 021
LABL1..I = 1 .. 0211
SI.. X(I) = XX(I) .. 023 3
B2(I,J) = -3.141592652*EXP(-NUE*Y(I))*SIN(NUE*X(I)) ..
LA3..G2(I,J) = -3.141592652*EXP(-NUE*Y(I))*COS(NUE*X(I)) .. 027
BA = BB = NUE*SQRT(X(I)*X(I)+Y(I)*Y(I)) .. 028
'IF' Y(I) 'LESS' 0.1\$-3 'THEN' BC = 1.5708*SIGN(X(I)) 'ELSE'
BC = ARCSIN(NUE*X(I)/BA) .. 029
BD = BE = 0 .. 030
'IF' BA 'LESS' 6 'THEN' 'BEGIN'
MM = 1 .. 031
LA4..BD = BD+BB*COS(MM*BC) .. 032
BE = BE-BB*SIN(MM*BC) .. 033
BB = BB*BA*MM/((MM+1)*(MM+1)) .. 034
MM = MM+1 .. 035
'IF' BB 'GREATER' 0.1\$-5*BA 'THEN' 'GOTO' LA4.. 036
BD = (-BD-LN(1.781*BA))*EXP(-NUE*Y(I)) .. 037
BE = (-BE+BC)*EXP(-NUE*Y(I)) .. 038
GA = BD*COS(NUE*X(I))-BE*SIN(NUE*X(I)) .. 039
GB = BE*COS(NUE*X(I))+BD*SIN(NUE*X(I)) .. 040
'END' BA LESS 041
'ELSE' 'BEGIN'
'FOR' MM = 1 'STEP' 1 'UNTIL' 5 'DO' 'BEGIN'
BD = BD-COS(MM*BC)/BB .. 042
BE = BE-SIN(MM*BC)/BB .. 043
BB = BA*BB/MM .. 044
'END' MM .. 045
GA = BD-3.141592652*EXP(-NUE*Y(I))*SIGN(X(I))*(SIN(NUE*X(I))) .. 046
GB = BE+3.141592652*EXP(-NUE*Y(I))*SIGN(X(I))*COS(NUE*X(I)) .. 047
'END' BA GREATER .. 048
B1(I,J)= +GB .. 049
LA5..G1(I,J)= +GA .. 050
B3(I,J) = -(NUE*Y(I)/(BA*BA)+ G1(I,J))*NUE .. 051
G3(I,J) = -(NUE*X(I)/(BA*BA) + B1(I,J))*NUE .. 052
B4(I,J)= -NUE*(B3(I,J)+NUE*NUE*(X(I)*X(I)-Y(I)*Y(I))/
(BA*POWER(4)) .. 053
I=I+1 .. 'IF' I 'LESS' N+1 'THEN' 'GOTO' SI .. 054
'FOR' I=1 'STEP' 1 'UNTIL' N 'DO'
'BEGIN' RHO= SQRT(XX(I)*XX(I)+ Y(I)*Y(I)) ..

ANNANG B

=====

(в Казбек)

```

VTTY(K+T1*N,L+(2*TT-1)*N)=TT*TT*(-C*NUE*G2(K,L)+S*B3(K,L)) ..
'END' .. 'END' ..
T1 = T1 + 1 ..
'IF' T1 'LESS' 7 'THEN' 'GOTO' F3 ..
NUE = 9*NUE/4 ..
TT = TT+1 ..
'IF' TT 'LESS' 4.0 'THEN' 'GOTO' K11 ..
    MAMUBT( GES,VX,VXX)..
    MAMUBT( GES, VY,VYY ) ..
    MAMUBT( GES, POT, PT) ..
    MAMUBT( GES, VTX, VTXR) ..
    MAMUBT( GES, VTY, VTYR) ..
    MAMUBT( GES,VY2, VY2R) ..
    MAMUBT( GES, VTTY, VTTYR) ..
'FOR' K=1 'STEP' 1 'UNTIL' 7*N 'DO'
'BEGIN'
C1( K) = 2* (VXX(K)*VTXR(K) + VYY(K)*VTYR(K))
    PT(K)*(VY2R(K)-UE*VTTYR(K)) ..
C2(K)== PT(K)*(VY2R(K)-UE*VTTYR(K)) ..
'END' ..
OUTPUT( 1, C1, C2) ..
'GOTO' 9 ..
9.. 'GOTO' NIN ..
'END' ..
'END' ..
*
```

5, 0.2,	7, 7.4,	7.8, 8.2,	8.6, 0, 0, 0, 0, 0,	
4.82570054988\$-	1,-2.57287563358\$-	2, 2.52454711974\$-	2,	
-0.93341622600\$-	2, 0.97602740850\$-	2, 1.38838304636\$-	1,	
-0.59171597890\$-	2, 0.59928481298\$-	2,-2.84836993606\$-	3,	
2.86408431136\$-	3, 4.86863961944\$-	2, 3.60450192292\$-	3,	
1.64641383030\$-	3, 0.94920110815\$-	4, 1.66111376784\$-	4,	
-3.07018488438\$-	2, 0.85877085628\$-	2,-1.45814156112\$-	2,	
0.56866812001\$-	2,-0.77073192860\$-	2,-2.40072603057\$-	2,	
-0.55244781684\$-	3,-0.90894135551\$-	2, 3.69252726699\$-	3,	
-0.66862290739\$-	2,-2.01747962319\$-	2,-0.42052509431\$-	2,	
0.40115448730\$-	2,-1.86186262975\$-	3, 2.57668624421\$-	3,	

```

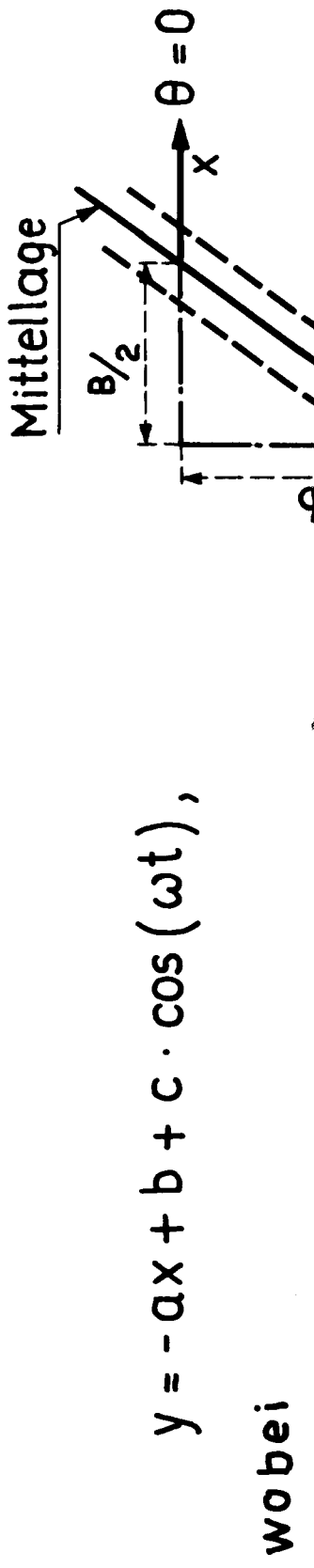
RHOJ = 1
  'IF' XX(I) 'EQUAL' 0 'THEN' PHI=1.5708 'ELSE'
PHI = ARCSIN( Y(I)/RHO)
  'FOR' J=2 'STEP' 1 'UNTIL' N 'DO'
'BEGIN' RHOJ = RHOJ*RHO2
  B1(I,J)= (-SIN(2*(J-1)*PHI)-NUE*COS((2*J-3)*PHI)*RHO/(2*J-3))/RHOJ
  G1(I,J)=(COS(2*(J-1)*PHI)-NUE*SIN((2*J-3)*PHI)*RHO/(2*J-3))/RHOJ
  B3(I,J)=-(2*(J-1)*SIN((2*J-1)*PHI)/RHO+NUE*COS(2*(J-1)*PHI))/RHOJ,
G3(I,J)=-(2*(J-1)*COS((2*J-1)*PHI)/RHO-NUE*SIN(2*(J-1)*PHI))/RHOJ,
B4(I,J) = (-2*(J-1)*(2*J-1)* COS(2*J*PHI)/RHO*RHO + 2*(J-1)*NUE*
SIN((2*J-1)*PHI)/RHO)/RHOJ
  B2(I,J)= G2(I,J) = 0
  'END' J
  'END' I
'END' UPKIM
FI .. READ( XX, Y) .. NUE = UE.., READ( GES) ..
T1 = 0 ..
UPKIM
F2 .. 'IF' T1 'GREATER' 1 'THEN' E1 = 1 'ELSE' E1 = 0 ..
C = COS((T1+E1)*0.785398) ..
S = SIN((T1+E1)*0.785398) ..
'FOR' K = 1 'STEP' 1 'UNTIL' N 'DO' 'BEGIN'
'FOR' L = 1 'STEP' 1 'UNTIL' N 'DO' 'BEGIN'
VX(K+T1*N,L) = C*G3(K,L) + S*NUE*B2(K,L) ..
VX(K+T1*N,L+N) = -S*G3(K,L) + C*NUE*B2(K,L) ..
VY(K+T1*N,L) = C*B3(K,L) + S*NUE*G2(K,L) ..
VY(K+T1*N,L+N) = -S*B3(K,L)+ C*NUE*G2(K,L) ..
POT(K+T1*N,L) = -S*G1(K,L)-C*G2(K,L) ..
POT(K+T1*N,L+N) = S*G2(K,L)-C*G1(K,L) ..
VTX( K+T1*N, L) = -S*G3(K,L) + C*NUE*B2(K,L) ..
VTX( K+T1*N, L+N ) = -S*NUE*B2(K,L) - C*G3(K,L) ..
VTY( K+T1*N, L) = -S*B3(K,L) + C*NUE*G2( K, L) ..
VTY( K+T1*N, L+N ) = -S*NUE*G2(K,L) - C*B3( K, L) ..
VY2( K+T1*N, L) = C*B4(K, L) - S*NUE*NUE*G2( K, L) ..
VY2( K+T1*N, L+N ) = -C*NUE*NUE*G2(K,L) - S*B4( K, L) ..
VTTY(K+T1*N,L) = -C*B3(K,L) -S*NUE*G2(K,L) ..
VTTY(K+T1*N,L+N) = -C*NUE*G2(K,L) + S*B3(K,L) ..
'END' ..
'END' ..
T1 = T1 + 1 ..
'IF' T1 'LESS' 7 'THEN' 'GOTO' F2 ..
NUE = 4*NUE ..
TT = 2 ..
KI1 .. UPKIM ..
T1 = 0 ..
F3 .. 'IF' T1 'GREATER' 1 'THEN' E1 = 1 'ELSE' E1=0 ..
C = COS(TT*(T1+E1)*0.785398) ..
S = SIN(TT*(T1+E1)*0.785398) ..
'FOR' K = 1 'STEP' 1 'UNTIL' N 'DO' 'BEGIN'
'FOR' L = 1 'STEP' 1 'UNTIL' N 'DO' 'BEGIN'
VX(K+T1*N,L+2*(TT-1)*N) = C*G3(K,L) + S*NUE*B2(K,L) ..
VX(K+T1*N,L+(2*TT-1)*N) = -S*G3(K,L)+C*NUE*B2(K,L) ..
VY(K+T1*N,L+2*(TT-1)*N) = C*B3(K,L) + S*NUE*G2(K,L) ..
VY(K+T1*N,L+(2*TT-1)*N) = -S*B3(K,L)+ C*NUE*G2(K,L) ..
POT(K+T1*N,L+2*(TT-1)*N) = TT*(-S*G1(K,L)-C*G2(K,L)) ..
POT(K+T1*N,L+(2*TT-1)*N) = TT*(S*G2(K,L)-C*G1(K,L)) ..
VTX( K+T1*N, L+2*(TT-1)*N ) = TT*(-S*G3(K,L) + C*NUE*B2(K,L))..
VTX( K+T1*N, L+(2*TT-1)*N ) = TT*(-S*NUE*B2(K,L) - C*G3(K,L)) ..
VTY( K+T1*N, L+2*(TT-1)*N ) = TT*(-S*B3(K,L) + C*NUE*G2(K,L)) ..
VTY( K+T1*N, L+(2*TT-1)*N ) = TT*(-S*NUE*G2(K,L) - C*B3(K,L)) ..
VY2( K+T1*N, L+2*(TT-1)*N ) = C*B4( K, L) - S*NUE*NUE*G2( K, L) ..
VY2( K+T1*N, L+(2*TT-1)*N ) = -C*NUE*NUE*G2(K,L) - S*B4( K, L) ..
VTTY(K+T1*N,L+2*(TT-1)*N)=TT*TT*(-C*B3(K,L)-S*NUE*G2(K,L)) ..

```

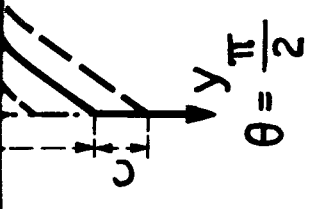
Komplexes Potential:

$$\begin{aligned}\hat{\Phi} + i\Psi = U \left\{ e^{i\omega t} A_{o1} \left[-\ln \left(\gamma v \sqrt{x+iy} \right) - i\pi \right] \right. \\ \left. + e^{i2\omega t} A_{o2} \left[-\ln \left(4\gamma v \sqrt{x+iy} \right) - i\pi \right] \right. \\ \left. + \sum_{n=1}^{\infty} F_n(t) \cdot A_n \frac{1}{(x+iy)^{2n}} \right\}\end{aligned}$$

worin A_{o1} , A_{o2} , $F_n(t)$ und A_n die Unbekannten bedeuten.



- a Verhältnis Tiefgang in der Mittellage zu Halbbreite
 b Tiefgang in der Mittellage
 c Amplitude der Tauchbewegung
 Randbedingung am Profilrand



$$\begin{aligned}\Psi_{\text{ist}} &= -U \cdot x \cdot \sin(\omega t) \\ \Psi_{\text{soll}} &= \operatorname{Re}(\Psi)\end{aligned}$$

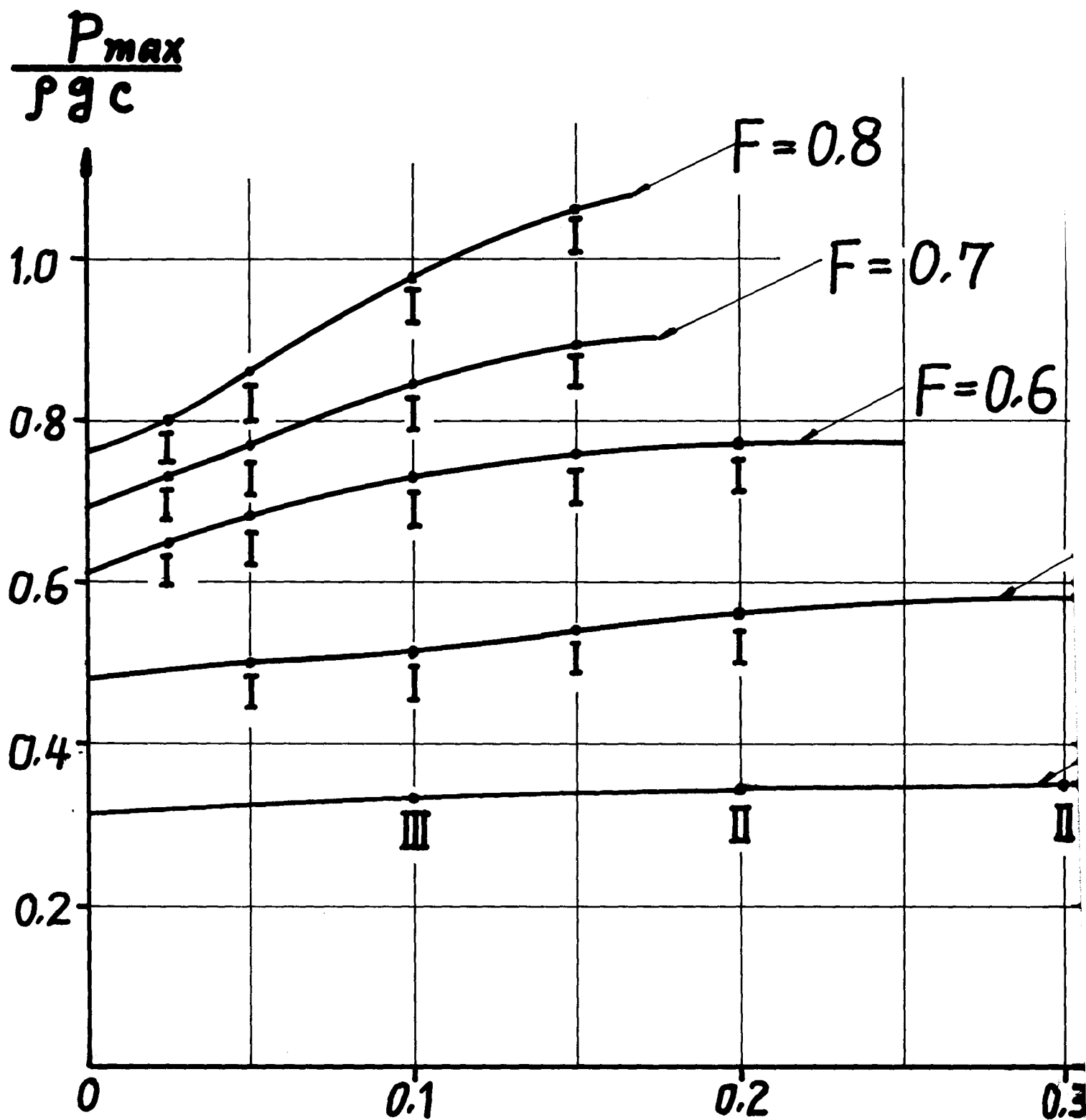
Lösung:

$$A_{o1} = \frac{2b}{\pi a} i, \quad A_{o2} = \frac{c}{\pi a} i$$

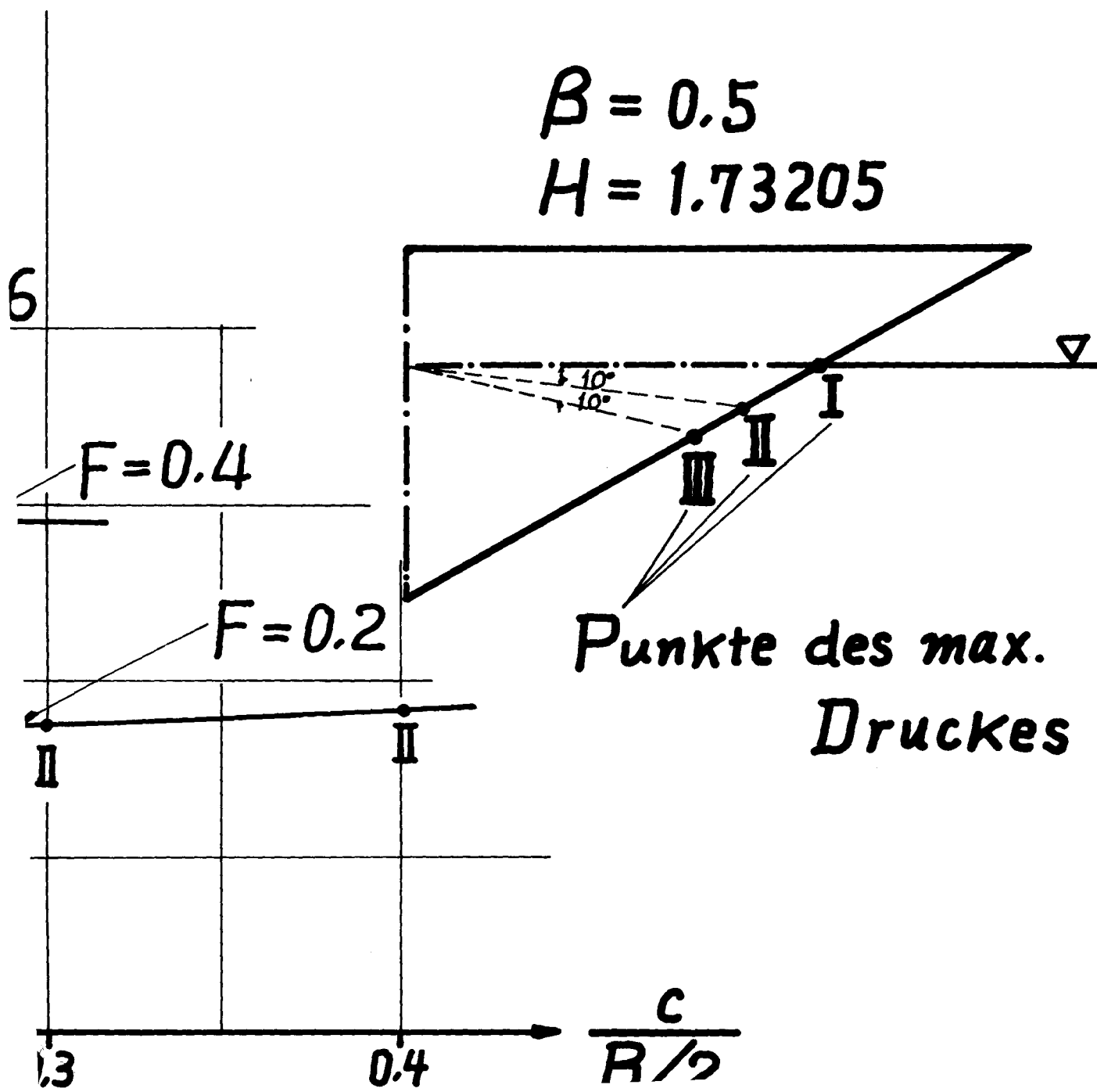
A_n = Funktion von a und ω

$$F_n(t) = [b + c \cdot \cos(\omega t)]^{2n+1} \cdot \sin(\omega t)$$

Maximaler hydrodynam
über Amplitudenver
an der Lage ζ



maximaler Druck $\frac{P_{\max}}{\rho g c}$
verhältnis $\frac{c}{B/2}$
 $\omega t = \frac{7}{4} \pi$

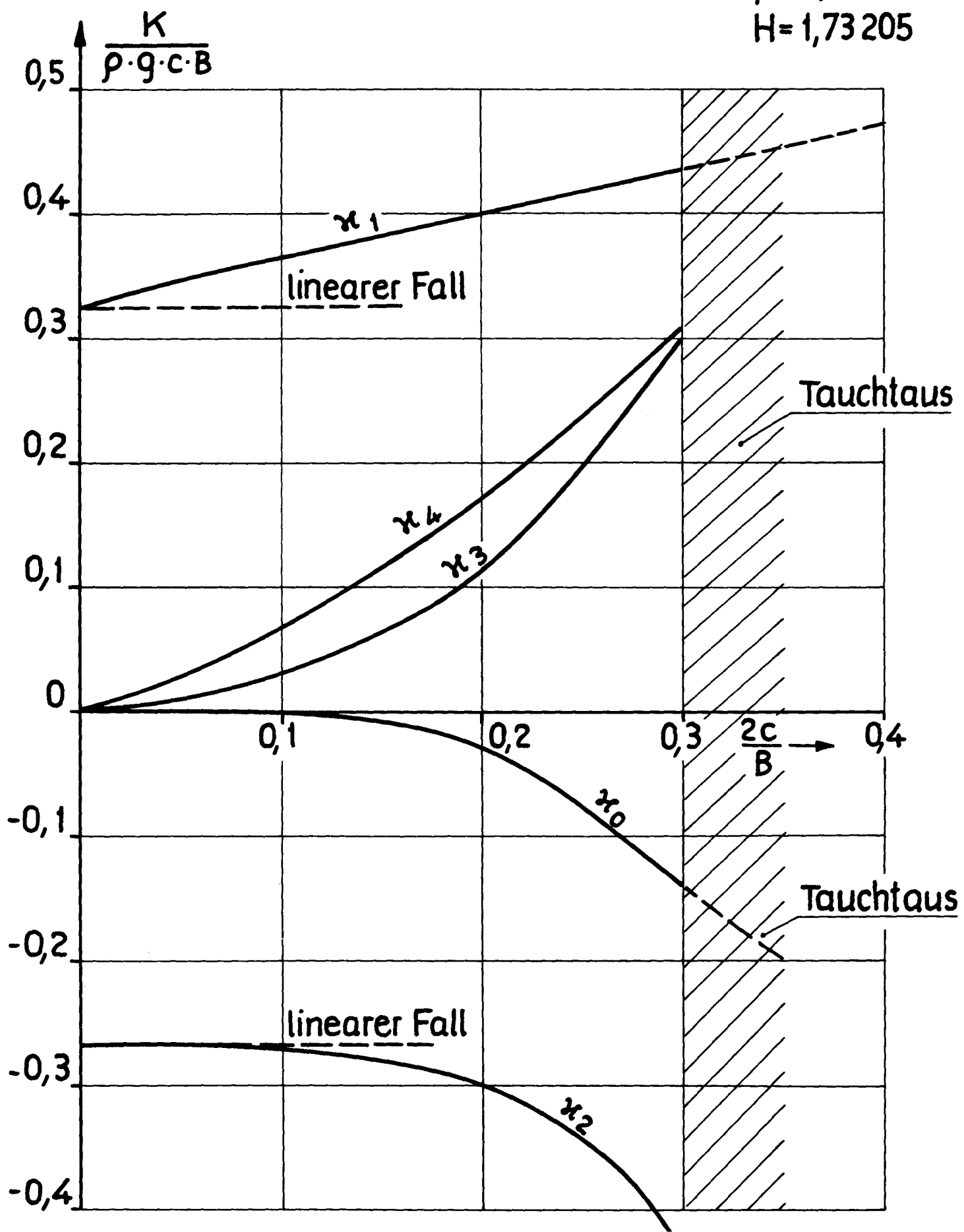


Kraftkoeffizient

$$F = 0,4$$

$$\beta = 0,5$$

$$H = 1,73205$$

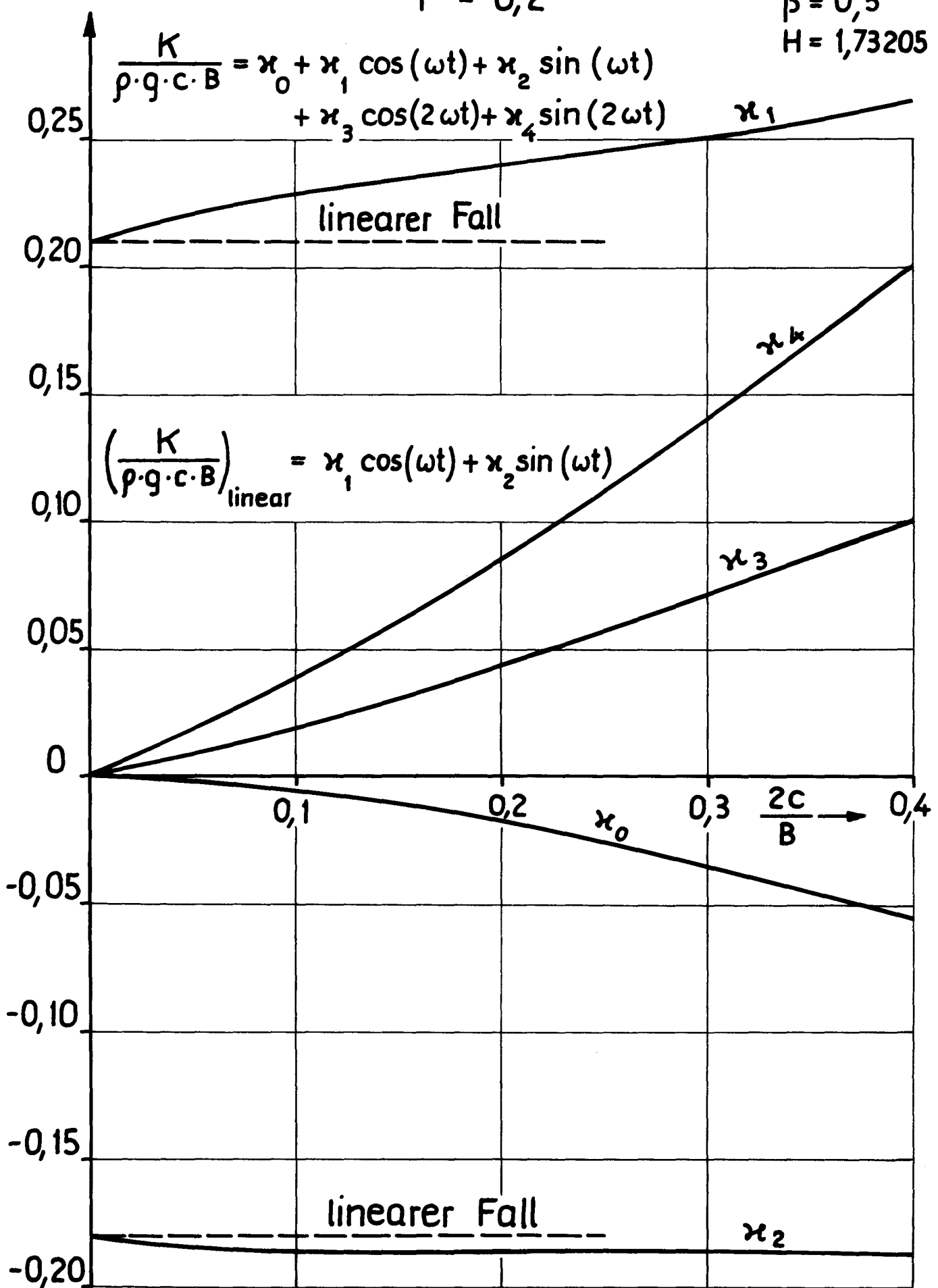


Kraftkoeffizient

$$F = 0,2$$

$$\beta = 0,5$$

$$H = 1,73205$$



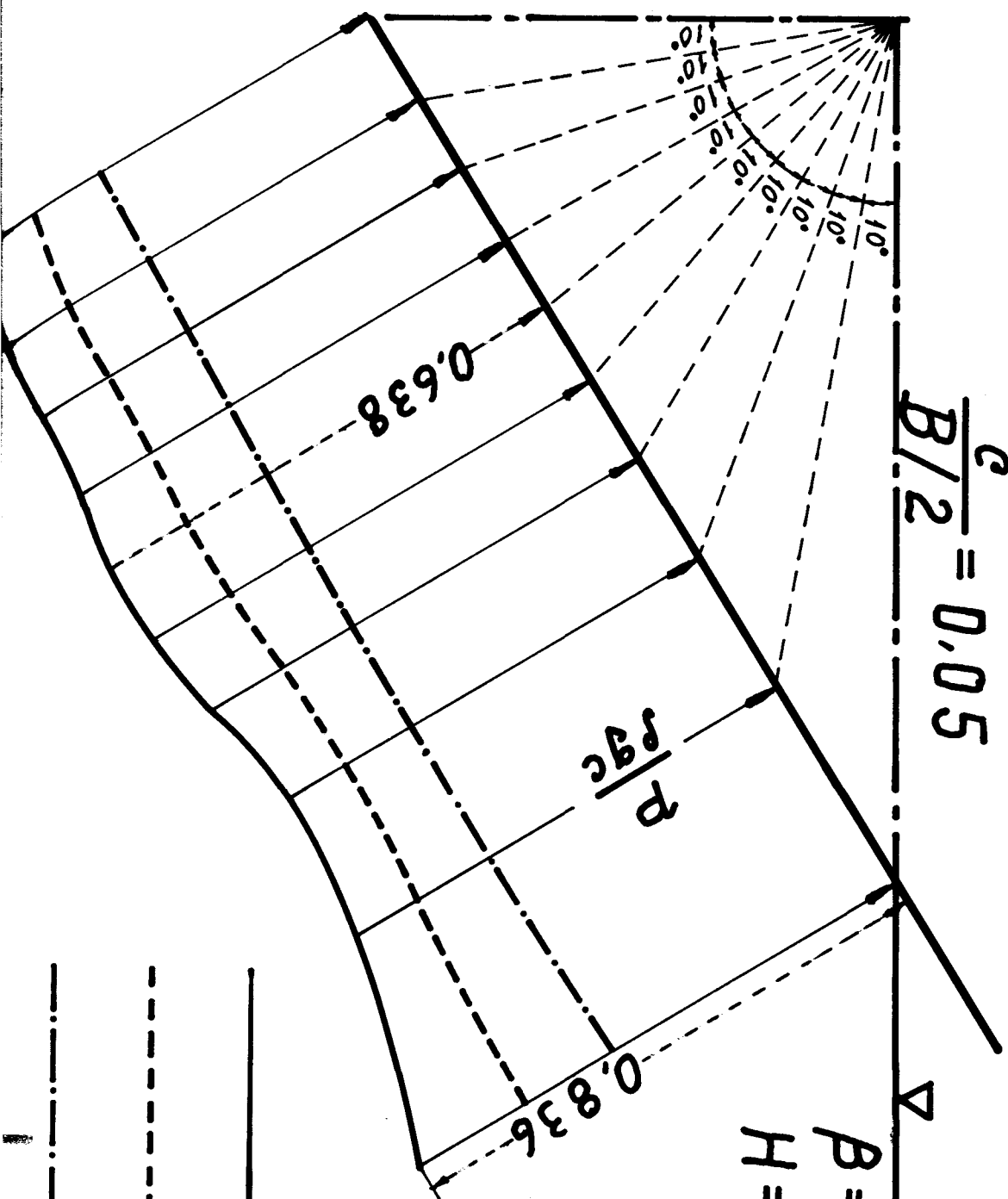
Hydrodynamische Druckverteilung

$$\frac{P}{\rho g c}$$

an der Lage $\omega t = \frac{\pi}{4} \tilde{\pi}$

$$\frac{c}{B/2} = 0,05$$

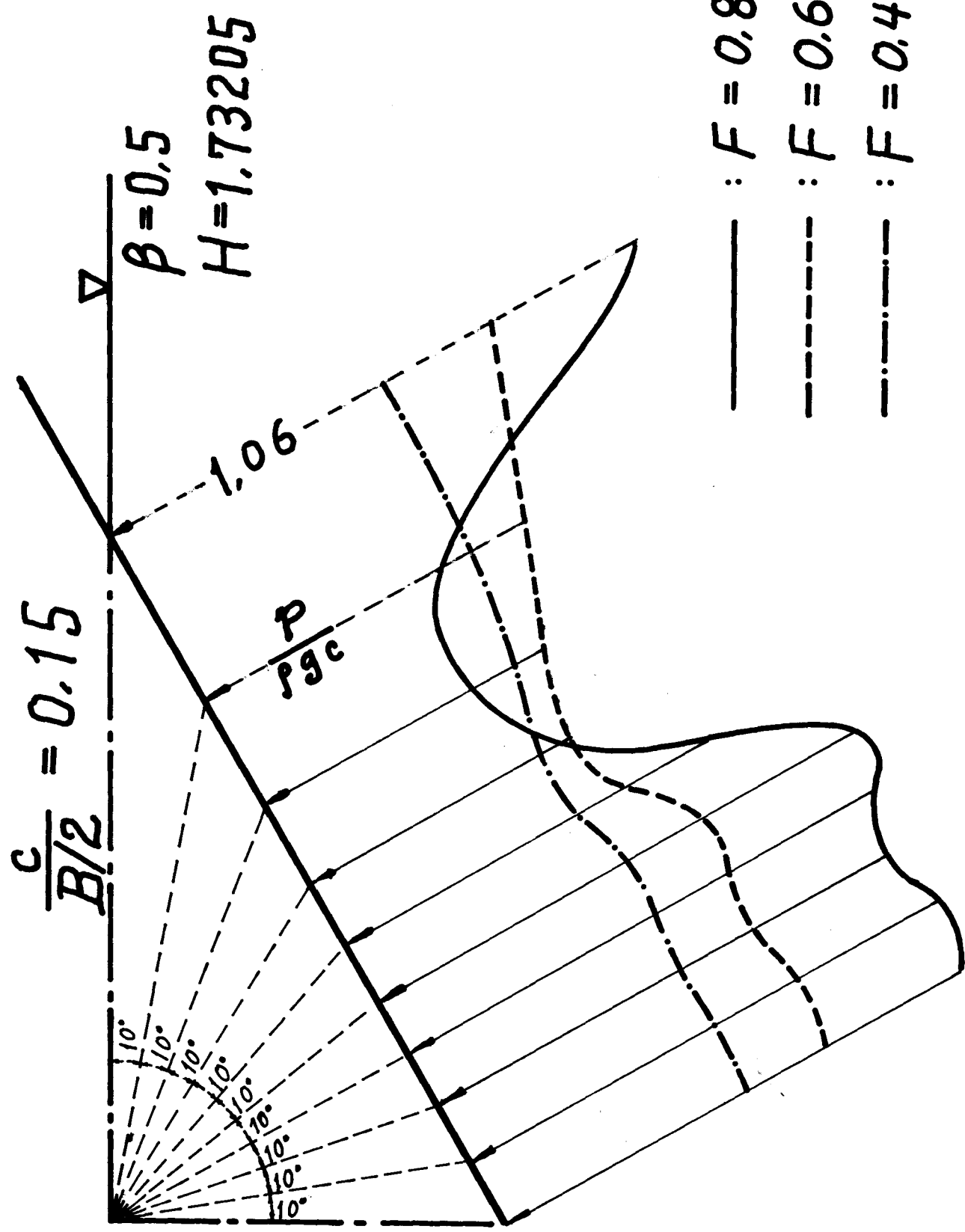
$$\begin{aligned}\beta &= 0,5 \\ H &= 1,73205\end{aligned}$$



$\cdots : F = 0,8$

$- - - : F = 0,6$

$\cdots \cdots : F = 0,4$



$$\Phi = \Phi^{(1)} + \Phi^{(2)}$$

Randbedingung erster Ordnung

$$\Phi_{tt}^{(1)} - g\Phi_y^{(1)} = 0$$

für $y=0$

Randbedingung zweiter Ordnung

$$\Phi_{tt}^{(2)} - g\Phi_y^{(2)} = \frac{\partial}{\partial t} (\nabla \Phi^{(1)})^2 - \Phi_t^{(1)} (\Phi_{yy}^{(1)} - \frac{1}{g} \Phi_{ttxy}^{(1)})$$

für $y=0$

(2)

$$\begin{aligned} \Phi^{(1)} &\approx U \operatorname{Re} \left\{ -i\pi (A_{01}) e^{-vy - i(vx - wt)} - i\pi (A_{02}) e^{-4vy - i(4vx - 2wt)} \right. \\ &\quad \text{für } x \rightarrow \infty \\ &\quad \text{für } y \rightarrow 0 \\ &\quad \left. - i\pi (A_{03}) e^{-9vy - i(9vx - 3wt)} \right\} \end{aligned}$$

$$\frac{1}{U^2 \omega} \left[\frac{\partial}{\partial t} (\nabla \Phi^{(1)})^2 \right] \text{ für } x \rightarrow \infty = \operatorname{Re} \left\{ C_1 e^{i(3vx - wt)} + C_2 e^{i(8vx - 2wt)} + C_3 e^{i(5vx - wt)} \right\}$$

für $y \rightarrow 0$

$$\left. \begin{aligned} & -i\pi (A_{03}) e^{-i(9vx - 3\omega t)} \\ & -i\pi (A_{03}) e^{i(8vx - 2\omega t)} + C_2 e^{i(8vx - 2\omega t)} + C_3 e^{i(5vx - \omega t)} \end{aligned} \right\} \quad (3)$$

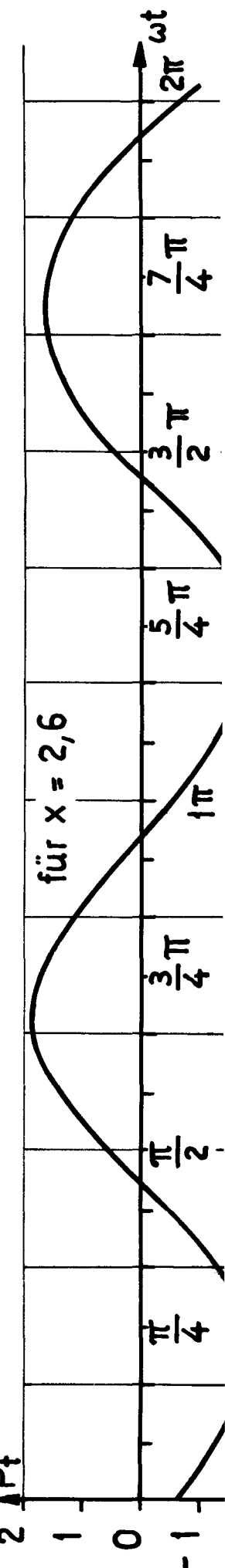
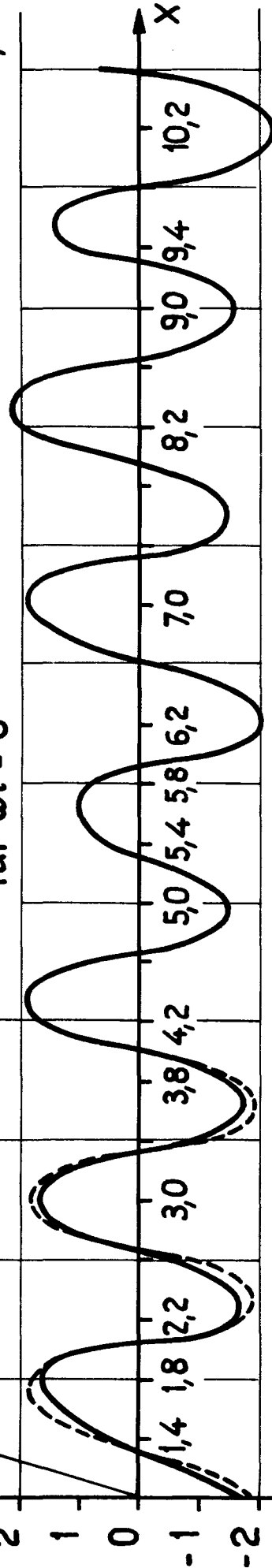
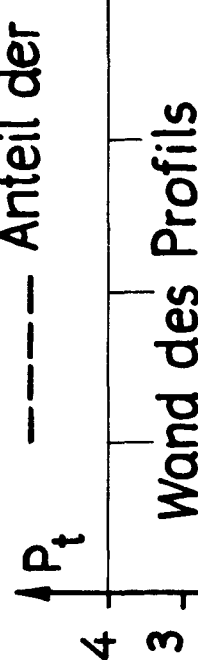
$$\frac{1}{U^2 \omega} \left[\frac{\partial}{\partial t} (\nabla \Phi^{(1)})^2 \right] \quad \text{für } x \rightarrow \infty \\ \text{für } y \rightarrow 0 \quad \quad \quad = \operatorname{Re} \left\{ C_1 e^{i(3yx - \omega t)} + C_2 e^{i(8yx - 2\omega t)} + C_3 e^{i(5yx - \omega t)} \right\}$$

$$\Phi_{tt}^{(2)} - g\Phi_y^{(2)} = \frac{\partial}{\partial t} (\nabla \Phi^{(1)})^2 \quad \text{für } x \rightarrow \infty \\ \text{für } y \rightarrow 0 \quad \quad \quad$$

$$(4)$$

Zeitableitung der Druckverteilung an der freien Oberfläche

----- Anteil der Frequenz 2ω in Formel $\frac{1}{U^2 \omega} \left[\frac{\partial}{\partial t} (\nabla \Phi^{(1)})^2 \right]$ für $x \rightarrow \infty$
 $P_t = \frac{1}{U^2 \omega} \left[\frac{\partial}{\partial t} (\nabla \Phi^{(1)})^2 - \Phi_t^{(1)} (\Phi_{yy} - \frac{1}{g} \Phi_{ttt y}) \right]$ für $y \rightarrow 0$
 für $\omega t = 0$



Grimsches komplexes Potential für die lineare Tauchbewegung

$$\Phi + i\Psi = U \left\{ e^{i\omega t} \left[A_{01} \lim_{\mu \rightarrow 0} \int_0^\infty \frac{e^{ik(x+iy)}}{k - \nu + i\mu} dk + \sum_{n=1}^{N-1} A_{n1} \left(\frac{1}{(x+iy)^{2n}} - \frac{i\nu}{(x+iy)^{2n}} \right) \right] \right\}$$

Wellenquellpotential

Quellpotential höherer Ordnung

Φ
das komplexe Geschwindigkeitspotential

Ψ
die komplexe Stromfunktion

U
die Amplitude der Schwingungsgeschwindigkeit

ω
die Kreisfrequenz der Schwingung

$\nu = \frac{\omega^2}{g}$
die Wellenzahl

A_{01}, A_{n1} die Unbekannten (komplexe Zahlen)

Komplexes Potential

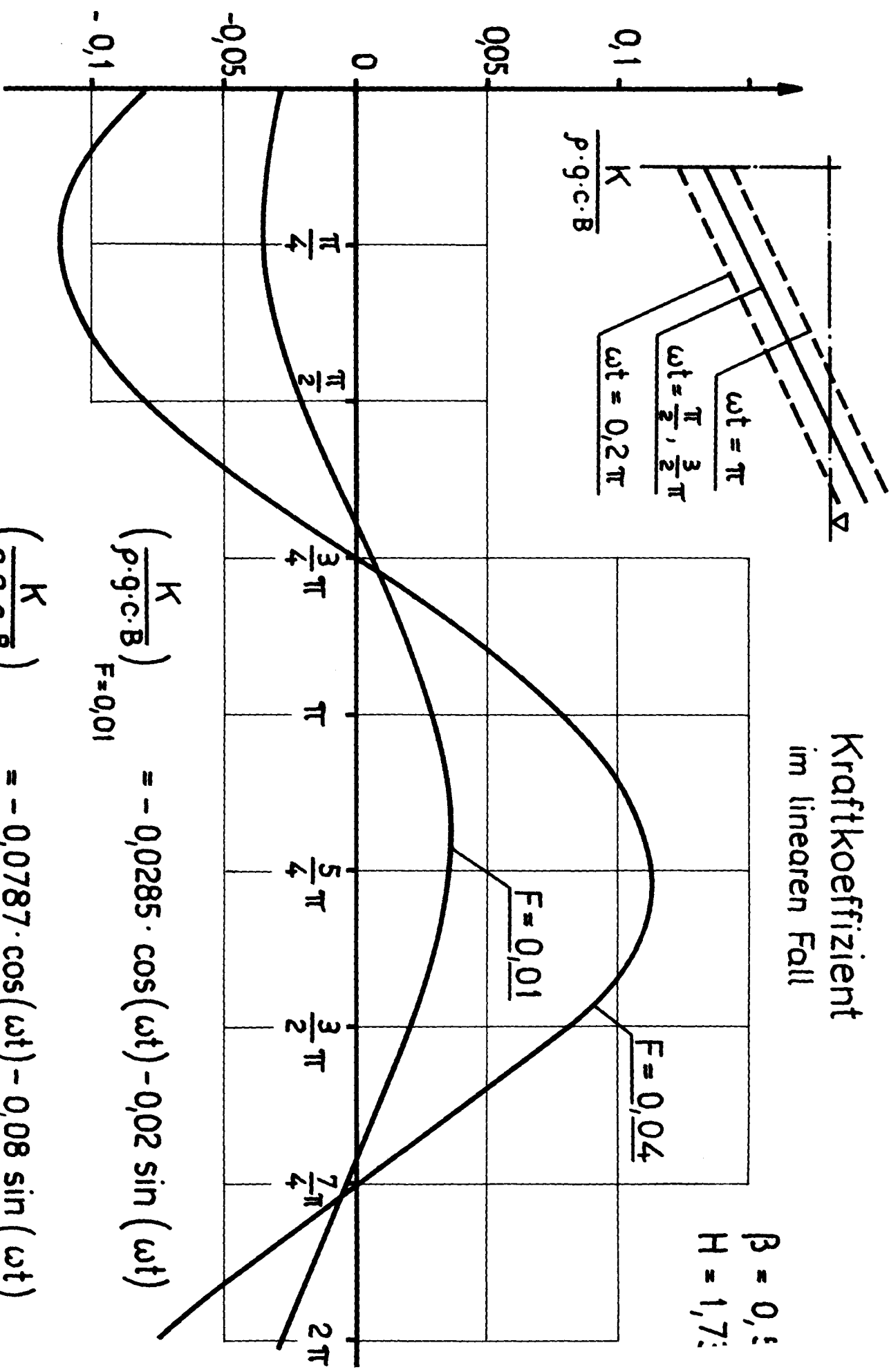
für die nicht lineare Tauchbewegung

$$\tilde{\Phi} + i\Psi = U \left\{ e^{i\omega t} \left[A_{01} \lim_{\mu \rightarrow 0} \int_0^\infty \frac{e^{ik(x+iy)}}{k-v+i\mu} dk \right. \right.$$

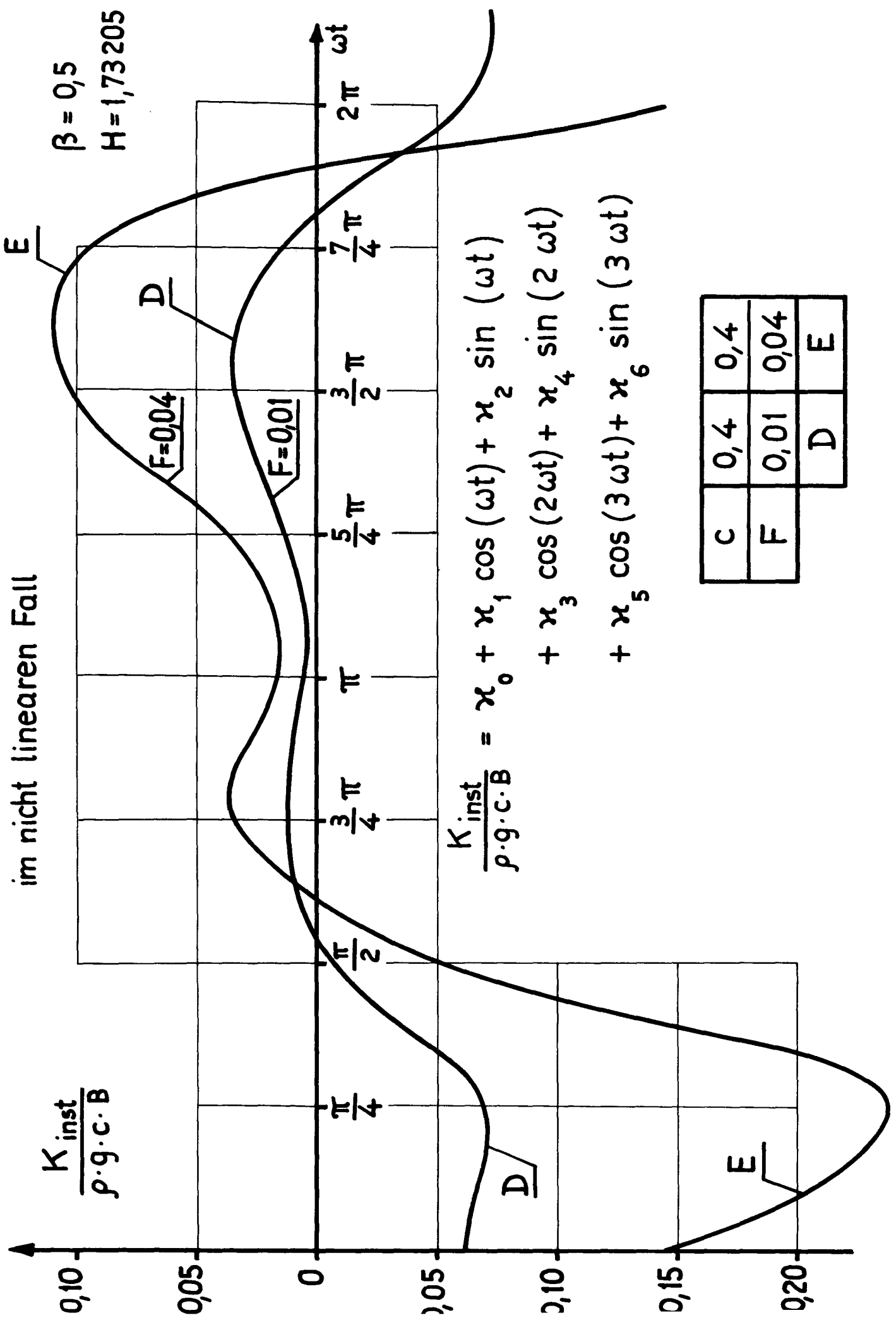
$$+ \sum_{n=1}^{N-1} A_{n1} \left(\frac{1}{(x+iy)^{2n}} - \frac{i\nu}{(x+iy)^{2n-1}(2n-1)} \right) \Big] \\ + e^{i2\omega t} \left[A_{02} \lim_{\mu \rightarrow 0} \int_0^\infty \frac{e^{ik(x+iy)}}{k-4v+i\mu} dk \right. \\ + \sum_{n=1}^{N-1} A_{n2} \left(\frac{1}{(x+iy)^{2n}} - \frac{i4v}{(x+iy)^{2n-1}(2n-1)} \right) \Big] \\ + e^{i3\omega t} \left[A_{03} \lim_{\mu \rightarrow 0} \int_0^\infty \frac{e^{ik(x+iy)}}{k-9v+i\mu} dk \right. \\ \left. \left. + \sum_{n=1}^{N-1} A_{n3} \left(\frac{1}{(x+iy)^{2n}} - \frac{i9v}{(x+iy)^{2n-1}(2n-1)} \right) \right] \right\}$$

Kraftkoeffizient
im linearen Fall

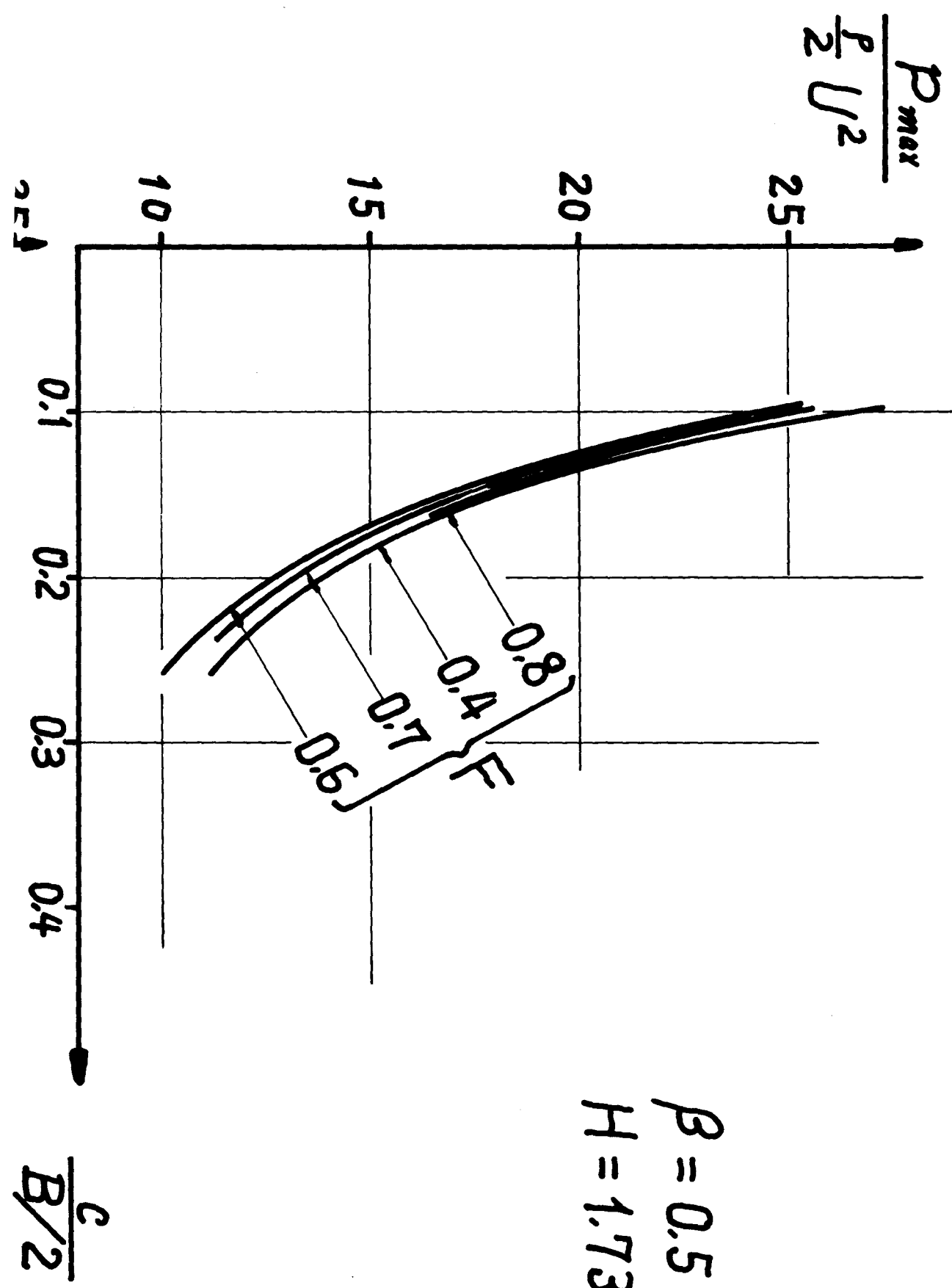
$$\beta = 0,6 \\ H = 1,7$$



Kraftkoeffizient im nicht linearen Fall



Maximaler hydrodynamischer Druck
 $\frac{P_{\max}}{\rho/2 U^2}$ über Amplitudenverhältnis $\frac{c}{B/2}$



$\frac{H}{Z}$

ω_r

ω_c

ω_m

ω_s

25

$$\frac{P_{\max}}{\frac{g}{2} U^2}$$

$$\begin{aligned}\beta &= 0.5 \\ H &= 1.0\end{aligned}$$

